

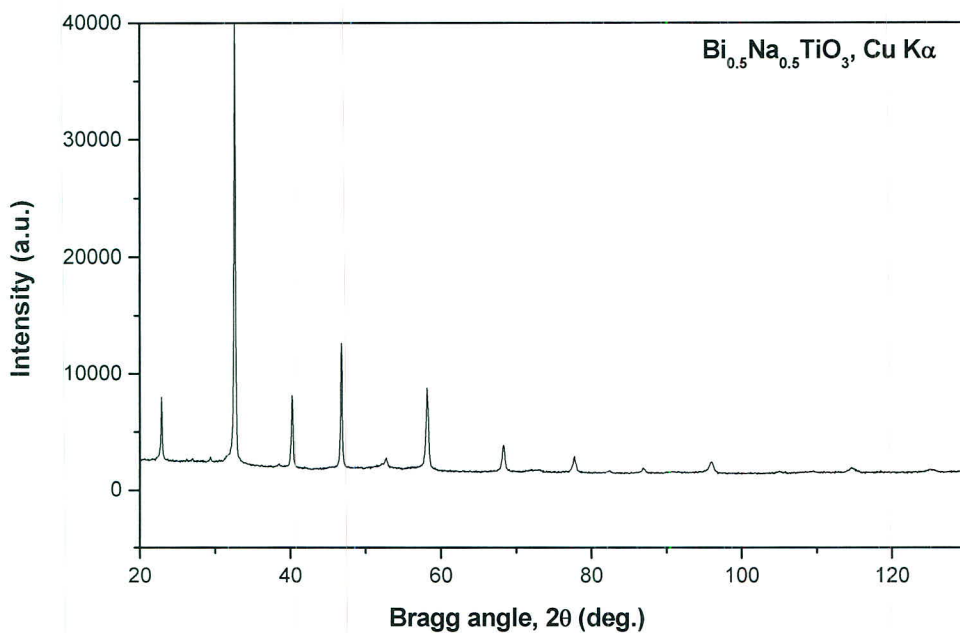
บทที่ 4

ผลการทดลองและการวิเคราะห์ผล

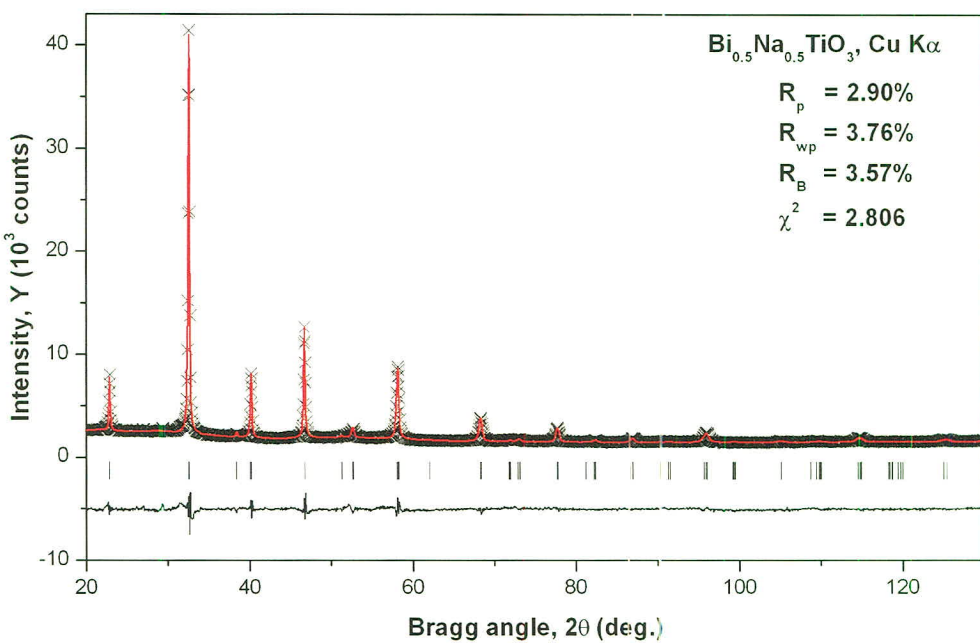
4.1 สารบิสมัทโซเดียมไทดีเมต (Bi_{0.5}Na_{0.5}TiO₃)

4.1.1 การวิเคราะห์โครงสร้างผลึกของผง Bi_{0.5}Na_{0.5}TiO₃ โดยวิธีเรย์ทเวลต์

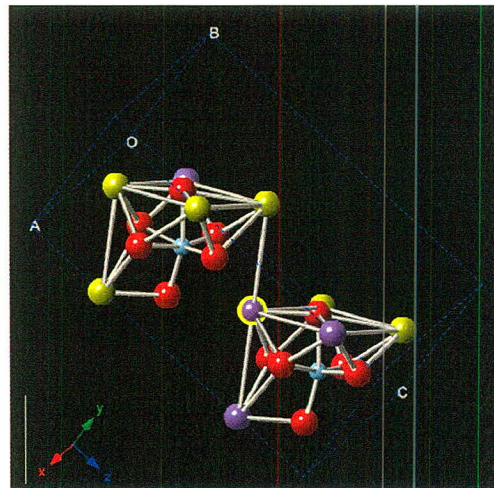
ผง Bi_{0.5}Na_{0.5}TiO₃ ใช้อุณหภูมิที่เหมาะสมในการแคลร์เซนคือ 800°C จากการตรวจสอบความบริสุทธิ์ของเฟลสโดยเทคนิคการเลี้ยวเบนของรังสีเอกซ์พบว่า รูปแบบการเลี้ยวเบนของรังสีเอกซ์ของผง Bi_{0.5}Na_{0.5}TiO₃ ดังรูป 4.1 มีโครงสร้างแบบรวมใบยิดรอล เป็นเฟลสเดี่ยวที่มีความบริสุทธิ์จึงสามารถนำข้อมูลดังกล่าวไปวิเคราะห์โครงสร้างผลึกโดยวิธีเรย์ทเวลต์ต่อไป



รูป 4.1 รูปแบบการเลี้ยวเบนด้วยรังสีเอกซ์ของผง BNT เริ่มต้นก่อนทำการวิเคราะห์



รูป 4.2 การวิเคราะห์ข้อมูลแผนภาพเลี้ยวเป็นด้วยรังสีเอกซ์ด้วยวิธีเรียทเวลต์จากโปรแกรม GSAS



รูป 4.3 แบบจำลองโครงสร้างผลึกของผง $\text{Bi}_{0.5}\text{Na}_{0.5}\text{TiO}_3$ โดยใช้โปรแกรม Crystal Maker

ตาราง 4.1 ผลของข้อมูลโครงสร้างผลึกที่ได้จากการวิเคราะห์ด้วยวิธีเรย์ทเวลต์

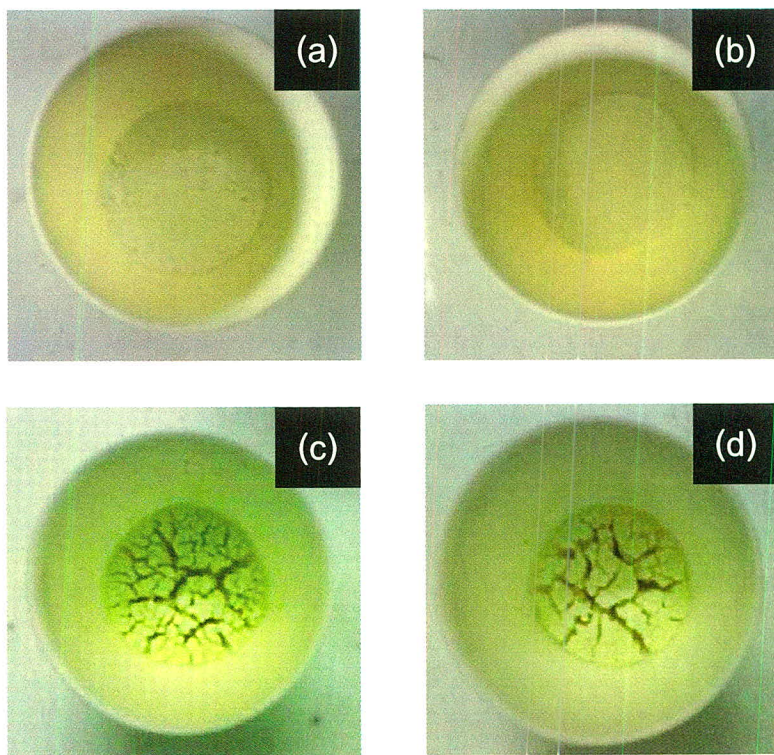
สูตรทางเคมี	$(\text{Bi}_{0.5}\text{Na}_{0.5})\text{TiO}_3$
ลักษณะของชิ้นงาน	ผงที่มีการกระจายตัวแบบสุ่ม
ระบบโครงสร้าง	รูมบอซีดราล R3c
a_{H}	5.48256
b_{H}	5.48256
c_{H}	13.4742
α, β, γ	90,90,120
ความหนาแน่น (g/m^3)	5.895
Profile R factors	
R_p	0.0376
wR_p	0.0290
χ^2	2.806

4.2 สารบิสมัทโซเดียมไทเทเนตเซอร์โคเนต ($\text{Bi}_{0.5}\text{Na}_{0.5}\text{Ti}_{1-x}\text{Zr}_x\text{O}_3$)

4.2.1 ผลการเตรียมผง $\text{Bi}_{0.5}\text{Na}_{0.5}\text{Ti}_{1-x}\text{Zr}_x\text{O}_3$ ($0 < x < 1$)

4.2.1.1 ผลการตรวจสอบสมบัติทางกายภาพของผง

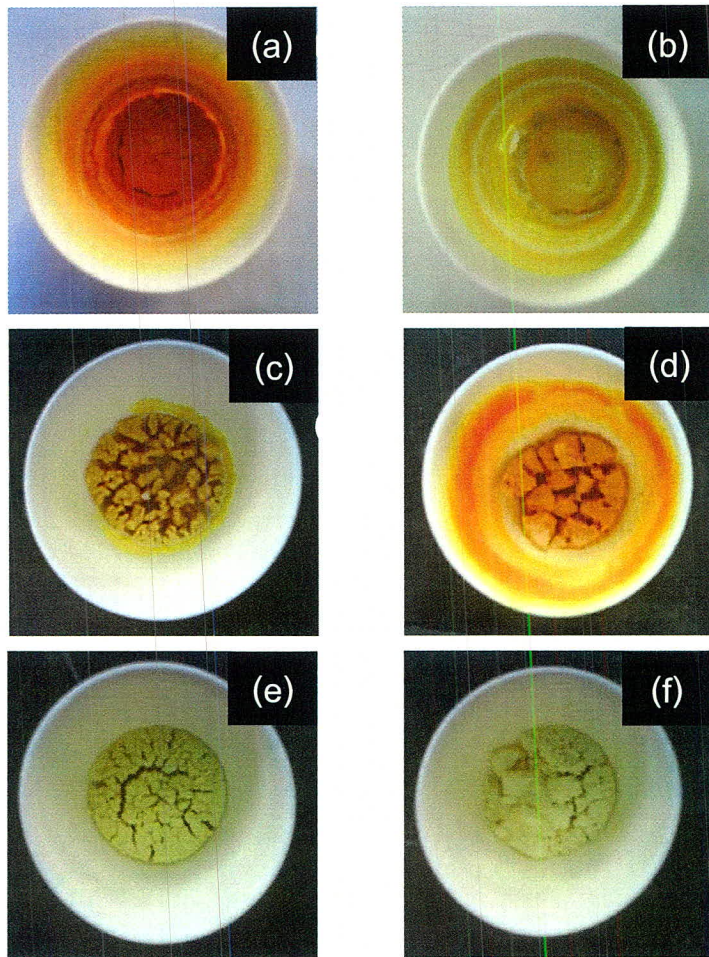
เมื่อนำสาร BNTZ เผาเคลือบในที่อุณหภูมิ 800°C ที่ปริมาณสารเติม Zr ร้อยละ 0.20, 0.35 พบร่วงเมล็ดเป็นสีขาว เมื่อปริมาณ Zr เพิ่มขึ้นเป็น 0.40 และ 0.45 เศษส่วนโดยโมล มีลักษณะคล้ายสีของสารบิสมัทออกไซด์ (Bi_2O_3) ที่มีสีเหลือง (รูป 4.4 (a) - (d))



รูป 4.4 ผง BNTZ เมื่อ (a) 0.20, (b) 0.35, (c) 0.40 และ (d) 0.45
เศษส่วนโมล ตามลำดับ เผาอุณหภูมิเคลือบ 800°C

เมื่อพิจารณาผง BNT ที่ปริมาณ Zr เท่ากับ 0.60 และ 0.80 เศษส่วนโดยโมล ที่ผ่านการเผาเคลือบ ที่อุณหภูมิ 800°C (รูป 4.5 (a) และ (b)) พบร่วงเกิดการหลอมละลายแข็งขึ้น จนทำให้ถ่ายออกลูมินาเกิดรอยแตกบริเวณขอบของผง และปรากฏสีที่พื้นผิวขึ้นสองบริเวณ คือ พื้นผิวด้านบนมีลักษณะเป็นสี

สัม ส่วนพื้นผิวด้านล่างเป็นสีเหลืองอ่อน ซึ่งอาจจะเกิดจากอุณหภูมิในการเคลือบไซน์ไม่เหมาะสม จึงได้ทำการลดอุณหภูมิเคลือบไซน์ลงจาก 800°C เป็น 750°C (รูป 4.5(c) และ (d)) หลังการเคลือบไซน์ เกิดการเกากรกลุ่มแข็งของผงสีเหลืองและมีความแข็งสูงจนไม่สามารถดัดแปลงรูปทรงได้ จำนวนจึงลดอุณหภูมิเคลือบไซน์เป็น 700°C (รูป 4.5 (e) และ (f)) ซึ่งเป็นอุณหภูมิเคลือบไซน์ที่เหมาะสม เนื่องจากทำให้ผง BNTZ มีสีเหลืองอ่อนขึ้น และผงไม่เกิดการหลอมตัวเกากรกลุ่มกันแข็งขึ้น ดังนั้นจากการทดลองดังกล่าวจึงอาจเป็นไปได้ว่าจุดหลอมละลายของผง BNTZ ลดลง เมื่อเพิ่มปริมาณ Zr สูงขึ้น

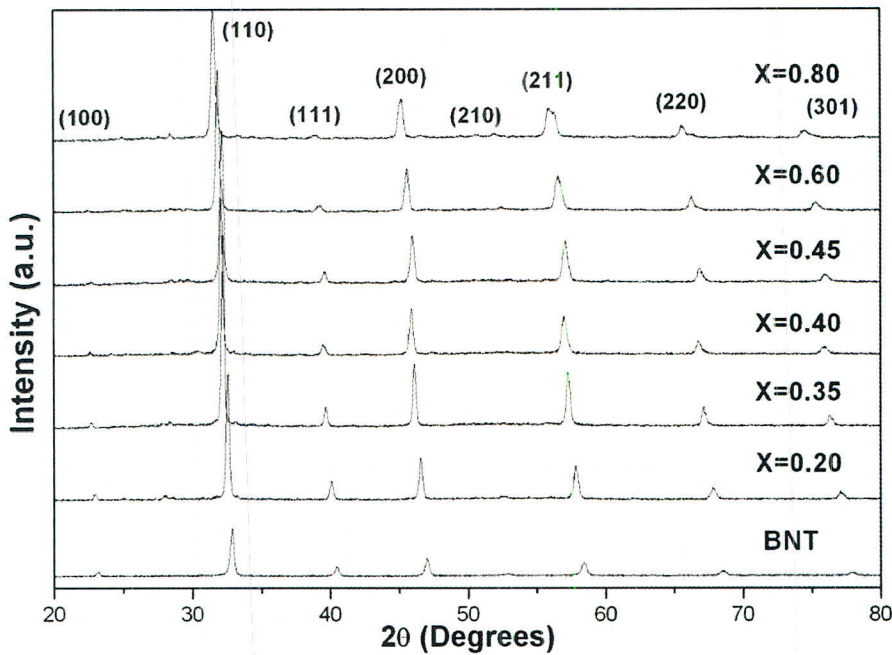


รูป 4.5 ผง BNTZ เผาอุณหภูมิเคลือบไซน์ 800°C (a) 0.60 และ (b) 0.80 เกิดการหลอมละลายแข็งขึ้น จึงลดอุณหภูมิเคลือบไซน์เป็น 750°C (c) 0.60 และ (d) 0.80 จนถึงอุณหภูมิเคลือบไซน์ที่เหมาะสมคือ 700°C (e) 0.60 และ (f) 0.80 ตามลำดับ

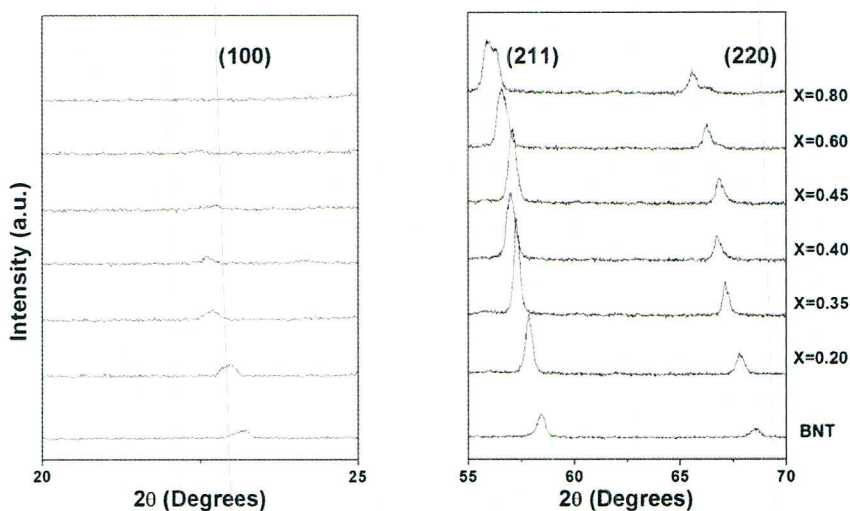
4.2.1.2 ผลการตรวจสอบโครงสร้างผลึกของผง

ในการสังเคราะห์ผง BNTZ จำแนกออกเป็นสองกลุ่มตามอุณหภูมิที่ใช้ในการแคลไชน์ กลุ่มแรก คือ อุณหภูมิแคลไชน์เท่ากับ 800°C ใช้ในการสังเคราะห์ผง BNT ที่เติมปริมาณ Zr ตั้งแต่ 0.20, 0.35, 0.40 และ 0.45 เศษส่วนโดยโมล และกลุ่มที่สอง คือ อุณหภูมิแคลไชน์เท่ากับ 700°C โดยใช้สังเคราะห์ผง BNT มีการเติมปริมาณ Zr ที่ 0.60 และ 0.80 เศษส่วนโดยโมล เมื่อได้ผงทั้งสองกลุ่ม จึงทำการวิเคราะห์โครงสร้างผลึกที่จะนำไปใช้งานต่อไป โดยปกติสารบิสมัทโซเดียมไทเทเนต หรือ BNT ($\text{Bi}_{0.5} \text{Na}_{0.5} \text{TiO}_3$) จะมีโครงสร้างแบบเพอร์โรวฟไกต์ (perovskite) 似榴石型结构的 ABO_3 แต่เนื่องจาก การเติม Zr เข้าไปในโครงสร้างของ BNT ทำให้ไอออนของ Zr เข้าไปแทนที่ไอออนของ Ti ซึ่งเป็นตำแหน่ง B site ของสาร BNT โดยเป็นการเติมสารเจือที่มีค่า瓦伦数เท่ากัน (isovalent) ประจุของไอออนเท่ากัน คือ $4+$ แต่มีรัศมีของไอออนของประจุทั้งสองมีค่าต่างกัน เพื่อทำให้เกิดเป็นสารละลายของแข็ง (solid solution) บิสมัทโซเดียมไทเทเนตเซอร์โคเนต (BNTZ) ขึ้น

จากการทดลอง พบว่า รูปแบบการถ่ายภาพของผง BNTZ ดังรูป 4.6 (a) สังเกตได้ว่าพิคเกิดการเลื่อนไปทางซ้ายทั้งระบบ เป็นผลมาจากการขยายตัวของเซลล์หน่วย ซึ่งขนาดรัศมีไอออน Zr ($r_{\text{Zr}^{4+}} = 0.72 \text{ \AA}$ [42]) มีขนาดใหญ่กว่าไอออนของไทเทเนียม ($r_{\text{Ti}^{4+}} = 0.61 \text{ \AA}$ [42]) เมื่อเพิ่มปริมาณการเติม Zr เท่ากับ 0.35 และ 0.40 เศษส่วนโดยโมล พบว่าโครงสร้างผลึกของผง BNTZ ยังคงเป็นโครงสร้างรวมโบธิรอด (Rhombohedral) แต่เมื่อปริมาณของ Zr สูงมากกว่า 0.40 เศษส่วนโดยโมล ทำให้ระบบเกิดการขยายตัวของเซลล์หน่วยเพิ่มมากขึ้น ส่งผลทำให้โครงสร้างผลึกของ BNT เกิดการเปลี่ยนแปลงไป เมื่อพิจารณาที่ปริมาณการเติม Zr มากกว่า 0.45 เศษส่วนโดยโมล (รูป 4.6 (b)) ระหว่างมุม $20^{\circ} - 25^{\circ}$ จะไม่ปรากฏพิคที่ระนาบ (100) เนื่องจากโครงสร้างผลึกเกิดการขยายตัวจนระนาบตั้งกล่าวหายไป ทั้งนี้ยังพบว่าที่ระนาบ (211) และ (220) จะสังเกตเห็นว่าพิคเกิดการแยกออกจากกัน (splitting) ซึ่งจะสังเกตเห็นได้อย่างชัดเจนที่ปริมาณการเติม Zr เท่ากับ 0.80 เศษส่วนโดยโมล ซึ่งเป็นไปได้ว่าการที่เกิดพิคแยกขึ้น อาจจะบ่งบอกว่าเป็นโครงสร้างรวมโบธิรอด หรือเตตราgonal ดังในรูป 4.6 (c) ซึ่งรายละเอียดของโครงสร้างผลึกนี้จะได้ทำการศึกษาต่อไป นอกจากนั้นพบว่าที่ปริมาณการเติม Zr เท่ากับ 0.60 และ 0.80 เศษส่วนโดยโมล พบร่วมเฟสอื่นบนอยู่ด้วย และในขณะนี้กำลังอยู่ในระหว่างทำการศึกษาอิทธิพลของการ Na_2CO_3 ที่มีผลต่อการเกิดเฟสอื่นที่บ่นอยู่



(a)



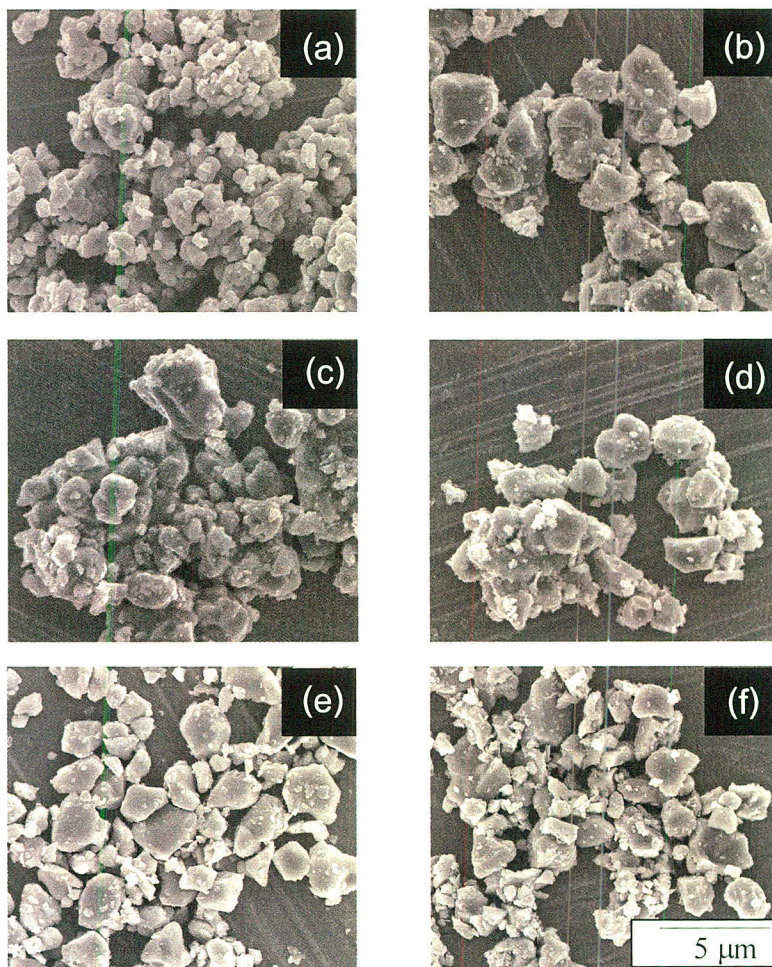
(b)

(c)

รูป 4.6 (a) รูปแบบการเลี้ยวเบนของรังสีเอกซ์ของ BNTZ พบว่า เมื่อเพิ่มปริมาณ Zr สูงขึ้นทำให้ (b) ไม่ปรากฏพีคที่ระนาบ (110) รวมทั้ง (c) พีคที่ระนาบ (211) และ (220) เกิดการแยกตัวแสดงถึงการเปลี่ยนแปลงโครงสร้างผลึก

4.2.1.3 ผลการตรวจสอบโครงสร้างทางจุลภาคของผง

เมื่อทำการสังเคราะห์ผง BNTZ และ จึงทำการศึกษาโครงสร้างทางจุลภาคด้วยกล้องจุลทรรศน์อิเล็กตรอนแบบสองกราด (SEM) จากผลการทดลองพบว่า โครงสร้างทางจุลภาคของผง BNTZ เกิดการเปลี่ยนแปลงไป เมื่อเพิ่มปริมาณของ Zr มาขึ้น ผง BNTZ ทุกปริมาณการเติม Zr มีอนุภาคขนาดเล็กเกาะกันจนเป็นก้อนใหญ่ขึ้น (agglomeration) เนื่องจากการขึ้นรูปของอนุภาคเพื่อลดพลังงานพื้นผิว (surface energy) ของระบบลง และทำให้ระบบเกิดความเสถียรมากขึ้น ผลของปริมาณ Zr ที่เพิ่มขึ้นทำให้ขนาดอนุภาคใหญ่ขึ้น และมีขนาดเส้นผ่านศูนย์กลางประมาณ 0.50 - 3.0 ไมครอน ดังรูป 4.7

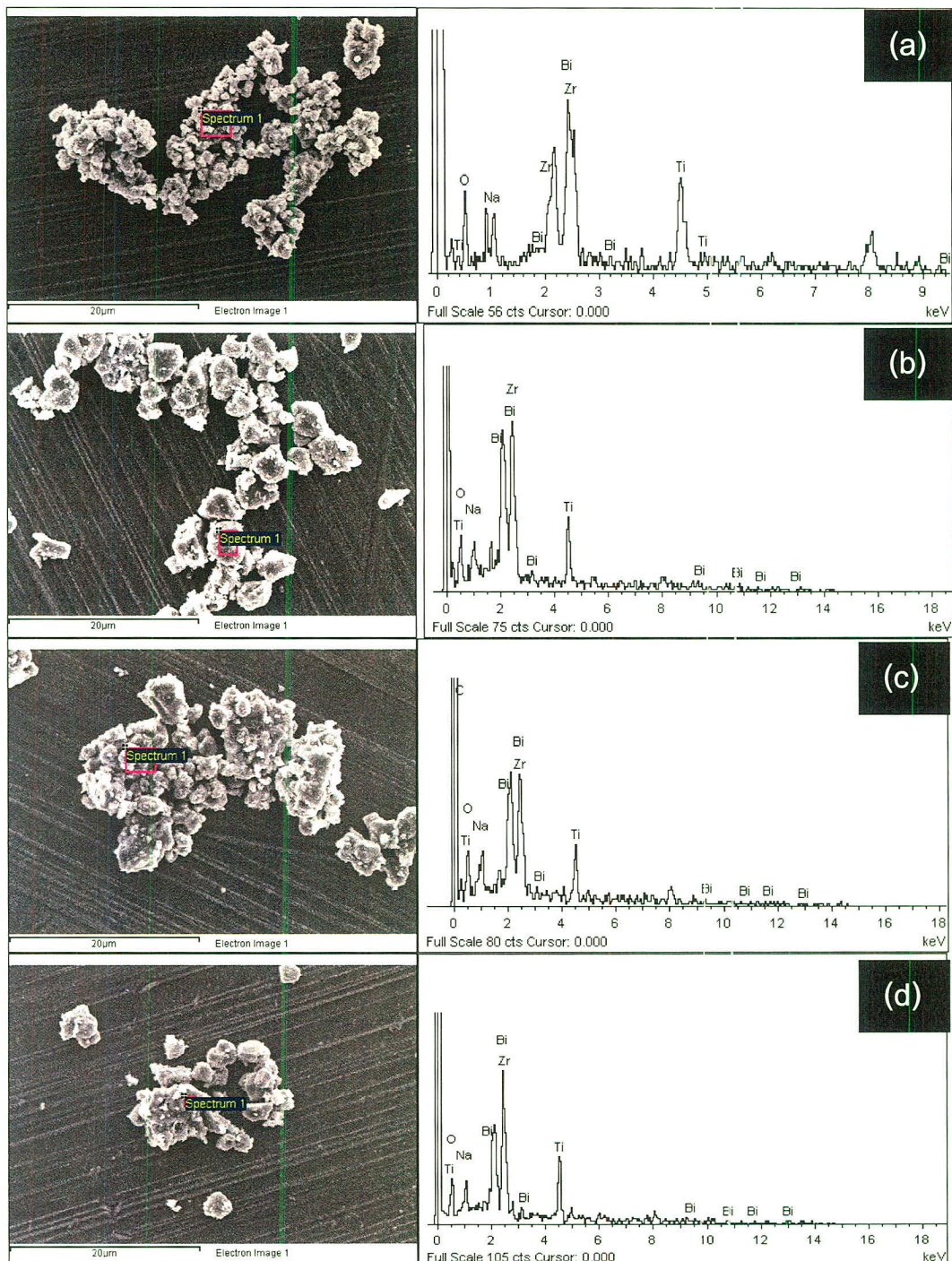


รูป 4.7 ภาพถ่าย SEM ของผง BNTZ (a) 0.20, (b) 0.35, (c) 0.40 และ (d) 0.45 เศษส่วนไมลแคลไชน์ที่อุณหภูมิ 800°C ส่วน (e) 0.60 และ (f) 0.80 แคลไชน์ที่อุณหภูมิ 700°C

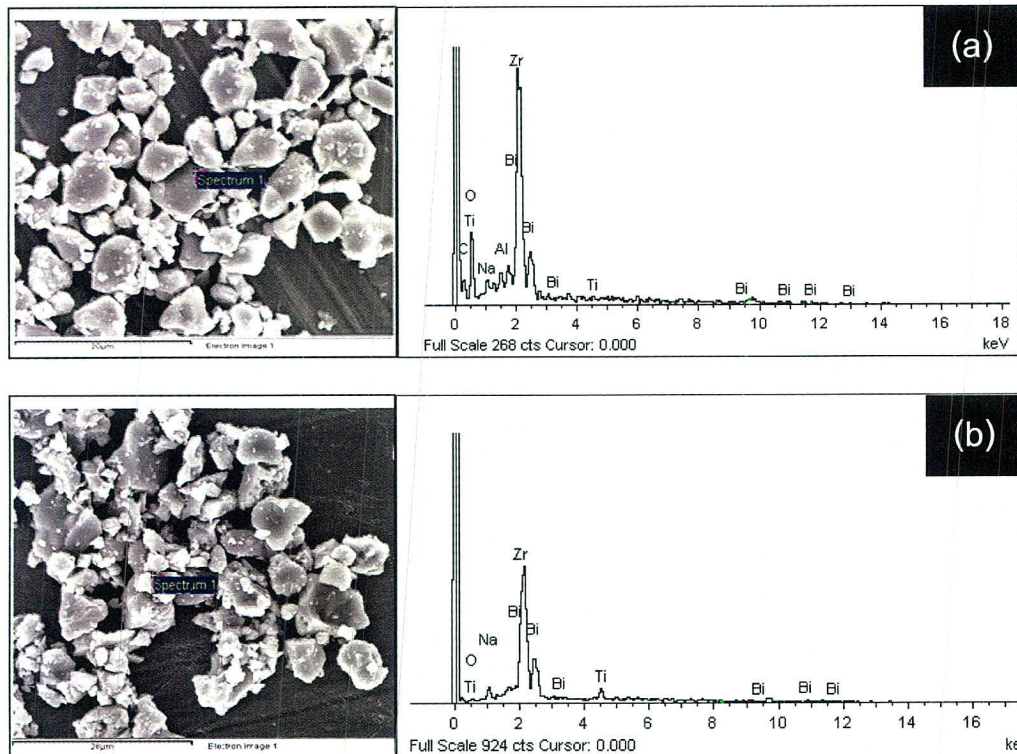
4.2.1.4 ผลการตรวจสอบองค์ประกอบทางเคมีของผง

แคลไนซ์ที่อุณหภูมิ 700°C และ 800°C นอกจากการศึกษาโครงสร้างทางจุลภาคด้วยเทคนิคจุลทรรศน์อิเล็กตรอนแบบส่องกราดแล้ว ยังได้มีการเลือกผง BNTZ ที่ผ่านการแคลไนซ์ที่อุณหภูมิเท่ากับ 800°C ใช้ในการสังเคราะห์ผง BNT ที่เติมปริมาณ Zr ตั้งแต่ 0.20, 0.35, 0.40 และ 0.45 เศษส่วนโดยไมล และกลุ่มที่สองผ่านการแคลไนซ์อุณหภูมิเท่ากับ 700°C มีการเติมปริมาณ Zr ที่ 0.60 และ 0.80 เศษส่วนโดยไมล มาตรวจสอบองค์ประกอบทางเคมีเพิ่มเติมด้วยเทคนิคการวัดการกระจายพลังงานของรังสีเอกซ์ (EDX) ซึ่งเป็นการวิเคราะห์เชิงคุณภาพที่ใช้ในการศึกษาเฟส และส่วนประกอบของธาตุที่พบในชิ้นงาน แม้จะมีการข้องกับข้องตัวแห่งพีค สามารถทราบได้ว่ามีธาตุใดเป็นส่วนประกอบ โดยการพิจารณาจากตัวแห่งและความเข้มของพีคข้างเคียง ในการวิเคราะห์เชิงคุณภาพของชิ้นงานตัวอย่างจะอ่านค่าพลังงานของรังสีเอกซ์บนスペกตรัมการกระจายพลังงานของรังสีเอกซ์ที่ตรวจวัดได้ จะรายงานค่าความเข้มของรังสีในแกนตั้ง และค่าพลังงานของรังสีในแกนนอน

จากรูป 4.8 และ รูป 4.9 พบว่า ผง BNTZ ที่สังเคราะห์ได้มีความเป็นเนื้อเดียวกัน (homogeneous) สังเกตได้จากลักษณะสีที่มีความคล้ายคลึงกันทั้งก้อนผง และจากตาราง 4.2 จะสังเกตเห็นได้ว่าพบรูปชนิดของธาตุตามองค์ประกอบที่ใช้ในผง BNTZ ทุกธาตุ โดยผลการวิเคราะห์ปริมาณธาตุเซอร์โคเนียมในแต่ละอัตราส่วนค่อนข้างมีแนวโน้มเพิ่มขึ้น ตามปริมาณการเติมเซอร์โคเนียม ยกเว้นที่ 0.35 เศษส่วนโดยไมลนั้นมีค่าสูงถึงร้อยละ 11.39 โดยอัตราส่วนนิชฐานว่าใน การวิเคราะห์ EDX บนพื้นผิวชิ้นงานที่มีกำลังขยายต่ำ เมื่อเลือกวิเคราะห์บันเกรนที่มีขนาดเล็กนั้น ค่าพลังงานศักย์แรง และขนาดของลำอิเล็กตรอน (spot size) ที่เหมาะสมถือเป็นปัจจัยสำคัญต่อคุณภาพของการวิเคราะห์ ที่ทำให้เกิดผลของปฏิกิริยา กับปริมาตร (interaction volume) ระหวบทต่อเกรนอื่นที่อยู่บริเวณใกล้เคียง จึงทำให้ผลการวิเคราะห์ EDX ในเชิงปริมาณอาจจะมีผลการวิเคราะห์ของเกรนนอกจุดสนใจเกี้ยวข้องด้วย ดังนั้นในการวิเคราะห์เกรนขนาดเล็กควรปรับกำลังขยายให้มีขนาดสูง แล้ว จึงเลือกบริเวณในการวิเคราะห์หลายๆ สเปกตรัมบนผิวชิ้นงานนั้น หรือทำการวิเคราะห์แบบพื้นที่ (mapping) จึงทำให้การวิเคราะห์เชิงปริมาณของธาตุที่ตรวจพบมีความแม่นยำ และเรื่อถือมากยิ่งขึ้น เนื่องจากในงานวิจัยนี้มีการเลือกบริเวณพื้นผิวชิ้นงานที่ทำการวิเคราะห์เป็นเพียงการสุมบริเวณทดลองเพียงจุดเดียว จึงทำให้การวิเคราะห์เชิงปริมาณของธาตุ Zr ที่ตรวจพบในเชิงปริมาณ BNTZ ไม่เกิดแนวโน้มเพิ่มขึ้นตามปริมาณการเติม Zr สูงขึ้น



รูป 4.8 ภาพถ่าย BEI ที่กำลังขยาย 3000 และ Spectrum 1 ใช้เวลาระดับ EDX (a) 0.20, (b) 0.35 (c) 0.40 และ (d) 0.45 แคลิเซ่นที่อุณหภูมิ 800°C



รูป 4.9 ภาพถ่าย BEI ที่กำลังขยาย 5000 และ Spectrum 1 ใช้เคราะห์ EDX (a) 0.60 และ (b) 0.80 แคลไซน์ที่อุณหภูมิ 700°C

ตาราง 4.2 การเปรียบเทียบองค์ประกอบของธาตุในผง BNTZ ด้วยเทคนิค EDX

x	Element									
	Bi		Na		Ti		Zr		O	
	Wt%	At%	Wt%	At%	Wt%	At%	Wt%	At%	Wt%	At%
0.20	46.92	8.86	4.18	7.18	19.41	15.99	2.35	1.02	27.13	66.94
0.35	48.37	12.54	2.39	5.63	13.93	15.76	19.17	11.39	16.15	54.69
0.40	39.36	6.97	2.94	4.73	13.35	10.31	16.37	6.64	19.31	44.64
0.45	52.30	13.86	3.36	8.10	15.82	18.29	13.66	8.30	14.86	51.45
0.60	23.27	3.76	1.40	2.05	0.57	0.40	39.24	14.51	25.48	53.72
0.80	51.13	20.81	3.57	13.20	7.06	12.53	34.19	31.88	4.06	21.57

4.2.2 ผลการเตريยมเซรามิก $\text{Bi}_{0.5}\text{Na}_{0.5}\text{Ti}_{1-x}\text{Zr}_x\text{O}_3$ ($0 < x < 1$)

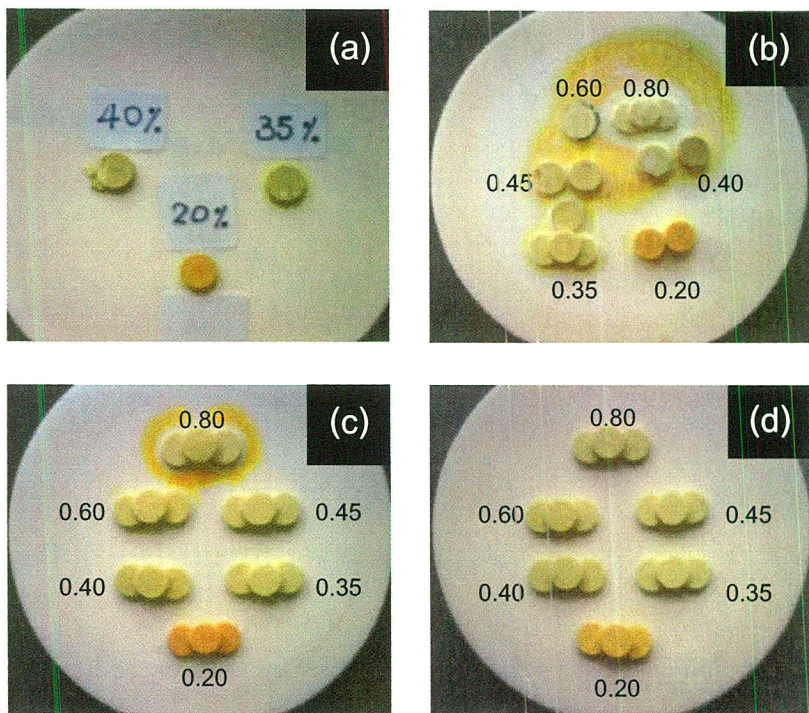
หลังจากทำการเคลือบชั้ดอง BNTZ ที่ปริมาณ Zr ร้อยละ 0.20, 0.35, 0.40, 0.45, 0.60 และ 0.80 โดยโมลแล้ว จึงนำผง BNTZ ดังกล่าวมาอัดขึ้นรูปด้วยแรงดัน 1 ตัน เป็นเวลา 15 วินาที เป็นเม็ดแฟ่นกลม (disk) มีเส้นผ่านศูนย์กลาง 1.0 cm โดยใช้พอลิไวนิลแอกโอลออล (PVA) ความเข้มข้นร้อยละ 3 โดยน้ำหนัก เป็นสารยึดเหนี่ยวในการขึ้นรูป จากนั้นนำชิ้นงานเผาชิ้นเทอร์ที่อุณหภูมิ 900-1000 °C เป็นเวลา 2 ชั่วโมง ด้วยอัตราการขึ้นลง 5 °C/min เพื่อทำการศึกษาอุณหภูมิที่เหมาะสมสำหรับการเผาชิ้นเทอร์ โดยการพิจารณาจากค่าความหนาแน่นและโครงสร้างผลิตภัณฑ์ของเซรามิก BNTZ เมื่อทราบอุณหภูมิชิ้นเทอร์ที่เหมาะสมสมดังกล่าว จึงทำการเตريยมเซรามิก BNTZ เพื่อนำไปใช้ในทดสอบคุณสมบัติด้านต่างๆ ของวัสดุต่อไป

4.2.2.1 ผลตรวจสอบสมบัติทางกายภาพของเซรามิก

ในการทดลองหาอุณหภูมิชิ้นเทอร์ที่เหมาะสมนี้ จะทำการเผาชิ้นเทอร์ 3 อุณหภูมิ คือ 1000, 950 และ 900 °C ด้วย เป็นเวลานาน 2 ชั่วโมง อัตราขึ้นลง 5 °C/min โดยอุณหภูมิแรกที่ทำการทดลอง อุณหภูมิเผาชิ้นเทอร์ คือ 1000 °C ที่ปริมาณ Zr ร้อยละ 0.20, 0.35 และ 0.40 โดยโมลดังรูป 4.10 (a) พบว่า เม็ดเซรามิกเป็นแผ่นกลม ไม่บิดเบี้ยวเสียรูปทรง และไม่เกิดการหลอมละลาย จากนั้นจึงทำการเผาชิ้นเทอร์ที่อุณหภูมิ 1000 °C ทุกปริมาณการเติม Zr ต่อไป เม็ดเซรามิก BNTZ มีสีเหลืองเข้มคล้ายคลึงกัน แต่เมื่อเพิ่มปริมาณ Zr มากขึ้นจะมีสีอ่อนลง มีลักษณะแผ่นกลม ไม่บิดเบี้ยว แต่เมื่อปริมาณ Zr ร้อยละ 0.60 และ 0.80 โดยโมล เกิดการหลอมละลายแข็งติดกับแผ่นอะลูминามีผงสีขาวติดที่ผิวเซรามิกขึ้น ดังรูป 4.10 (b) แสดงว่าอุณหภูมิที่ใช้ในการเผาชิ้นเทอร์ยังไม่เหมาะสม จึงทำการเปลี่ยนอุณหภูมิชิ้นเทอร์เป็น 950 °C จากรูป 4.10 (c) พบว่า การเติมเซอร์โคเนียมร้อยละ 0.80 โดยโมล ยังเกิดการหลอมละลายติดแผ่นอะลูминิอาอยู่ จากนั้นเปลี่ยนอุณหภูมิการเผาชิ้นเทอร์เป็น 900 °C ดังรูป 2.7 (d) ถือว่าเป็นอุณหภูมิชิ้นเทอร์ที่เหมาะสมสำหรับเซรามิก BNTZ นั้น ซึ่งได้เม็ดเซรามิกเป็นแผ่นกลม และไม่เกิดการหลอมละลายติดแผ่นอะลูминิอา

เมื่อเปรียบเทียบลักษณะของเซรามิก BNTZ ทั้งสามอุณหภูมิชิ้นเทอร์คือ 1000, 950 และ 900 °C โดยใช้อัตราขึ้นลง 5 °C/min เป็นเวลานาน 2 ชั่วโมง พบว่าลักษณะเม็ดเซรามิก BNTZ อ่อนลง และผลของอุณหภูมิชิ้นเทอร์ ทำให้เกิดการหลอมละลายของเม็ดเซรามิก BNTZ เมื่อมีการเติมปริมาณ Zr มากขึ้น จึงมีการลดอุณหภูมิชิ้นเทอร์จาก 1000 °C เป็น 950 °C จนถึง 900 °C เพื่อไม่ให้การเกิดการ

หลอมละลายของเม็ดเซรามิก BNTZ ในขั้นตอนการซินเทอร์เพาเซรามิก BNTZ เกิดจากกาซินเทอร์แบบเฟสของเหลว (liquid phase sintering) ในควบคู่กับการซินเทอร์ในสถานะของแข็ง (solid state sintering) เพราะว่าเกิดการหลอมละลายของสารตั้งต้นกล้ายเป็นเฟสของเหลวขึ้นในระบบ เมื่อสารตั้งต้นของเซรามิก BNTZ คือ สาร Bi_2O_3 กับ Na_2CO_3 เป็นสารที่มีจุดหลอมเหลวต่ำ และสาร TiO_2 กับ ZrO_2 เป็นสารที่มีจุดหลอมเหลว เมื่อสารตั้งต้นทำปฏิกิริยากันโดยผ่านการเผาซินเทอร์ จะได้เม็ดเซรามิก BNTZ ที่ของปริมาณการเติม Zr เท่ากับ 0.60 และ 0.80 เช่นส่วนโดยไม่นั้น ทำให้เม็ดเซรามิกเกิดการหลอมละลาย เนื่องจากการทำปฏิกิริยากันของสารเซอร์โคเนต (ZrO_2) ที่มีจุดหลอมเหลวสูง และโซเดียมคาร์บอเนต (Na_2CO_3) มีจุดหลอมเหลวต่ำ มีผลทำให้จุดหลอมเหลวของระบบสารประกอบนั้นลดต่ำลง ถ้ามีการเติมปริมาณ ZrO_2 และ Na_2CO_3 ในอัตราส่วนที่เหมาะสมสมต่อการเกิดปฏิกิริยา เนื่องจากเม็ดเซรามิก BNTZ ตั้งแต่ 0.20, 0.35, 0.40, 0.45, 0.60 และ 0.80 เช่นส่วนโดยไม่ ใช้อุณหภูมิซินเทอร์ต่ำเพียง 900°C เท่านั้น ต่อไปจึงทำการศึกษาจุดหลอมเหลวของเซรามิก BNTZ โดยเครื่อง Differential Thermal Analyzer (DTA) ที่ใช้หลักการคูดและการคายความร้อนของสารตัวอย่างเปรียบกับสารอ้างอิงภายในตัวอย่าง ทำให้ทราบความแตกต่างของอุณหภูมิที่เกิดขึ้น สารทดสอบเกิดการเปลี่ยนแปลงเฟสเมื่อได้รับความร้อนทำให้ทราบจุดหลอมเหลวที่แท้จริงของเซรามิก BNTZ



รูป 4.10 เซรามิก BNTZ เมื่อเผาเซินเทอร์ที่อุณหภูมิ (a), (b) 1000 (c) 950 และ (d) 900 °C

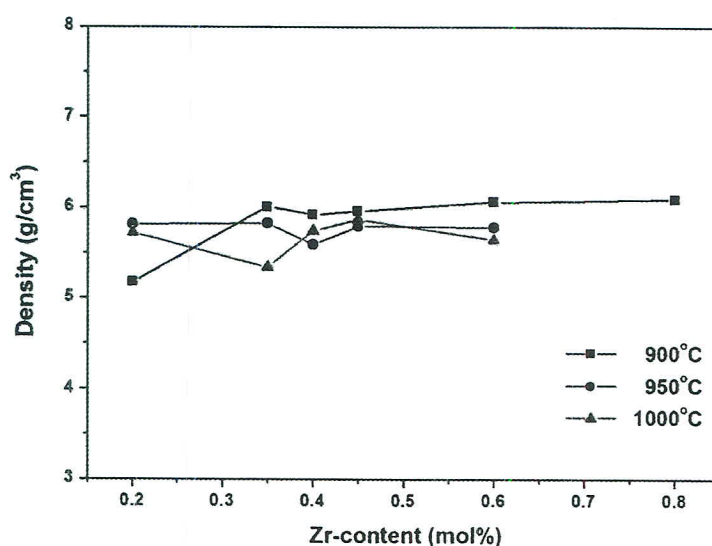
ความหนาแน่นของเซรามิก BNTZ

ในการวิเคราะห์ความหนาแน่นของเซรามิก BNTZ จะแบ่งออกเป็นสองวิธีการคือ วิธีการแรกคือ การหาค่าความหนาแน่นด้วยเทคนิคของอาร์คิเมดิส (Archimedes's method) ที่อาศัยหลักการแทนที่ด้วยน้ำใน vat ดู ส่วนอีกวิธีการหนึ่งคือ การหาค่าความหนาแน่นทางทฤษฎีด้วยรูปแบบการเลี้ยงเบนของรังสีเอกซ์ (X-ray diffraction pattern) ซึ่งจะอธิบายรายละเอียดดังต่อไปนี้

● ค่าความหนาแน่น

เมื่อนำผง BNTZ ที่ผ่านการอัดเม็ด มาทดลองเผาเซินเทอร์ที่อุณหภูมิ 1000, 950 และ 900 °C ด้วยอัตราขึ้น-ลง 5 °C/min เป็นเวลา 2 ชั่วโมง แล้วนำมาหาค่าความหนาแน่นด้วยหลักการของอาร์คิเมดิส จากกราฟความหนาแน่นรูป 4.11 พบว่าอุณหภูมิเซินเทอร์ 1000 °C และ 950 °C นั้นได้เม็ดเซรามิกไม่ครบทุกปริมาณการเติม Zr เนื่องจากที่ปริมาณ Zr ร้อยละ 0.80 โดยเมล ก็ิดการหลอมละลายแข็งติดแผ่นอะลูมินา จากตาราง 4.3 ค่าความหนาแน่นของสองอุณหภูมนี้มีค่า

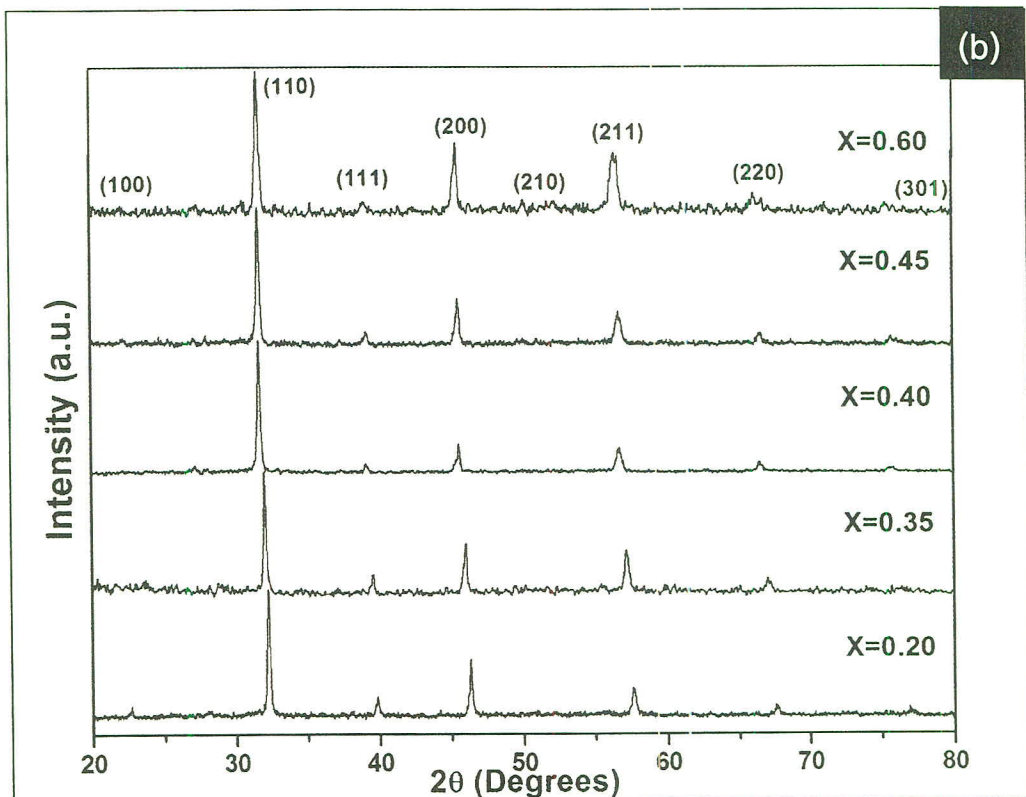
ใกล้เคียงกันระหว่าง $5.37\text{-}5.87 \text{ g/cm}^3$ และ $5.59\text{-}5.83 \text{ g/cm}^3$ ตามลำดับ ส่วนอุณหภูมิซินเทอร์ 900°C ถือว่าเป็นอุณหภูมิที่เหมาะสม เนื่องจากได้เซรามิกครบถ้วนต่อการเติม Zr และความหนาแน่นมีแนวโน้มเพิ่มขึ้น ซึ่งสัมพันธ์กับปริมาณ Zr ที่เพิ่มขึ้นด้วย โดยมีค่าความหนาแน่นระหว่าง $5.17\text{-}6.09 \text{ g/cm}^3$ เป็นค่าความหนาแน่นที่มากกว่าบางอุณหภูมิอีกด้วย



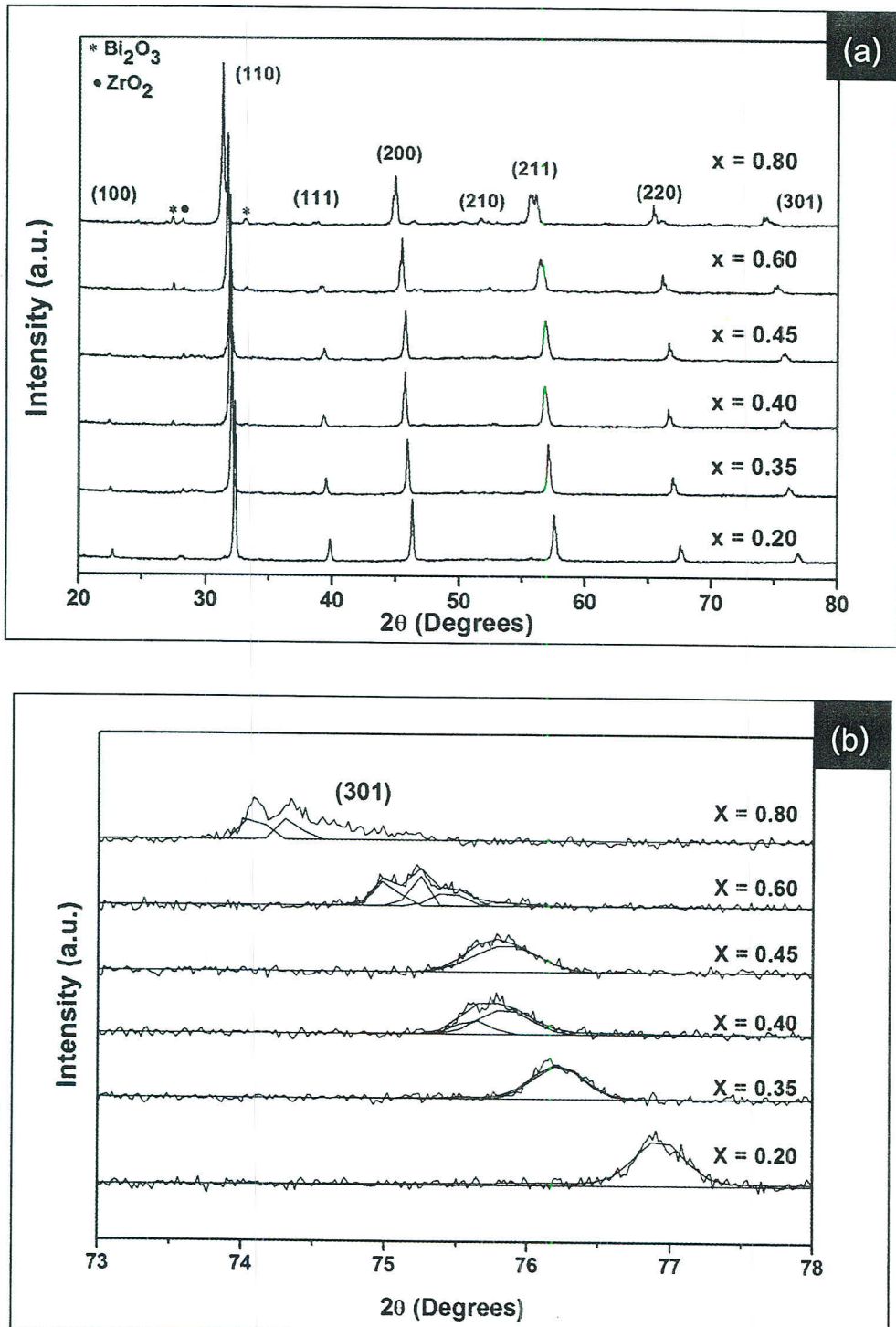
รูป 4.11 ความหนาแน่น BNTZ เซรามิกที่อุณหภูมิซินเทอร์ 1000°C , 950°C และ 900°C

ตาราง 4.3 ค่าความหนาแน่นของเซรามิก BNTZ ผ่านการเผาซินเทอร์ที่อุณหภูมิต่างๆ

$\text{Bi}_{0.5}\text{Na}_{0.5}\text{Ti}_{1-x}\text{Zr}_x\text{O}_3$	Density (g/cm^3)		
	1000°C	950°C	900°C
X=0.20	5.72	5.81	5.17
X=0.35	5.34	5.83	6.01
X=0.40	5.74	5.59	5.92
X=0.45	5.87	5.78	5.96
X=0.60	5.64	5.78	6.06
X=0.80	-	-	6.09



รูป 4.12 รูปแบบการเดี้ยงเบนของรังสีเอกซ์ของ BNTZ เซรามิก ผ่านการเผาชินเทอร์ที่อุณหภูมิ
(a) 1000°C และ (b) 950°C ด้วยอัตราขึ้นลง $5^{\circ}\text{C}/\text{min}$ เป็นเวลา 2 ชั่วโมง

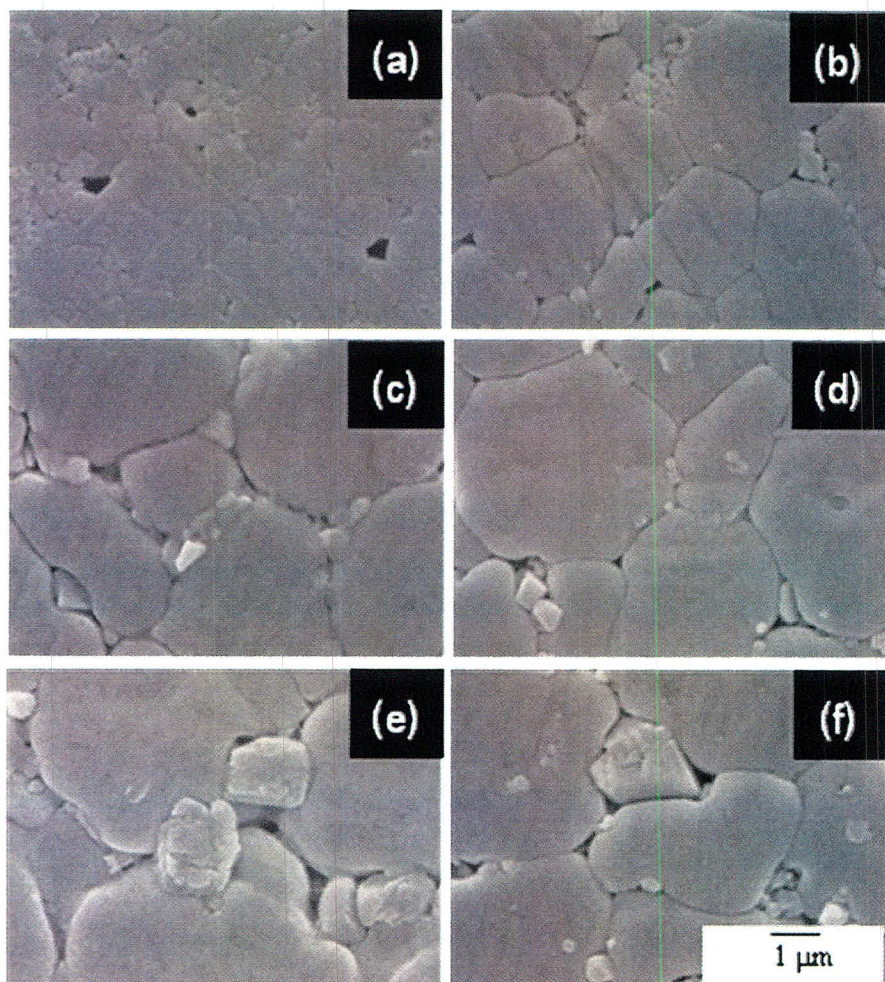


รูป 4.13 (a) รูปแบบการเลี้ยวเบนของรังสีเอกซ์ของ BNTZ เครื่ามิกอุณหภูมิชินເກໂຮງ 900°C มีการเปลี่ยนแปลงโครงสร้าง สังเกตจาก (b) ที่ปริมาณ ZrO_2 ร้อยละ 0.60 โดยไม่พิคມีแยกตัวขึ้น

4.2.2.3 ผลการตรวจสอบโครงสร้างทางจุลภาคของเซรามิก

เมื่อนำเซรามิก BNTZ ที่ผ่านการเผาเซ็นเทอร์ที่อุณหภูมิ 900°C ด้วยอัตราขึ้น-ลง $5^{\circ}\text{C}/\text{min}$ เป็นเวลา 2 ชั่วโมง จากนั้นนำมาขัดด้วยกระดาษทรายและผงอะลูมิเนียม ให้เรียบและเป็นระนาบ จากนั้นทำ thermal etching ที่อุณหภูมิ 800°C เป็นเวลา 15 นาที จึงนำมาศึกษาโครงสร้างทางจุลภาคด้วยกล้องจุลทรรศน์อิเล็กตรอนแบบส่องกราด (SEM)

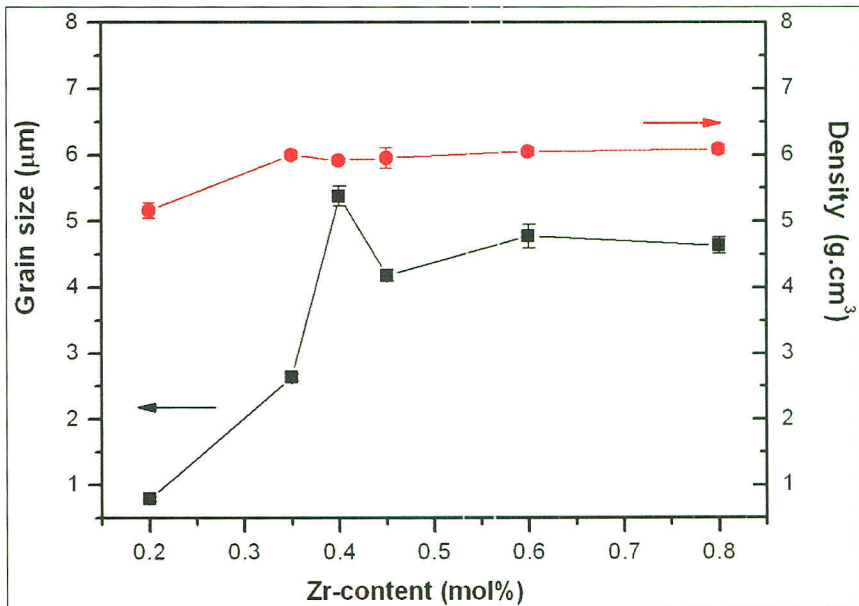
ผลจากการศึกษาโครงสร้างทางจุลภาคของเซรามิก BNTZ ด้วยกล้อง SEM ดังรูป 4.14 พบว่า เกรนของเซรามิก BNTZ มีรูปร่างแบบอิควิแอกซ์ (equiaxed grain shape) ที่ปริมาณ Zr ตั้งแต่ 0.20, 0.35, 0.40 และ 0.45 เศษส่วนโดยไม่ลด (รูป 4.14 (a)-(d)) พบร่วมกับ Zr ส่วนที่ปริมาณ Zr เท่ากับ 0.60 และ 0.80 เศษส่วนโดยไม่ลด พบร่วมกับ Zr ส่วนที่ปริมาณ Zr เท่ากับ 0.60 และ 0.80 เศษส่วนโดยไม่ลด จึงสันนิษฐานว่า เป็นเกรนขนาดเล็ก คือ เพสของสาร Bi_2O_3 และ ZrO_2 เมื่อนำที่ตราชูปแบบการเดี่ยวบนของ รังสีเอกซ์ เกรนขนาดเล็กมีปริมาณธาตุ Zr (Zr-rich phase) อยู่สูงบริเวณขอบเกรน ซึ่งคาดว่าเป็นตัว ยับยั้งการเติบโตของเกรน เนื่องจากธาตุ Zr มีความเสถียรมากกว่าธาตุ Ti เพราะสาร ZrO_2 บริสุทธิ์ มี จุดหลอมเหลวสูง และมีความเป็น polymorphic คือ ที่อุณหภูมิสูงมีโครงสร้างแบบคิวบิก (cubic) มี ความเสถียร และที่อุณหภูมิ 1170°C เกิดการเปลี่ยนแปลงโครงสร้างจากเตต拉gonal (tetragonal) ไปเป็นโมโนคลินิก (monoclinic) ที่อุณหภูมิห้อง จึงนิยมนำสาร ZrO_2 มาเป็นสารเจือในเซรามิกที่มี โครงสร้างเพอร์อฟลักทิกส์ ไทเทเนต ยกตัวอย่างเช่น เซรามิกแบบเรียมไทเทเนตเซอร์โคเนต ($\text{Ba}(\text{Ti}_{1-x}\text{Zr}_x)\text{O}_3$) ที่มีเพิ่มปริมาณ Zr ลงไปในสารแบบเรียมไทเทเนต (BaTiO_3) ถึงร้อยละ 30 โดยไม่ลด ผลศึกษา โครงสร้างทางจุลภาคพบว่าเกรนเฉลี่ยมีขนาดใหญ่อよดในช่วง 20-60 ไมครอน เป็นเฟสเดียว โดยไม่มี เพสรองเหลย หรือการแยกเพสบริเวณขอบเกรนเหลย นอกจากนั้นพบว่าท่ามกลางเกรนขนาดใหญ่มาก ปรากฏเกรนขนาดเล็กແรากตัวขึ้น สงผลให้ค่าคงที่ไดอิเล็กทริกของเซรามิก BZT มีค่าสูงถึง 25,000-40,000 และมีค่าแฟกเตอร์การสูญเสียทางไดอิเล็กทริกต่ำ อีกทั้งยังมีความสามารถในการเปลี่ยนเฟสที่ เรียกว่า pinched phase transition ซึ่งลักษณะของเกรนเซรามิก BNTZ คล้ายกับเซรามิก BZT จึงคาด ว่าลักษณะเกรนของเซรามิก BNTZ อาจจะส่งผลต่อสมบัติทางไฟฟ้าที่ดีขึ้น เช่นกัน



รูป 4.14 โครงสร้างทางจุลภาคของเซรามิก BNTZ ที่ปริมาณ Zr ตั้งแต่ (a) 0.20, (b) 0.35
 (c) 0.40, (d) 0.45, (e) 0.60 และ 0.80 เศษส่วนโดยโมล เผาชินเทอร์ทอุณหภูมิ 900°C เป็นเวลา 2
 ชั่วโมง

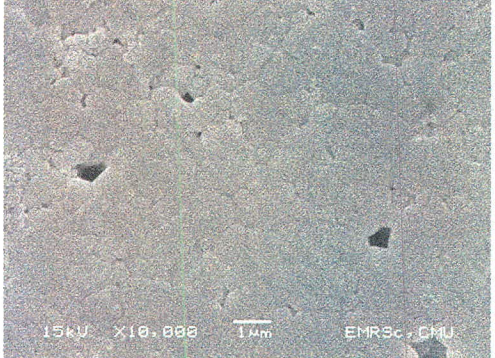
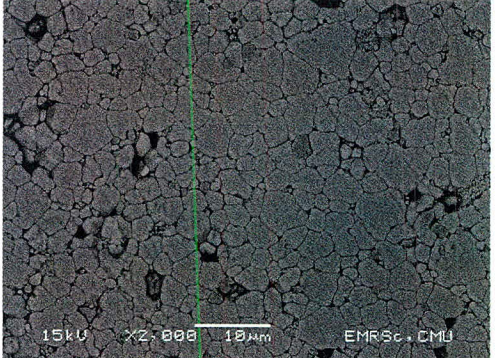
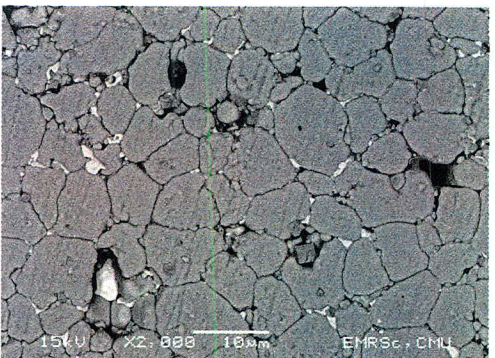
ขนาดของเกรน

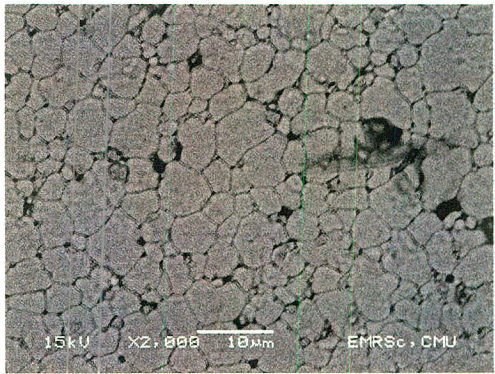
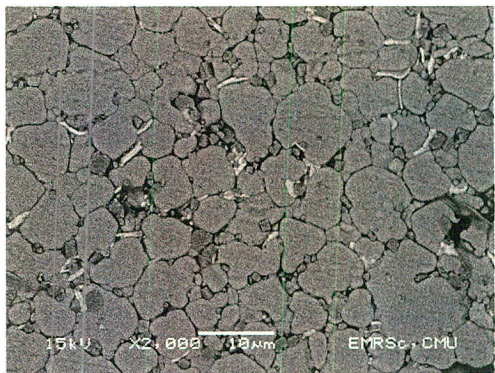
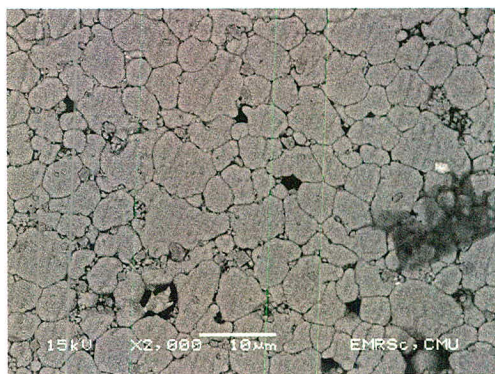
เมื่อทำการตรวจสอบโครงสร้างทางจุลภาคด้วยกล้องจุลทรรศน์อิเล็กตรอนแล้ว ภาพถ่าย SEM แบบ backscattering electron ที่กำลังขยาย 2000 เท่า ดังตาราง 4.4 (ยกเว้นที่ปริมาณ Zr ร้อยละ 0.20 โดยโมล ถ่ายที่กำลังขยาย 2000 เท่า ไม่สามารถมองเห็นได้เกรนเนื่องจากมีขนาดเล็ก จึงนำภาพถ่าย SEM ชนิด secondary electron ที่กำลังขยาย 10000 เท่า มาหาค่าขนาดเกรนแทน) แล้วนำขนาดเกรนของเซรามิก BNTZ โดยใช้วิธีการแบบจุดตัดเกรนเฉลี่ย (mean linear intercept) โดยลากเส้นตรงแบบสุ่มผ่านเกรนอย่างน้อย 10 เส้นตรง เพื่อได้ค่าขนาดเกรนเฉลี่ยที่มีถูกต้องและความคลาดเคลื่อนน้อย จากผลการทดลองพบว่าขนาดเกรนเฉลี่ยของเซรามิก BNTZ ดังภาพรูป 4.15 จะเห็นได้ว่าเมื่อเพิ่มปริมาณ Zr มากขึ้น ขนาดเกรนมีแนวโน้มเพิ่มมากขึ้นด้วย ยกเว้นที่ปริมาณ Zr ร้อยละ 0.40 โดยโมล มีขนาดเกรนเฉลี่ยสูงถึง 5.37 ไมครอน อาจเกิดจากการแทนที่ของ Zr^{4+} ภายในเมทัริกต์ในปริมาณที่เหมาะสมจะทำให้เกรนมีขนาดใหญ่กว่าการเติมปริมาณ Zr ที่อัตราส่วนอื่นในเซรามิก BNTZ



รูป 4.15 ความสัมพันธ์ระหว่างขนาดเกรน และ ความหนาแน่นกับ ปริมาณการเติม Zr ของเซรามิก BNTZ ที่ร้อยละ (a) 0.20, (b) 0.35 (c) 0.40, (d) 0.45, (e) 0.60 c และ 0.80 โดยโมล เผาอุณหภูมิ 900 °C เป็นเวลา 2 ชั่วโมง

ตาราง 4.4 ขนาดเกรนและภาพถ่าย SEM ของเซรามิก BNTZ

$\text{Bi}_{0.5}\text{Na}_{0.5}\text{Ti}_{1-x}\text{Zr}_x\text{O}_3$	ขนาดเกรน (μm)	ภาพถ่าย SEM
0.20	0.78 ± 0.10	 <p>15kV X10,000 1μm EMRSc - CMU</p>
0.35	2.63 ± 0.17	 <p>15kV X2,000 10μm EMRSc - CMU</p>
0.40	5.37 ± 0.15	 <p>15kV X2,000 10μm EMRSc - CMU</p>

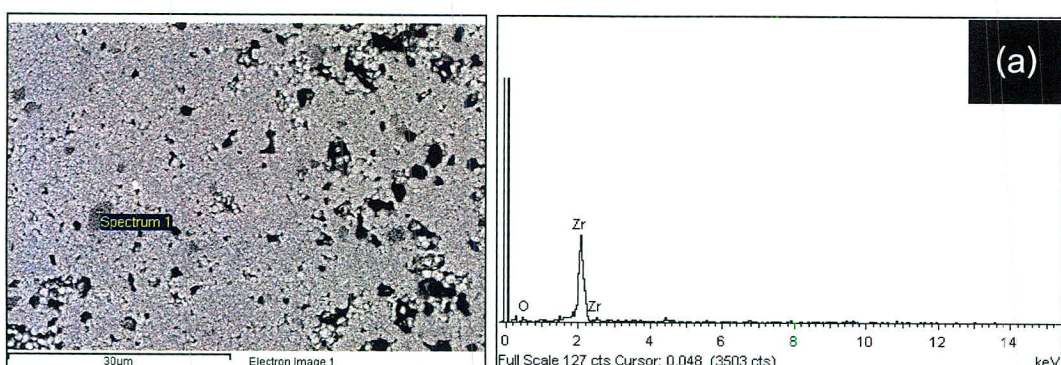
$\text{Bi}_{0.5}\text{Na}_{0.5}\text{Ti}_{1-x}\text{Zr}_x\text{O}_3$	ขนาดเกรป (μm)	ภาพถ่าย SEM
0.45	4.18 ± 0.29	 <p>15kV X2,000 10μm EMRSc, CMU</p>
0.60	4.77 ± 0.52	 <p>15kV X2,000 10μm EMRSc, CMU</p>
0.80	4.63 ± 0.38	 <p>15kV X2,000 10μm EMRSc, CMU</p>

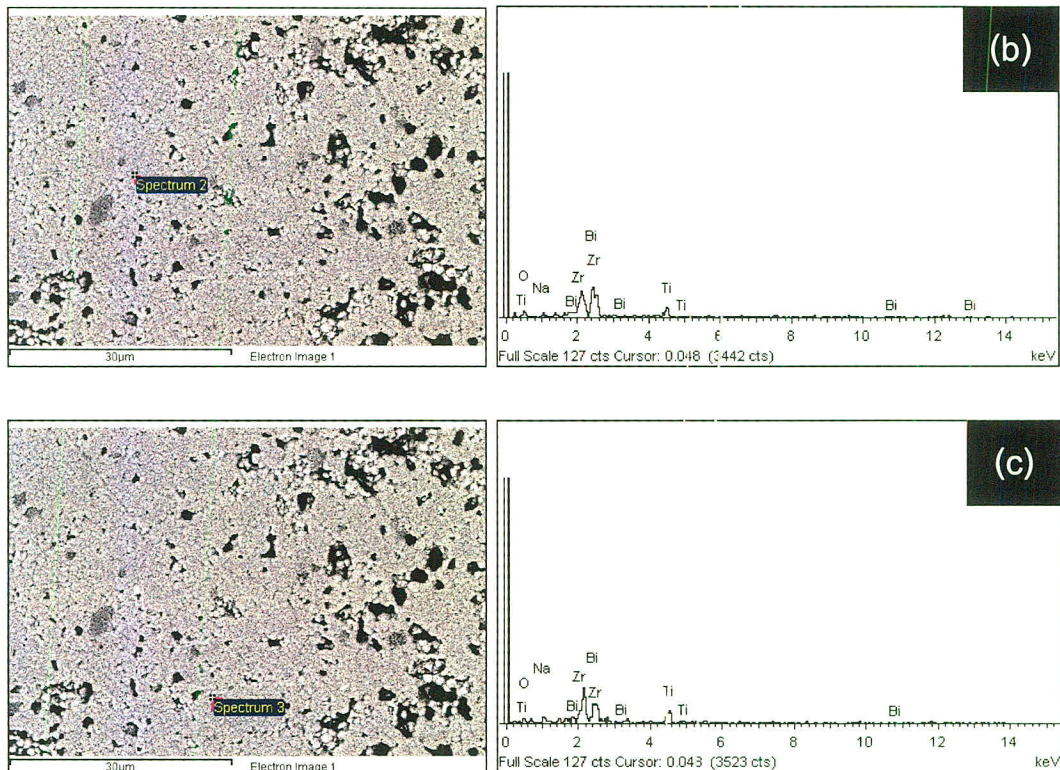
4.2.2.4 ผลการตรวจสอบองค์ประกอบทางเคมี

เมื่อถ่ายภาพ SEM เซรามิก BNTZ แล้วนำมาตรวจสอบองค์ประกอบทางเคมีด้วยเทคนิคการกระจายของรังสีเอกซ์ (EDX) ทำการทดลองถ่ายภาพในโหมด BEI เพื่อสังเกตลักษณะความเข้มสีที่แตกต่างกัน (contrast) ของภาพพบว่ามีทั้งบริเวณสีเทาและสีดำ ซึ่งจะบ่งบอกถึงธาตุที่มีเลขอะตอมต่ำและสูงในเซรามิก BNTZ ประกอบด้วยธาตุ Bi, Na, Ti, Zr และ O ซึ่งมีเลขอะตอม 83, 11, 22, 40 และ 8 ตามลำดับ จึงเลือกบริเวณที่สนใจนี้มาวิเคราะห์องค์ประกอบของธาตุต่อไป พบว่าเซรามิก BNTZ ทุกปริมาณการเติม Zr โดยส่วนใหญ่เกิดเฟสหลัก (single phase) บริเวณเมทริกซ์มีความเป็นเดียวกัน แต่บริเวณขอบเกรนปรากฏเฟสรอง (secondary phase) ของสารประกอบเชิงชั้อน เกิดขัดเจนที่ปริมาณ Zr เท่ากับ 0.60 และ 0.80 เศษส่วนโดยไม่ล สามารถยืนยันการพบการเกิดเฟสรองจากรูปแบบการเลี้ยวเบนด้วยรังสีเอกซ์ ผลการวิเคราะห์ EDX ของเซรามิก BNTZ ที่เติมปริมาณ Zr ร้อยละ 0.20, 0.35, 0.40, 0.45, 0.60 และ 0.80 โดยไม่ล จึงจะอธิบายรายละเอียดการเลือกพื้นผิวที่ทำการวิเคราะห์ และตรวจสอบองค์ประกอบของธาตุต่อไปดังนี้

ผลวิเคราะห์ EDX ของเซรามิก BNTZ ปริมาณ Zr ที่ 0.20 เศษส่วนโดยไม่ล

ในการวิเคราะห์ EDX ของเซรามิก BNTZ ปริมาณ Zr ที่ 0.20 เศษส่วนโดยไม่ล ผิวชิ้นงานมีรูพรุนค่อนข้างมาก ได้เลือกพิจารณาสามบริเวณ คือ บริเวณเฟสสีเทา (Spectrum 1) บริเวณขอบเกรน (Spectrum 2) และ ภายในเกรน (Spectrum 3) นั้นบริเวณพื้นผิวมีความเป็นเฟสเดียวกัน มีบริเวณเป็นเฟสอื่นจากการวิเคราะห์ที่ spectrum 1 พบว่า เป็นมีปริมาณของธาตุ Zr สูงขึ้น คาดว่าเป็นเฟสของเซอร์โคเนต (ZrO_2) จาก spectrum 2 และ 3 นั้นพบองค์ประกอบธาตุสารตั้งต้นของเซรามิก BNTZ นั่นเอง





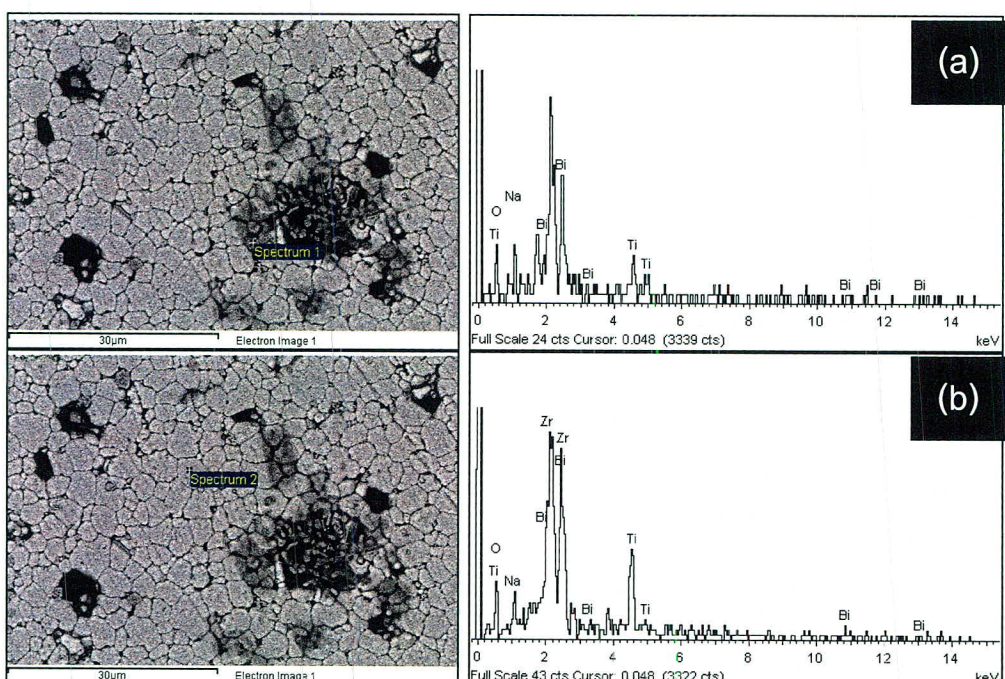
รูป 4.16 ภาพถ่าย SEM และการวิเคราะห์ EDX บริเวณ (a) Spectrum 1 (b) Spectrum 2 และ (c) Spectrum 3 ของเซรามิก BNTZ ที่ปริมาณ Zr เท่ากับ 0.20 เศษส่วนโดยโมล

ตาราง 4.5 องค์ประกอบของธาตุในเซรามิก BNTZ เมื่อ Zr เท่ากับ 0.20 เศษส่วนโดยโมล

Element	Spectrum 1		Spectrum 2		Spectrum 3	
	%Wt	At%	%Wt	At%	%Wt	At%
Bi M	-	-	64.81	20.76	45.65	11.49
Na K	-	-	1.87	5.44	6.57	15.03
Ti K	-	-	14.08	19.68	25.86	28.39
Zr L	98.42	91.60	7.66	5.62	9.96	5.74
OK	1.58	8.40	11.59	48.50	11.97	39.36

ผลวิเคราะห์ EDX ของเซรามิก BNTZ ที่ปริมาณ Zr เท่ากับ 0.35 เศษส่วนโดยโมล

ในการวิเคราะห์ EDX ของเซรามิก BNTZ ปริมาณ Zr เท่ากับ 0.35 โดยโมล จากภาพ SEM พบว่าโดยรวมเฟสหลัก คือ องค์ประกอบของสาร BNTZ บริเวณภายในกรน (Spectrum 2) และเกิดสารประกอบเชิงชั้นขึ้นจาก Spectrum 1 สันนิษฐานว่าเป็นสารประกอบบิสมัทไทดียมไทเทเนต (BNT) ที่ปฏิกริยาไม่สมบูรณ์ของระบบ หรือเกิดจากอุณหภูมิที่ใช้ในการเผาซินเทอร์



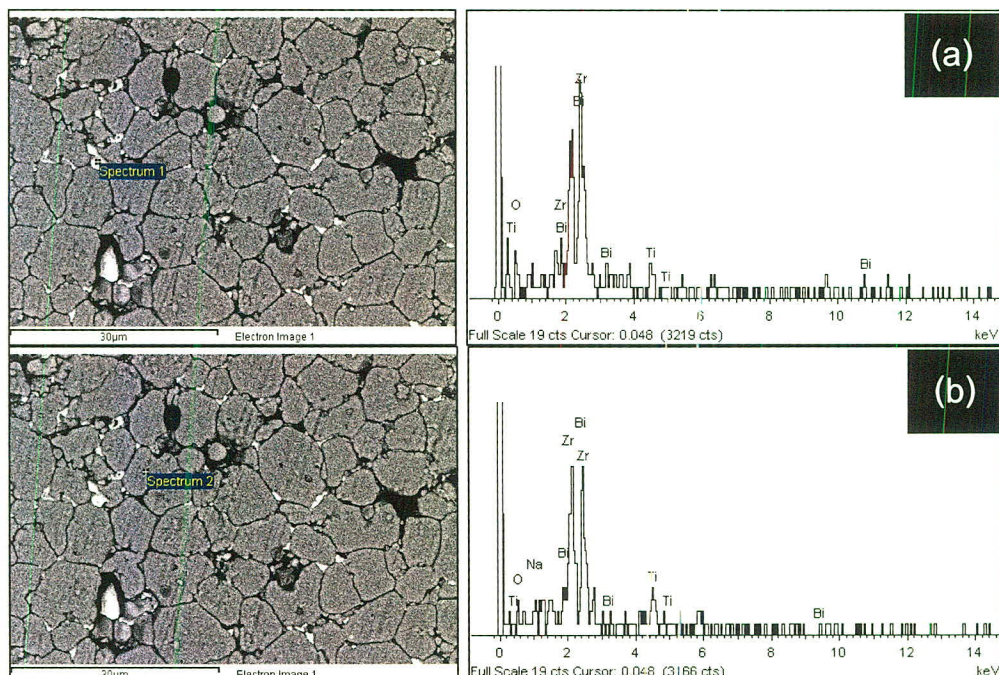
รูป 4.17 ภาพถ่าย SEM และการวิเคราะห์ EDX บริเวณ (a) Spectrum 1 และ (b) Spectrum 2 ของเซรามิก BNTZ ที่ปริมาณ Zr เท่ากับ 0.35 เศษส่วนโดยโมล

ตาราง 4.6 องค์ประกอบของธาตุในเซรามิก BNTZ เมื่อ Zr เท่ากับ 0.35 เศษส่วนโดยโมล

Element	Spectrum 1		Spectrum 2	
	%Wt	At%	%Wt	At%
Bi M	54.22	10.78	51.24	12.56
Na K	9.14	16.52	2.84	6.33
Ti K	12.99	11.27	18.67	19.97
Zr L	-	-	9.91	5.57
O K	23.65	61.43	17.35	55.57

ผลวิเคราะห์ EDX ของ BNTZ เซรามิก ที่ปริมาณ Zr เท่ากับ 0.40 เศษส่วนโดยโมล

ในการวิเคราะห์ EDX ของ BNTZ เซรามิก ที่ปริมาณ Zr เท่ากับ 0.40 เศษส่วนโดยโมล จากภาพถ่าย SEM พบร้าจาก Spectrum 1 เลือกวิเคราะห์เฟสสีขาวเทrogตัวขึ้นบริเวณขอบเกรนของเฟสหลัก สันนิษฐานว่าเป็นเฟสที่มีส่วนประกอบของธาตุ Bi, Ti, Zr และ O ส่วน Spectrum 2 วิเคราะห์บริเวณภายในเกรนซึ่งถือว่าเป็นเฟสหลัก และมีองค์ประกอบของธาตุเป็น BNTZ



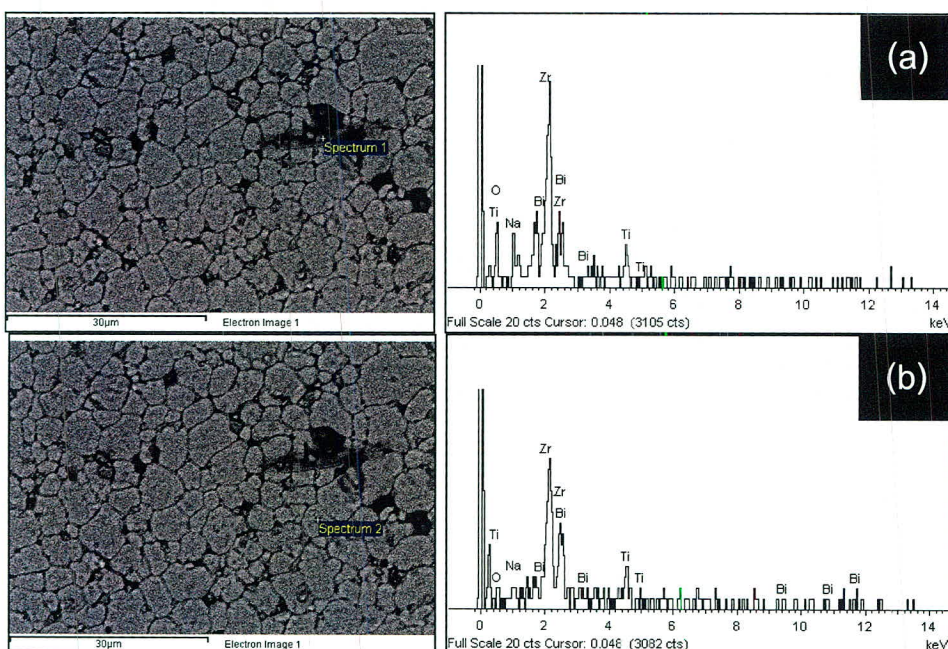
รูป 4.18 ภาพถ่าย SEM และการวิเคราะห์ EDX บริเวณ (a) Spectrum 1 และ (b) Spectrum 2 ของ BNTZ ที่ปริมาณ Zr เท่ากับ 0.40 เศษส่วนโดยโมล

ตาราง 4.7 องค์ประกอบของธาตุในเซรามิก BNTZ เมื่อ Zr เท่ากับ 0.40 เศษส่วนโดยโมล

Element	Spectrum 1		Spectrum 2	
	%Wt	At%	%Wt	At%
Bi M	71.40	23.12	59.00	15.70
Na K	-	-	3.38	8.19
Ti K	6.20	8.76	9.34	10.84
Zr L	7.64	5.67	11.51	7.02
O K	14.77	62.46	16.76	58.25

ผลวิเคราะห์ EDX ของ BNTZ เซรามิก ที่ปริมาณ Zr เท่ากับ 0.45 เศษส่วนโดยโมล

ในการวิเคราะห์ EDX ของ BNTZ เซรามิก ที่ปริมาณ Zr เท่ากับ 0.45 เศษส่วนโดยโมล จากภาพถ่าย SEM พบร่องรอยของ Zr ที่เป็นฟลักซ์ที่ทำให้เกิดการแตกตัวของโครงสร้างภายใน แต่ไม่ได้รบกวนการเติบโตของไครทัล แสดงถึงว่า Zr ไม่ได้รบกวนการเติบโตของไครทัล แต่เพียงแค่ทำให้เกิดการแตกตัวของโครงสร้างภายในเท่านั้น ไม่ได้ทำให้เกิดการแตกตัวของไครทัล



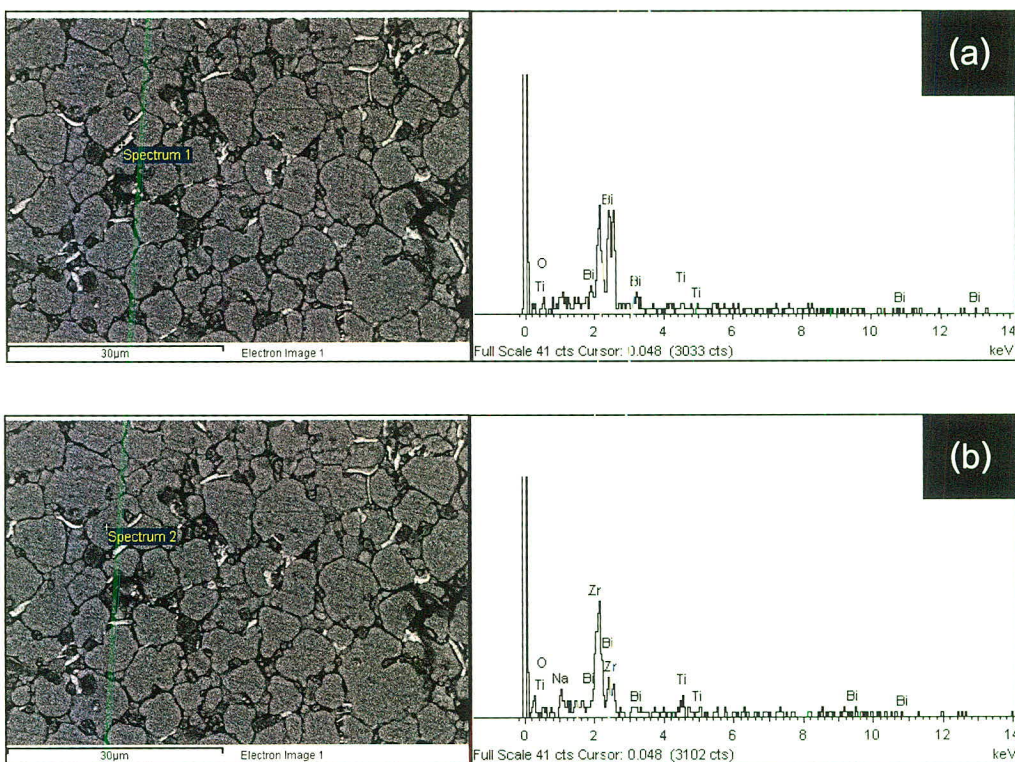
รูป 4.19 ภาพถ่าย SEM และการวิเคราะห์ EDX บริเวณ (a) Spectrum 1 และ (b) Spectrum 2 ของเซรามิก BNTZ ที่ปริมาณ Zr เท่ากับ 0.45 เศษส่วนโดยโมล

ตาราง 4.8 องค์ประกอบของธาตุในเซรามิก BNTZ เมื่อ Zr เท่ากับ 0.45 เศษส่วนโดยโมล

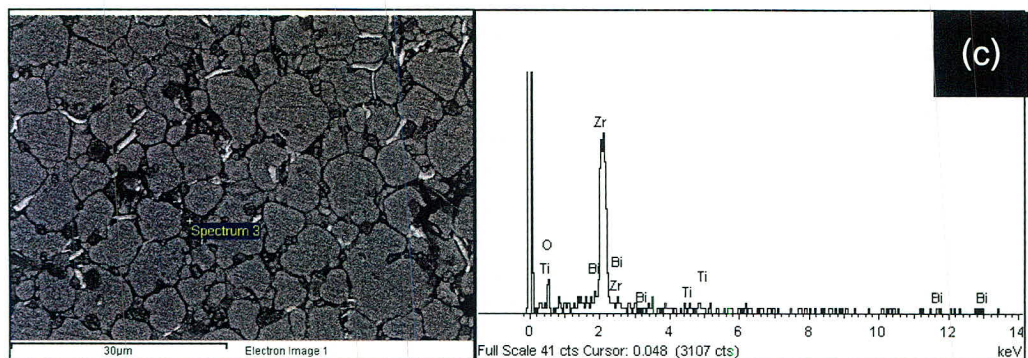
Element	Spectrum 1		Spectrum 2	
	%Wt	At%	%Wt	At%
Bi M	39.23	7.00	53.44	13.60
Na K	7.58	12.30	0.29	0.67
Ti K	10.38	8.08	13.59	15.09
Zr L	14.12	5.77	13.86	8.08
OK	28.68	66.85	18.82	62.56

ผลวิเคราะห์ EDX ของเซรามิก BNTZ ที่ปริมาณ Zr เท่ากับ 0.60 เศษส่วนโดยโมล

ในการวิเคราะห์ EDX ของ BNTZ เซรามิก ที่ปริมาณ Zr เท่ากับ 0.60 เศษส่วนโดยโมล จากภาพ SEM ดังรูป 4.20 พบร่วมโครงสร้างทางจุลภาคเกิดรากุหลาบชานิด (heterogeneous microstructure) ในเฟสหลัก จาก Spectrum 2 พบร่วมมีองค์ประกอบของธาตุเป็นสาร BNTZ ส่วน Spectrum 1 และ Spectrum 3 ยังคงเป็นเฟสผึ้งใน (inclusion) ที่มีส่วนประกอบของธาตุที่ไม่ทำปฏิกิริยา กับเฟสหลัก ถ้าเฟสผึ้งในมีขนาดเล็กจะเคลื่อนที่ได้ดีไปตามขอบเกรน พบร่วมในเฟสสีขาวมีองค์ประกอบของธาตุ Bi, Ti และ O ส่วนเฟสผึ้งในขนาดใหญ่ไม่ค่อยเคลื่อนที่และถูกตั่งอยู่บริเวณขอบเกรน ดังเกรนขนาดเล็กสีดำซึ่งมีองค์ประกอบของธาตุ Bi, Ti, Zr และ O



รูป 4.20 ภาพถ่าย SEM และการวิเคราะห์ EDX บริเวณ (a) Spectrum 1 (b) Spectrum 2 ของ BNTZ ที่ปริมาณ Zr เท่ากับ 0.60 เศษส่วนโดยโมล



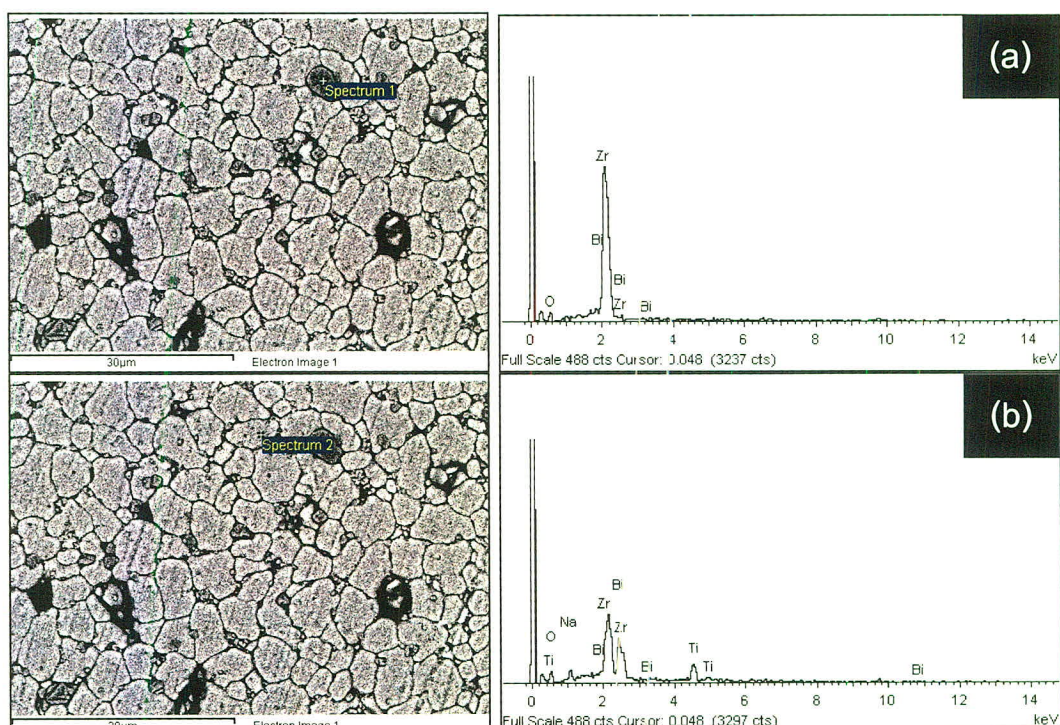
รูป 4.21 ภาพถ่าย SEM และการวิเคราะห์ EDX บริเวณ(a) Spectrum 1 (b) Spectrum 2 และ(c) Spectrum 3 ของเซรามิก BNTZ ที่ปริมาณ Zr เท่ากับ 0.60 เศษส่วนโดยโมล

ตาราง 4.9 องค์ประกอบของธาตุของเซรามิก BNTZ เมื่อ Zr เท่ากับ 0.60 เศษส่วนโดยโมล

Element	Spectrum 1		Spectrum 2		Spectrum 3	
	%Wt	At%	%Wt	At%	%Wt	At%
Bi M	88.56	41.04	45.65	16.38	2.47	0.46
Na K	-	-	5.62	18.34	-	-
Ti K	2.55	5.15	11.99	18.77	0.22	0.18
Zr L	-	-	32.52	26.73	69.00	29.76
OK	8.89	53.81	4.22	19.78	28.31	69.60

ผลวิเคราะห์ EDX ของเซรามิก BNTZ ปริมาณ Zr เท่ากับ 0.80 เศษส่วนโดยโมล

ในการวิเคราะห์ EDX ของเซรามิก BNTZ ปริมาณ Zr เท่ากับ 0.80 เศษส่วนโดยโมล ภาพ SEM ที่ Spectrum 1 เลือกวิเคราะห์เกรนขนาดเล็กสีดำซึ่งเป็นเฟสผงในที่ตั้งบริเวณขอบเกรน คล้ายกับกรณีการเติมปริมาณ Zr เท่ากับ 0.60 เศษส่วนโดยโมล แต่องค์ประกอบของธาตุเป็น Bi, Zr และ O จึงคาดว่าเป็นสารบิสมัทเชอร์โคเนียมออกไซด์ ส่วน Spectrum 2 วิเคราะห์บริเวณภายในเกรนซึ่งถือว่าเป็นเฟสหลักซึ่งมีองค์ประกอบของธาตุเป็นสาร BNTZ



รูป 4.22 ภาพถ่าย SEM และการวิเคราะห์ EDX บริเวณ (a) Spectrum 1 และ (b) Spectrum 2 ของเซรามิก BNTZ ที่ปริมาณ Zr เท่ากับ 0.80 เศษส่วนโดยโมล

ตาราง 4.10 องค์ประกอบของธาตุในเซรามิก BNTZ เมื่อ Zr เท่ากับ 0.80 เศษส่วนโดยไมล

Element	Spectrum 1		Spectrum 2	
	%Wt	At%	%Wt	At%
Bi M	6.24	1.71	54.10	15.73
Na K	-	-	2.88	7.61
Ti K	-	-	15.14	19.21
Zr L	80.51	50.70	15.46	10.30
O K	13.25	47.59	12.42	47.15

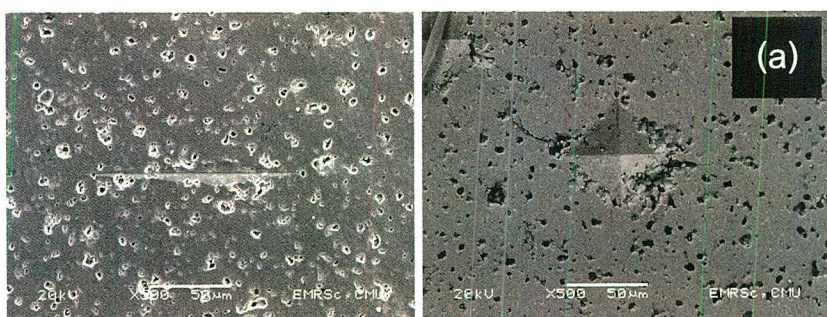
4.2.3 การศึกษาสมบัติของเซรามิก $\text{Bi}_{0.5}\text{Na}_{0.5}\text{Ti}_{1-x}\text{Zr}_x\text{O}_3$ ($0 < x < 1$)

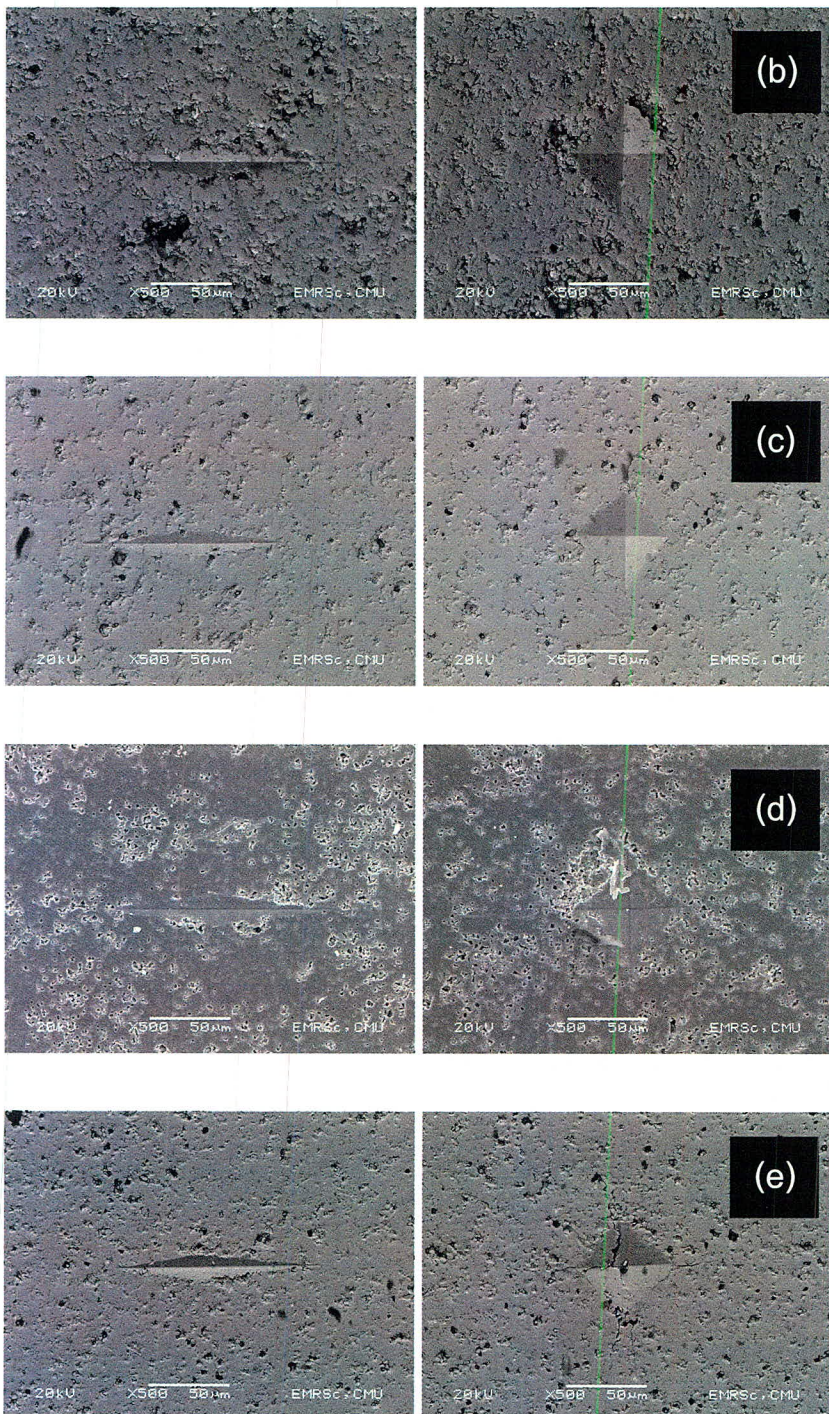
4.2.3.1 ผลการตรวจสอบสมบัติเชิงกลของเซรามิก

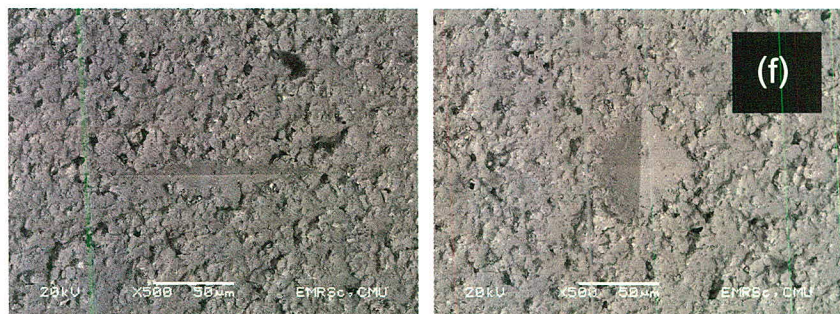
ผลการศึกษาสมบัติเชิงกลของเซรามิก BNTZ ด้วยเทคโนโลยีการทดสอบแบบไม่ทำลายชิ้นงาน (nondestructive testing) คือ การทดสอบความแข็งด้วยการหักดัดแบบบุปเพล์ และวิกเกอร์ส (Knoop and Vickers hardness) ทำให้ทราบขนาดของรอยกด จึงสามารถคำนวณหาค่าความแข็งแบบบุปเพล์ (HK) ค่าความแข็งแบบวิกเกอร์ส (HV) ค่ามอดูลัสของยัง (Young's modulus; E) และค่าความต้านทานต่อรอยแตก (fracture toughness; K_{IC}) ซึ่งได้ผลการทดลองดังต่อไปนี้

ค่าความแข็งแบบบุปเพล์และวิกเกอร์ส

เมื่อนำชิ้นงานเซรามิก BNTZ มาทดสอบความแข็งระดับจุลภาคแบบบุปเพล์และวิกเกอร์สโดยการใช้แรงกด 500 กรัม และ 1000 กรัม ตามลำดับ ทำให้ได้รอยกดดังรูป 4.23 โดยมีรูปร่างแบบสี่เหลี่ยมขนมเปียกปูนและพีระมิดฐานสี่เหลี่ยมตามลำดับ พบร่องรอยกดของเซรามิก BNTZ บางอัตราส่วนรูปร่างของรอยกดไม่สมบูรณ์ดังรูปร่างมาตรฐานที่ควรจะเป็น เนื่องจากหลายปัจจัย เช่น การขัดพื้นผิวชิ้นงานไม่เรียบให้ได้ระนาบ รูปฐานบันพิริชิ่นงาน และน้ำหนัก (load) ที่กดลงบนชิ้นงานไม่เหมาะสม ในการทดลองเมื่อให้แรงกดบนผิวชิ้นงาน พบร่องรอยกดที่ปรากฏนั้นมีมองผ่านกล้องจุลทรรศน์แสง (OM) นั้นไม่สามารถมองเห็นขอบรอยกดได้ชัดเจน จึงกำหนดขอบเขตของรอยกดไม่ถูกต้องแม่นยำ ทำให้ค่าสมบัติเชิงกลที่ได้อาจจะเกิดความผิดพลาดสูง (ตาราง 4.11) ดังนั้นในงานวิจัยนี้ใช้ผลการทดลองสมบัติเชิงกล โดยการหาขนาดรอยกดจากภาพถ่ายจากกล้องจุลทรรศน์อิเล็กตรอน (SEM) (ตาราง 4.11)

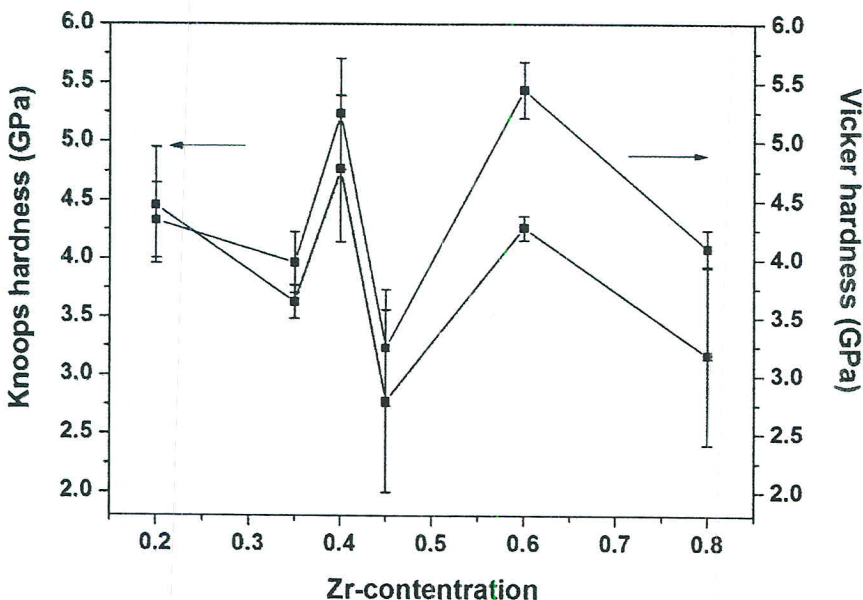






รูป 4.23 รอยกดแบบนูปและวิกเกอร์สของเซรามิก BNTZ เมื่อปริมาณการเติม Zr ตั้งแต่ (a) 0.20,(b) 0.35, (c) 0.40, (d) 0.45, (e) 0.60 และ (f) 0.80 เศษส่วนโดยไมล

จากผลการทดลองดังรูป 4.24 เป็นกราฟความสัมพันธ์ระหว่างค่าความแข็งและปริมาณการเติม Zr ของเซรามิก BNTZ สังเกตว่าค่าความแข็งแบบนูปและแบบบิกเกอร์สมมีแนวโน้มในทิศทางเดียวกัน ที่ไม่ขึ้นกับปริมาณการเติม Zr โดยค่าความแข็งแบบนูปมีค่าในช่วง 2.78 – 4.76 GPa ส่วนค่าความแข็งแบบบิกเกอร์มีค่าในช่วง 3.24 – 5.24 GPa ค่าโดยมีค่าความแข็งต่ำสุดและค่าความแข็งสูงสุดที่ปริมาณการเติม Zr เท่ากับ 0.45 และ 0.40 เศษส่วนโดยไมล ตามลำดับ ซึ่งปัจจัยที่ทำให้ค่าความแข็งของเซรามิก BNTZ ต่างกัน คือ รูปุ่นที่หลงเหลืออยู่ (residual porosity) ซึ่งเป็นข้อบกพร่องที่เกิดขึ้นเสมอระหว่างการเผาซินเทอร์ของชิ้นงาน หรือเกิดขึ้นจากซ่องว่างระหว่างอนุภาค (particle) ตอนขึ้นรูปผง สังเกตได้ชัดเจนจากการถ่าย SEM ดังรูป 4.23 (d) พื้นผิวของเซรามิก BNTZ ที่ปริมาณการเติม Zr เท่ากับ 0.45 เศษส่วนโดยไมลจะเกิดรูปุ่นมากทั้งบริเวณขอบเกรนและภายในเกรน จึงทำให้มีค่าความแข็งต่ำสุด แต่ในทางกลับกับจากภาพถ่าย SEM ดังรูป 4.23 (c) พบร่องรอยของเซรามิก BNTZ ที่ปริมาณการเติม Zr เท่ากับ 0.40 เศษส่วนโดยไมลจะเกิดรูปุ่นน้อย สันนิษฐานว่าปริมาณเติม Zr ในอัตราส่วนนี้มีความเหมาะสมที่ทำให้เกรนมีขนาดใหญ่และมีค่าความแข็งสูงสุด

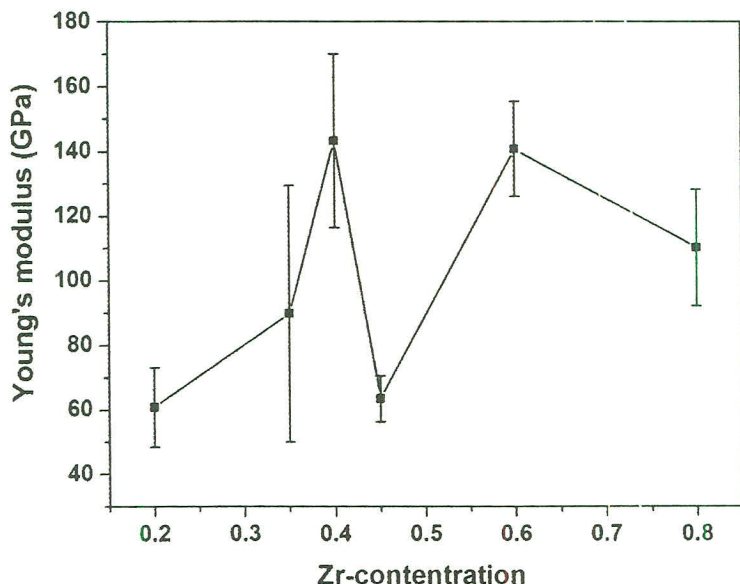


รูป 4.24 ค่าความแข็งแบบนูป และแบบวิกเกอร์สของเซรามิก BNTZ

ค่ามอดูลัสของยัง

เมื่อทำการทดสอบค่าความแข็งแบบนูปด้วยน้ำหนัก 500 กรัม เกิดรอยครุ่งร่องสีเหลี่ยมนวนเปียกปูนขึ้น จึงหาค่าอัตราส่วนระหว่างเส้นทะแยงมุมของหัวกดด้านลับกับด้านยาว (b'/a') ของรอยกดเซรามิก BNTZ มาเปรียบเทียบกับอัตราส่วนระหว่างเส้นทะแยงมุมของหัวกดด้านลับกับด้านยาวของหัวกดนูป ($b/a = 0.1406$) แล้วนำค่าความแข็งแบบนูป แทนค่าในสมการเพื่อหาค่ามอดูลัสของยัง จากผลการทดลองดังรูป 2.23 พบร่วมกับค่ามอดูลัสของยังไม่ขึ้นกับปริมาณ Zr ที่เพิ่มขึ้น โดยมีค่าอยู่ระหว่าง 60-143 GPa ที่ปริมาณ Zr เท่ากับ 0.40 เศษส่วนโดยโมล เป็นค่ามอดูลัสของยังที่สูงสุด และค่ามอดูลัสต่ำสุดที่ปริมาณ Zr เท่ากับ 0.20 เศษส่วนโดยโมล เนื่องจากค่ามอดูลัสของยังนั้นขึ้นกับค่าความแข็งแบบนูป (HK) และอัตราส่วนระหว่างเส้นทะแยงมุมของหัวกดด้านลับกับด้านยาว (b'/a') ทำให้ค่ามอดูลัสของยังมีแนวโน้มเช่นเดียวกับค่าความแข็งของนูป ในการทดลองนี้รอยกดแบบนูปของเซรามิก BNTZ มีลักษณะไม่สมมาตร จึงทำให้อัตราส่วน b'/a' บางค่ามากกว่าอัตราส่วน b/a ของหัวกดนูป เกิดจากความหนาแน่น และปริมาณรูพรุนของชิ้นงาน ทำให้ค่ามอดูลัสของยังที่ได้จากการ

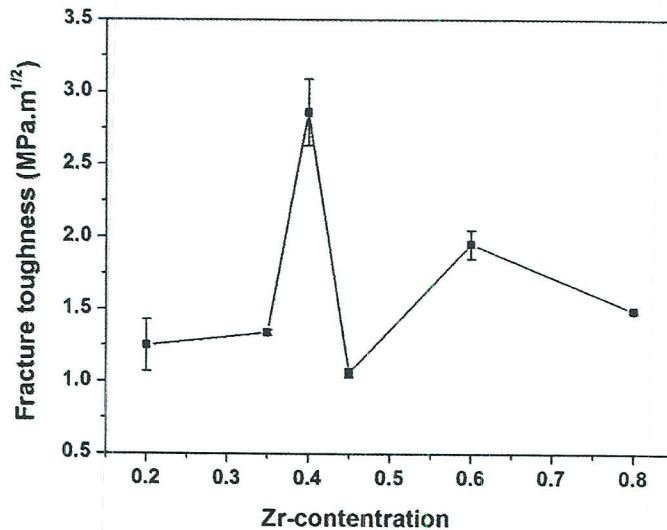
ทดลองมีค่าความคลาดเคลื่อนสูง ควรทำการทดลองกดหอยบริเวณบนพื้นผิวชิ้นงาน และเลือกพื้นผิวที่เรียบไม่มีรูพรุนหรือเกิดรูพรุนน้อย เพื่อความถูกต้องแม่นยำของผลการทดลองที่ได้



รูป 4.25 ค่ามอดูลัสของยังเซรามิก BNTZ

ค่าความต้านทานต่อการแตกหัก

เมื่อทำการทดสอบค่าความแข็งแบบวิกเกอร์ด้วยน้ำหนัก 1000 กรัมแล้ว เกิดรอยกดลักษณะพิรamideฐานสีเหลืองขึ้น เมื่อน้ำหนักที่ให้มากพอเข้าไปที่จะทำให้เกิดรอยแตกบริเวณมุมของรอยกด วัดค่าความยาวของรอยแตก แล้วนำค่าความแข็งแบบวิกเกอร์สค่ามอดูลัสของยัง และความยาวรอยแตกแทนค่าในสมการ ผลการทดลองพบว่า ค่าความต้านทานต่อการแตกหักของเซรามิก BNTZ ดังรูป 4.26 มีแนวโน้มไม่ขึ้นกับปริมาณ Zr ที่เพิ่มขึ้น โดยมีค่าอยู่ในช่วง $1.34\text{-}2.86 \text{ MPa.m}^{1/2}$ ที่ปริมาณ Zr เท่ากับ 0.40 เศษส่วนโดยโมล มีค่าความต้านทานต่อการแตกหักสูงสุด และที่ปริมาณ Zr ร้อยละ 0.45 มีค่าความต้านทานต่อการแตกหักต่ำที่สุด



รูป 4.26 ค่าความต้านทานต่อแตกหักของเซรามิก BNTZ

สมบัติเชิงกลของเซรามิก BNTZ ไม่ว่าจะเป็นค่าความแข็งแบบนูปและวิกเกอร์ส ค่ามอดูลัสของยัง และค่าความต้านทานต่อการแตกหักนั้นขึ้นกับค่าความหนาแน่น ขนาดของเกรน หรือข้อบกพร่อง (defect) ที่เกิดขึ้นภายใน ซึ่งจะแสดงความสัมพันธ์ระหว่างค่าความหนาแน่น และขนาดเกรน ที่มีผลต่อสมบัติเชิงกล ในตาราง 4.12 ซึ่งสามารถสังเกตความสัมพันธ์เซรามิก BNTZ พบร่วมีความสัมพันธ์กับอย่างชัดเจน เช่นที่ปริมาณ Zr ร้อยละ 0.40 โดยโมลนั้น ค่าความหนาแน่นสูง เกรนมีขนาดใหญ่ ทำให้สมบัติเชิงกลมีค่าสูงสุดอย่างเด่นชัด

จากการวิจัยสมบัติเชิงกลของวัสดุเพียงชิ้นเล็กที่ริกที่นำมาใช้งาน อย่างเซรามิก PZT และ PLZT นั้นพบว่า มีค่าความแข็ง และความต้านทานต่อรอยแตกประมาณ 3-5 GPa และ 1.0-1.5 MPam^{1/2} ตามลำดับ เมื่อเปรียบเทียบจึงถือได้ว่าเซรามิก BNTZ เป็นเซรามิกที่มีคุณสมบัติเชิงกลที่ดี และสามารถการประยุกต์นำไปใช้งานได้เช่นกัน

ตาราง 4.11 ความสัมพันธ์ระหว่าง ความหนาแน่น และขนาดเกรนที่มีผลต่อสมบัติเชิงกลจากกล้องจุลทรรศน์แสง (OM)

$\text{Bi}_{0.5}\text{Na}_{0.5}\text{Ti}_{1-x}\text{Zr}_x\text{O}_3$	Density (g/cm^3)	Grain size (μm)	Mechanical property			
			H_K	H_V	E (GPa)	K_{IC} ($\text{MPa m}^{1/2}$)
0.20	5.17 ± 0.04	0.78 ± 0.10	4.13 ± 0.54	4.55 ± 0.18	186	2.00
0.35	6.01 ± 0.02	2.63 ± 0.17	3.57 ± 0.54	5.31 ± 0.66	125	1.70
0.40	5.92 ± 0.02	5.37 ± 0.47	4.18 ± 0.19	5.62 ± 0.07	209	2.24
0.45	5.96 ± 0.05	4.18 ± 0.29	2.74 ± 0.55	3.13 ± 0.31	86	1.23
0.60	6.06 ± 0.02	4.77 ± 0.52	4.28 ± 0.40	5.26 ± 0.19	152	1.88
0.80	6.09 ± 0.02	4.63 ± 0.38	2.48 ± 0.49	3.70 ± 0.47	71	1.16

ตาราง 4.12 ความสัมพันธ์ระหว่างความหนาแน่น และขนาดเกรนที่มีผลต่อสมบัติเชิงกลจากกล้องจุลทรรศน์อิเล็กตรอนแบบส่องการดู (SEM)

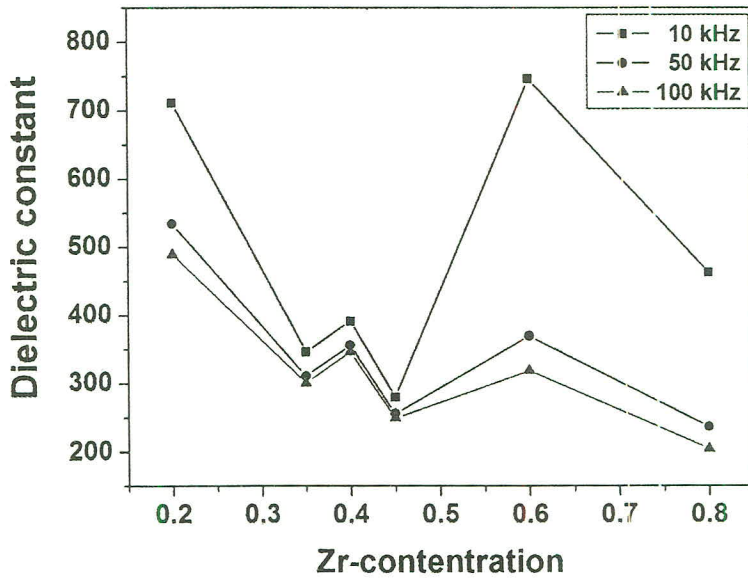
$\text{Bi}_{0.5}\text{Na}_{0.5}\text{Ti}_{1-x}\text{Zr}_x\text{O}_3$	Density (g/cm^3)	Grain size (μm)	Mechanical property			
			H_K	H_V	E(GPa)	K_{IC} ($\text{MPa.m}^{1/2}$)
0.20	5.17 ± 0.04	0.78 ± 0.10	4.45 ± 0.49	4.33 ± 0.32	60	1.25
0.35	6.01 ± 0.02	2.63 ± 0.17	3.63 ± 0.14	3.97 ± 0.26	89	1.34
0.40	5.92 ± 0.02	5.37 ± 0.47	4.76 ± 0.62	5.24 ± 0.47	143	2.86
0.45	5.96 ± 0.05	4.18 ± 0.29	2.78 ± 0.78	3.24 ± 0.50	63	1.06
0.60	6.06 ± 0.02	4.77 ± 0.52	4.26 ± 0.10	5.44 ± 0.24	140	1.95
0.80	6.09 ± 0.02	4.63 ± 0.38	3.17 ± 0.76	4.09 ± 0.16	110	1.49

4.2.3.2 การศึกษาสมบัติทางไฟฟ้าของเซรามิก $\text{Bi}_{0.5}\text{Na}_{0.5}\text{Ti}_{1-x}\text{Zr}_x\text{O}_3$ ($0 < x < 1$)

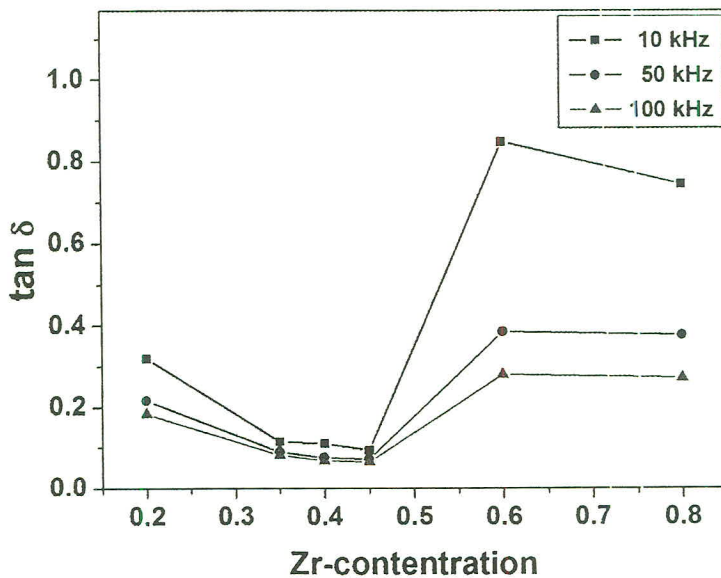
เมื่อนำเซรามิก BNTZ เมื่อ $x = 0.20, 0.35, 0.40, 0.45, 0.60$ และ 0.80 เศษส่วนโดยโมล ที่ผ่านการขัดเม็ดด้วยกระดาษทรายให้เป็นระนาบเรียบ มาตรวจสอบสมบัติโดยเล็กทริก และสมบัติการนำไฟฟ้า และสมบัติเฟอร์โรอิเล็กทริกได้ผลการทดลองต่อไปนี้

สมบัติโดยเล็กทริก

เมื่อทดลองหาค่าสมบัติโดยเล็กทริกของเซรามิก BNTZ ที่อุณหภูมิห้อง ด้วยความถี่ $10, 50$ และ 100 kHz ตามลำดับ จากผลการทดลองดังรูป 4.27 เมื่อพิจารณาความสัมพันธ์ระหว่างค่าความถี่ และค่าคงที่โดยเล็กทริก พบร่วมกันว่าความถี่สูงขึ้นมีผลทำให้ค่าคงที่โดยเล็กทริกลดลง เนื่องจากที่ความถี่สูงๆ จะเกิดการตอบสนองได้อย่างเด่นชัด โดยเฉพาะสารเฟอร์โรอิเล็กทริกที่มีเกรนขนาดใหญ่ ส่วนเมื่อพิจารณาความสัมพันธ์ระหว่างค่าคงที่โดยเล็กทริก และการเติมปริมาณ Zr ที่เพิ่มขึ้น พบร่วมกันว่าค่าคงที่โดยเล็กทริกมีแนวโน้มไม่เปลี่ยนแปลงกับปริมาณ Zr โดยที่ปริมาณ Zr อยู่ระดับ 0.45 โดยโมล มีค่าคงที่โดยเล็กทริกต่ำสุด และค่าแฟกเตอร์การสูญเสียโดยเล็กทริกต่ำ ส่วนที่ปริมาณ Zr เพิ่มขึ้น 0.60 เศษส่วนโดยโมล มีค่าคงที่โดยเล็กทริกสูงสุด และค่าแฟกเตอร์การสูญเสียโดยเล็กทริกสูงมากด้วย ซึ่งค่าแฟกเตอร์การสูญเสียโดยเล็กทริกที่สูง นี้น่าเป็นผลมาจากการสูญเสียประจุไฟฟ้าที่ให้เข้าไปมากขึ้น จึงเป็นผลให้เซรามิกมีลักษณะของความเป็นตัวนำไฟฟ้ามากขึ้นเกิดการสูญเสียประจุไฟฟ้าที่ให้เข้าไปมากขึ้น ทำให้ความสามารถในการเก็บประจุไฟฟ้าลดลงตามไปด้วย จึงไม่เป็นผลดีในการที่จะนำเซรามิกที่มีค่าแฟกเตอร์การสูญเสียทางโดยเล็กทริกที่สูงไปใช้งาน โดยเมื่อพิจารณากราฟแบบการเลี้ยวเบนของรังสีเอกซ์ ภาพถ่ายโครงสร้างทางอุลตราซาวด์ และองค์ประกอบของธาตุของเซรามิก BNTZ ที่ปริมาณ Zr เพิ่มขึ้น 0.60 เศษส่วนโดยโมล เกิดขึ้นสันนิษฐานว่าเกิดจากเฟสสองของสารประกอบเชิงช้อน ระหว่างขอบเกรนส่งผลให้เกิดการเปลี่ยนแปลงของค่าคงที่โดยเล็กทริก และค่าแฟกเตอร์การสูญเสียโดยเล็กทริก



(a)



(b)

รูป 4.27 ความสัมพันธ์ระหว่าง (a) ค่าคงที่ไดอิเล็กทริก และ (b) ค่าแฟกเตอร์การสูญเสียไดอิเล็กทริกกับปริมาณการเติม Zr ในเซรามิก BNTZ

ตาราง 4.13 ค่าคงที่ไดอิเล็กทริก และค่าแฟกเตอร์การสูญเสียทางไดอิเล็กทริกของเซรามิก BNTZ ณ อุณหภูมิห้อง

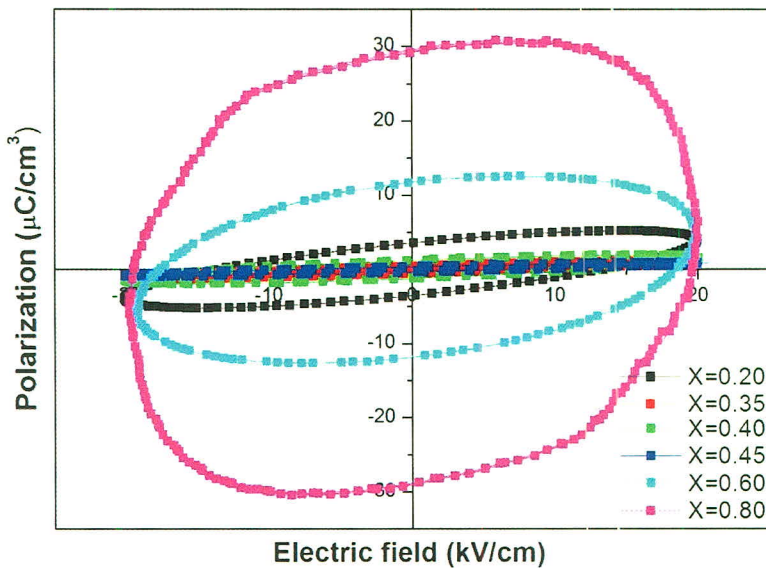
Frequency (kHz)	Zr content (% mol)	Dielectric constant (ϵ_r)	Dielectric constant ($\tan\delta$)
10	0.20	711.2132	0.3190
	0.35	346.7381	0.1136
	0.40	391.3345	0.1104
	0.45	279.9807	0.0935
	0.60	745.9804	0.8481
	0.80	462.4834	0.7444
50	0.20	535.1314	0.2173
	0.35	311.5834	0.0902
	0.40	357.1906	0.0767
	0.45	256.6278	0.0724
	0.60	370.3942	0.3861
	0.80	236.9968	0.3764
100	0.20	490.0243	0.1836
	0.35	300.8048	0.0813
	0.40	347.4640	0.0682
	0.45	249.7375	0.0653
	0.60	319.5125	0.2803
	0.80	204.2582	0.2709

ตาราง 4.14 สภาพต้านทานไฟฟ้า และค่าสัมประสิทธิ์การนำไฟฟ้าของเซรามิก BNTZ

Frequency (kHz)	Zr content (% mol)	Resistivity ($\Omega \cdot m$)	Conductivity ($S \cdot m^{-1}$)
10	0.20	8.0×10^{-4}	1.2×10^3
	0.35	5.8×10^{-4}	1.7×10^3
	0.40	5.0×10^{-4}	1.9×10^3
	0.45	5.9×10^{-4}	1.6×10^3
	0.60	2.0×10^{-3}	4.9×10^{-4}
	0.80	2.8×10^{-3}	3.4×10^{-4}
50	0.20	1.4×10^{-3}	6.8×10^3
	0.35	1.0×10^{-4}	9.6×10^3
	0.40	7.7×10^{-5}	1.3×10^4
	0.45	1.0×10^{-4}	9.9×10^3
	0.60	3.7×10^{-2}	2.6×10^{-3}
	0.80	5.7×10^{-2}	1.7×10^{-3}
100	0.20	6.7×10^{-5}	1.4×10^4
	0.35	4.8×10^{-5}	2.0×10^4
	0.40	3.5×10^{-5}	2.8×10^4
	0.45	4.0×10^{-4}	2.1×10^4
	0.60	1.5×10^{-2}	6.3×10^{-3}
	0.80	2.4×10^{-2}	4.2×10^{-3}

สมบัติเฟรโรอิเล็กทริก

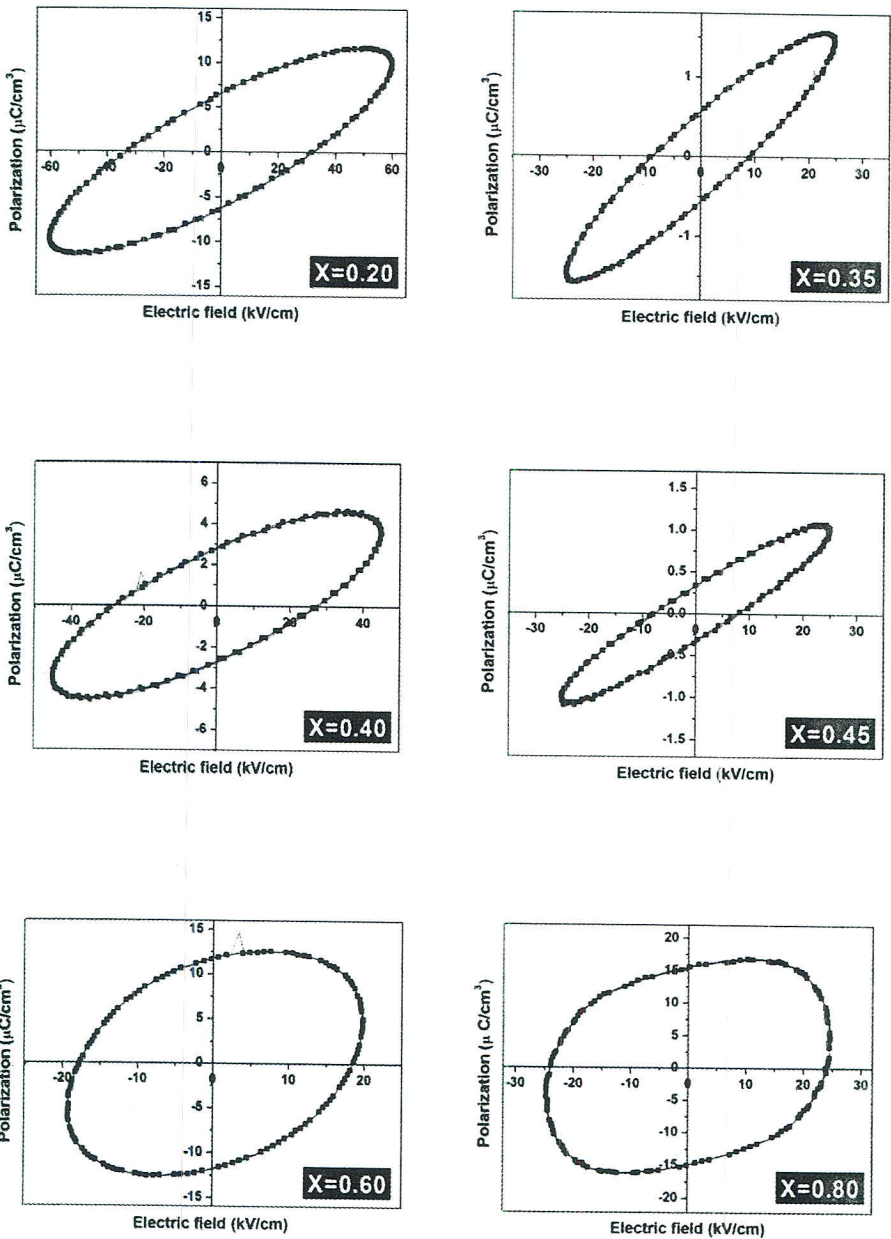
จากผลการศึกษาสมบัติเฟรโรอิเล็กทริกด้วยเครื่องมือ Sawyer-Tower circuit ที่ความถี่ 50 kHz ได้ผลการทดลองดังแสดงในรูป 4.29 ลักษณะของวงวนีสเทอเรอีซของเซรามิก BNTZ ทุกอัตราส่วนการเติมปริมาณ Zr นั้นยังไม่ค่อนข้างที่สนานไฟฟ้าเท่ากับ 20 กิโลโวลต์ และมีความเป็นเหลี่ยมของวงวนีสเทอเรอีซสัตถ์ คาดว่าเกิดจากค่าสนามไฟฟ้าที่ให้แก่เซรามิก BNTZ ที่ปริมาณ Zr ตั้งแต่ 0.20, 0.35, 0.40 มีการไหลผ่านแล้วทำให้เกิดการนำไฟฟ้าในวัสดุขึ้น แต่ที่ปริมาณ Zr ตั้งแต่ 0.45, 0.60 และ 0.80 เศษส่วนโดยไม่นั้น สังเกตว่าเกิดการเปลี่ยนแปลงขนาดของความเป็นเหลี่ยมของวงวนีสเทอเรอีซที่ใหญ่ขึ้น สันนิษฐานว่าเริ่มเกิดการโพลาไรเซชันของผังโดเมนขึ้นได้บาง เพราะค่าการนำไฟฟ้าของเซรามิก BNTZ มีลดต่ำลง หรือเนื่องจากสนามไฟฟ้าที่ให้ไม่เพียงพอที่จะทำให้เกิดการโพลาไรเซชันขึ้นที่อาจจะมีข้อบกพร่องภายในของโครงสร้างผลึก จึงทำให้สารไม่แสดงลักษณะเฟรโรอิเล็กทริก (ferroelectric) ในวงวนีสเทอเรอีซของเซรามิก BNTZ ที่ปริมาณ Zr ตั้งแต่ 0.20, 0.35, 0.40, 0.45, 0.60 และ 0.80 เศษส่วนโดยเมล (รูป 4.29) เมื่อให้ค่าสนามไฟฟ้าค่าหนึ่ง ก่อนเกิดการ break down (รูป 4.19) และนอกจากนี้เมื่อพิจารณาค่าสภาพคงเหลือของโพลาไรเซชัน (P_r) และค่าโพลาไรเซชันสูงสุด (P_m) จากตาราง 4.15 พบว่าเซรามิก BNTZ นั้นมีค่าโพลาไรเซชันที่หลงเหลือ (P_r) และมีค่าสนามลบล้างโพลาไรเซชัน (E_c) ต่ำมาก ซึ่งจากการนิวิจัยที่ผ่านมาพบว่าเซรามิก BNT ที่มีบิริสุทธิ์มีค่าสนามไฟฟ้าลบล้าง (coercive field) สูงถึง 73 kV/cm และค่าโพลาไรเซชันที่หลงเหลือ (remanent polarization) เท่ากับ 38 ($\mu C/cm^2$) และเมื่อพิจารณาค่าความเป็นเหลี่ยมของวงวนีสเทอเรอีซดังแสดงในตาราง 4.15 พบว่าเมื่อปริมาณ Zr เพิ่มขึ้น ไม่สามารถหาค่าได้ เนื่องจากลักษณะของความเป็นเหลี่ยมของวงวนีสเทอเรอีซสัตถ์มาก จึงสันนิษฐานว่าถ้าสนามไฟฟ้าที่ให้มีปริมาณมากพอ อาจจะแสดงลักษณะเฟรโรอิเล็กทริกแบบแข็ง (hard ferroelectric) เมื่อเพิ่มปริมาณ Zr เพิ่มขึ้น ซึ่งเมื่อพิจารณาร่วมกับรูปแบบการเลี้ยวเบนของรังสีเอกซ์ของเซรามิก BNTZ ที่แสดงการเปลี่ยนแปลงของโครงสร้าง อาจจะเกิดเฟสของโครงสร้างแบบรวมไปยังโครงสร้างแบบเตตระโนนอล ซึ่งอยู่ในช่วง Morphotropic Phase Boundary (MPB) เช่นเดียวกับเซรามิก $Ba(Ti,Zr)O_3$ และ $Pb(Ti,Zr)O_3$



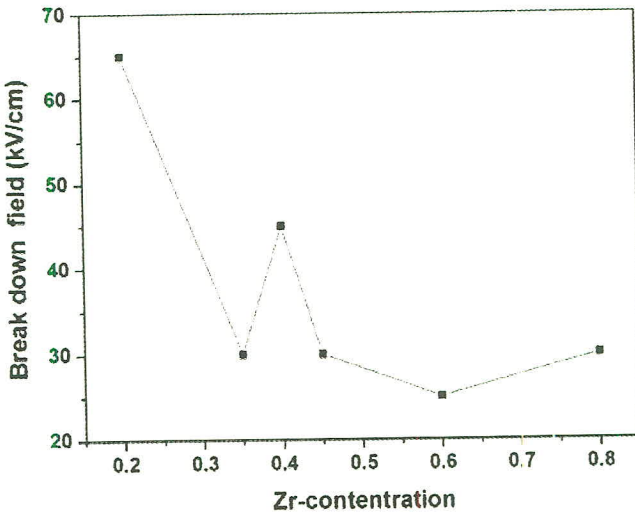
รูป 4.29 วงวนยิสเทอเรซของเซรามิก BNTZ ร้อยละ 0.20, 0.35, 0.40, 0.45, 0.60 และ 0.80 โดยมีล โดยวัดที่ค่าสนามไฟฟ้าประมาณ 20 กิโลโวลต์ โดยใช้ความถี่ 50 เฮิรตซ์

ตาราง 4.15 ค่าคงที่ที่เกี่ยวข้องกับสมบัติเฟร่ออิเล็กทริกของเซรามิก BNTZ เมื่อ $x = 0.20, 0.35, 0.40, 0.45, 0.60$ และ 0.80 เช่นส่วนโดยมีล

Zr-content (mol fraction)	P_r ($\mu\text{C}/\text{cm}^2$)	P_m ($\mu\text{C}/\text{cm}^2$)	E_c (kV/cm)	P_r/P_{\max}	E_c/E_{\max}	R_{sq}
0.20	3.69	3.86	13.27	0.955	0.66	1.08
0.35	0.45	1.22	7.86	0.36	0.39	0.41
0.40	1.28	1.68	12.5	0.76	0.62	0.81
0.45	0.35	0.86	6.99	0.40	0.34	0.43
0.60	11.588	4.99	18.50	-	0.92	-
0.80	29.34	25.33	19.57	-	0.97	-



รูป 4.30 ลักษณะของวนยิสเทอเรี้ยส์ ก่อนเกิดการ break down เมื่อให้ค่าสนามไฟฟ้าค่านึงโดยใช้ความถี่ 50 เฮิรตซ์



รูป 4.31 ค่า break down field ของเซรามิก BNTZ เมื่อปริมาณ Zr ตั้งแต่ 0.20, 0.35, 0.40, 0.45, 0.60 และ 0.80 เศษส่วนโดยไมล

4.2.3.3 การวิเคราะห์โครงสร้างผลึกของผง BNTZ โดยวิธีเรย์ทเวลด์

การวิเคราะห์โครงสร้างผลึกโดยวิธี Rietveld เริ่มจากการสร้างแบบจำลอง (model) โครงสร้างผลึก โดยอาศัยข้อมูลที่ได้จากการวิจัยก่อนหน้านี้ ซึ่งพบว่าวัสดุ BNT มีโครงสร้างผลึก เป็นแบบ Rhombohedral ดังนั้น การเติม Zr ลงใน BNT จึงอาจจะคาดเดาได้ก่อนว่ามีโครงสร้าง ผลึกที่คล้ายคลึงกันแต่อาจจะมีการเปลี่ยนแปลงในเรื่องของขนาดของหน่วยเซลล์ (unit cell) รูป 4.32 แสดงโครงสร้างผลึกตั้งต้นสำหรับการทำ Rietveld refinement

จากการอาศัยแบบจำลองตั้งต้นดังกล่าว และใช้โปรแกรม Powder Cell [41] ในการทดสอบ fit แผนภาพเลี้ยวเบนของรังสีเอกซ์ ดังแสดงในรูป ถึงรูป โดยสัญลักษณ์ + ซึ่งเป็นสีแดงแสดงถึงข้อมูลจริงที่ได้จากเครื่อง X-ray diffractometer ส่วนเส้นทึบสีดำเป็นภาพที่สร้างขึ้นเพื่อเลียนแบบข้อมูลจริง โดยในการเลียนแบบนี้ ได้มีการปรับตัวแปร (parameter) ต่างๆ เช่น ความยาวแลตทิซ (lattice parameter) มุนระห่วงแกน ความกว้างของพีค รูปร่างของพีคและตำแหน่งของอะตอม เป็นต้น โดยตัวแปรเหล่านี้ จะมีการเปลี่ยนแปลงทุกครั้งที่มีการใช้โปรแกรม และเปลี่ยนตัวแปรอย่างน้อยหนึ่งตัว สำหรับกราฟจากแบบจำลองที่ได้ในการวิจัยนี้ ได้มีการปรับตัวแปรจนกระทั่งมี ความแตกต่างระหว่าง

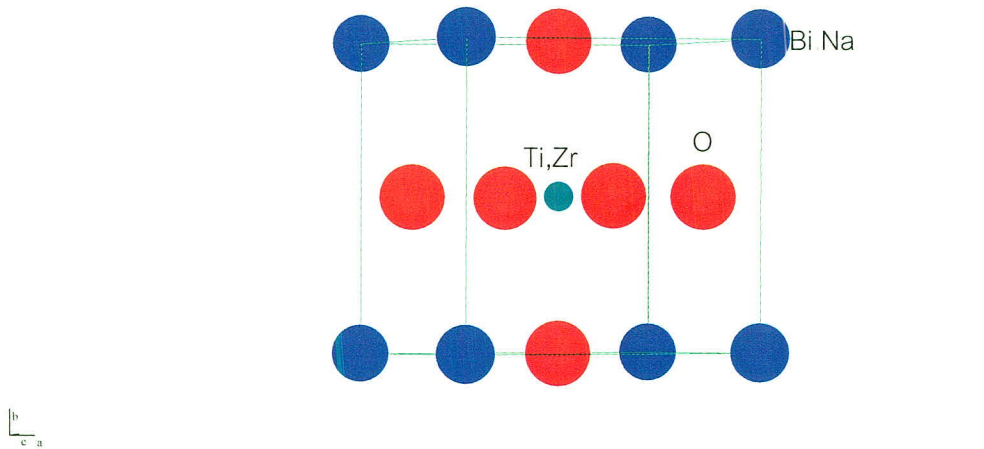
แบบจำลองและข้อมูลจริงน้อยที่สุด ซึ่งในรูปได้ถูกแสดงโดยกราฟสีเขียวซึ่ง แสดงให้เห็นความแตกต่าง ดังกล่าว นอกจากนี้ ความใกล้เคียงในการ fit ได้ถูกแสดงไว้โดยค่า R_p ซึ่งแสดงในตาราง 4.16 พร้อม ทั้งค่าความยาวแกนและมุนระหว่างแกนของโครงสร้างผลึกของสารประกอบ BNTZ ที่ปริมาณ Zr ต่างๆ กัน

ตาราง 4.16 สรุปผลการวิเคราะห์โครงสร้างผลึกโดยวิธี Rietveld โดยใช้ Space group R3m ของผง $\text{Bi}_{0.5}\text{Na}_{0.5}\text{Ti}_{1-x}\text{Zr}_x\text{O}_3$

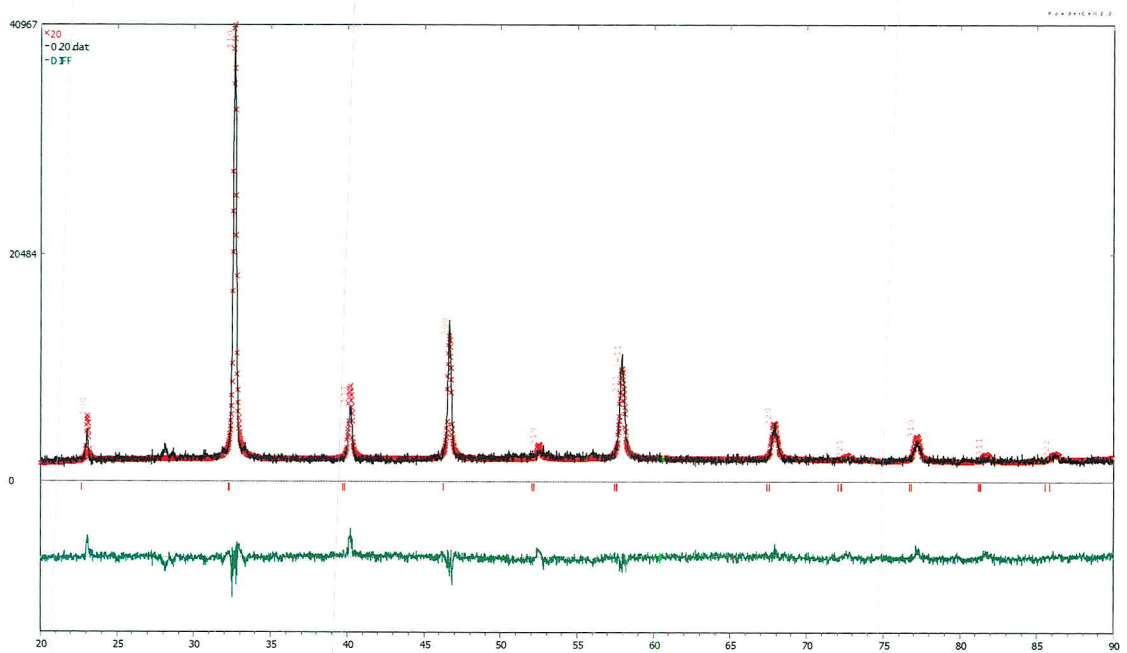
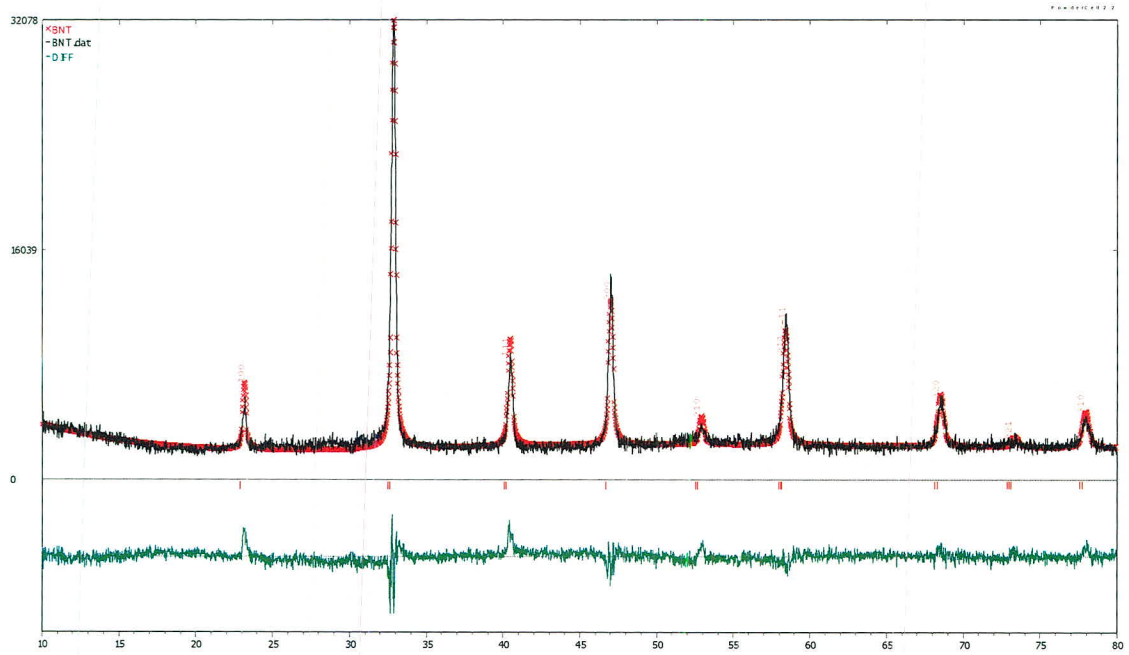
x	R_p (%)	$\alpha=\beta=\gamma$ (°)	a=b=c (Å)
0.00	9.89	89.8806	3.8835
0.20	9.46	89.8797	3.9205
0.35	9.89	89.9095	3.9501
0.40	9.27	89.9054	3.9712
0.45	10.07	89.8837	3.9663
0.60	10.01	90.1389	3.9920
0.80	11.01	90.0977	3.9663

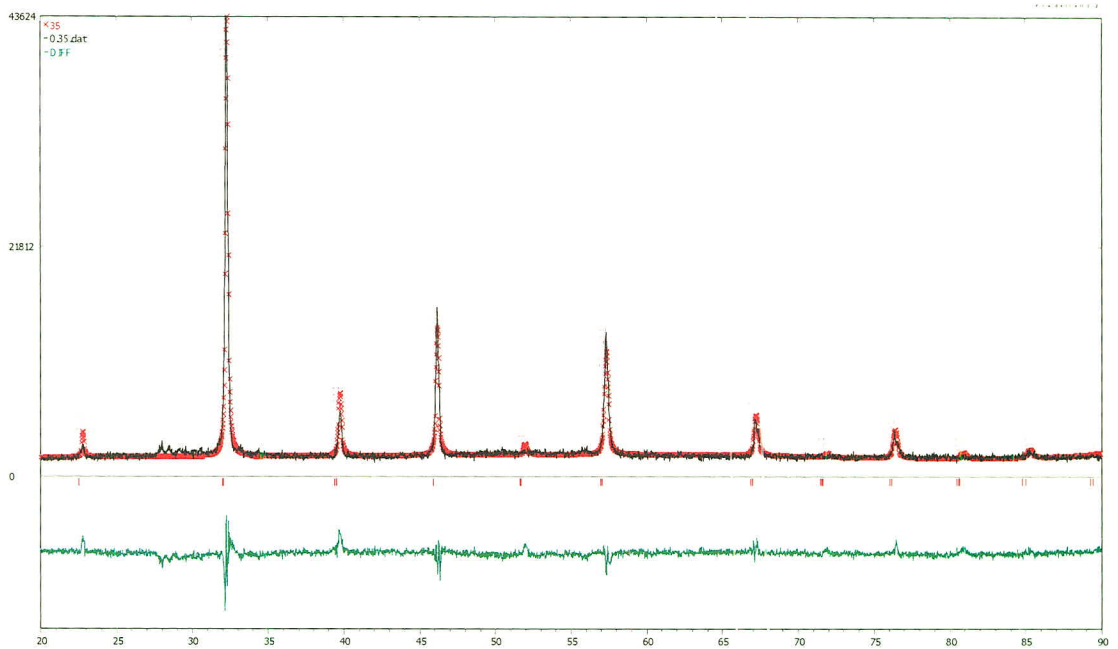
จากตารางและรูปที่เกี่ยวข้อง แสดงให้เห็นว่าเมื่อปริมาณของ Zr เพิ่มมากขึ้น สิ่งหนึ่งที่สังเกตได้ชัดเจนคือขนาดของหน่วยเซลล์เพิ่มขึ้น ดังที่ แกน a, b, c มีค่าสูงขึ้น ส่วนมุนระหว่างแกน มีค่าสูงขึ้น จนกระทั่งเข้าใกล้โครงสร้างของ Cubic และที่ปริมาณ Zr เท่ากับ 0.6 และ 0.8 เศษส่วนโดยไมล พบร่วมค่ามุนมีค่าสูงกว่า 90 องศา ซึ่งในความน่าจะเป็นที่โครงสร้างแบบ Rhombohedral จะมีแกนที่ทำมุมกันเกิน 90 องศา มีความเป็นไปได้น้อย โดยในกรณีนี้ อาจจะเป็นไปได้ว่าโครงสร้างของสาร BNTZ สองตัวนี้ อาจจะมีโครงสร้างผลึกเป็นแบบอื่น ซึ่งการสร้างแบบจำลองโครงสร้างผลึกตั้งต้นใหม่ ควรเป็นสิ่งที่ต้องทำ ในส่วนของค่า R_p ที่อยู่ในตาราง 4.16 นั้น ยังถือว่าเป็นค่าที่สูงอยู่ เนื่องจากว่าการ fit แผนภาพเดี่ยวบนของรังสีเอกซ์โดยวิธี Rietveld นั้น ที่ถือว่ามีคุณภาพ สูงนั้นควรจะให้ค่า R_p ประมาณ 5% หรือต่ำกว่า สำหรับในงานวิจัยนี้ เนื่องจากโปรแกรม Powder Cell เป็นโปรแกรมเบื้องต้น ซึ่งมีตัวแปรให้เลือกค่อนข้างจำกัด ดังนั้น รายละเอียดของโปรแกรม อาจจะไม่สามารถ fit ได้

ดีกว่านี้ ดังนั้นในการวิจัยถัดไปจะเริ่มทำการ fit ข้อมูล โดยการใช้โปรแกรม GSAS ซึ่งถือว่าเป็นโปรแกรมมาตรฐานที่นักวิจัยส่วนมากใช้ในการวิเคราะห์โครงสร้างผลึก นอกจากนี้ อาจจะต้องมีการเก็บข้อมูลใหม่ โดยการวิเคราะห์ผ่าน BNTZ โดยใช้เครื่อง X-ray diffractometer ที่มีระดับ background noise ที่ต่ำ และจะมีการปรับรายละเอียดในการเก็บข้อมูล เพื่อให้ได้แผนภาพเดี่ยวเบนของรังสีเอกซ์ที่มีคุณภาพสูงขึ้น

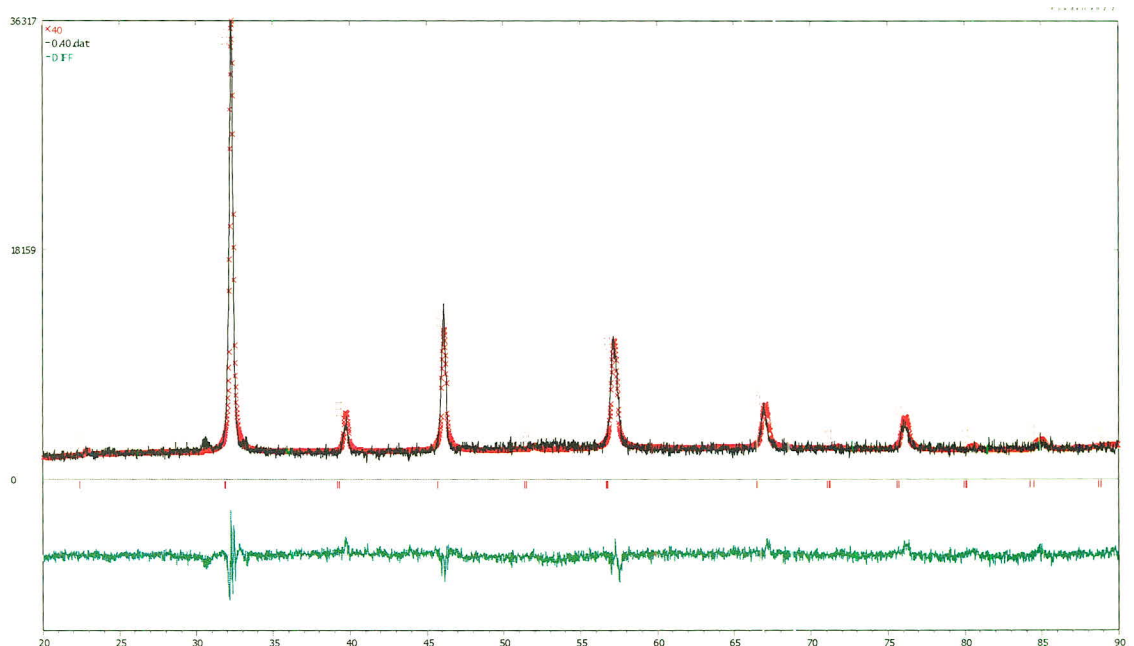


รูป 4.32 โครงสร้างผลึกจำลองตั้งต้นในระบบ rhombohedral

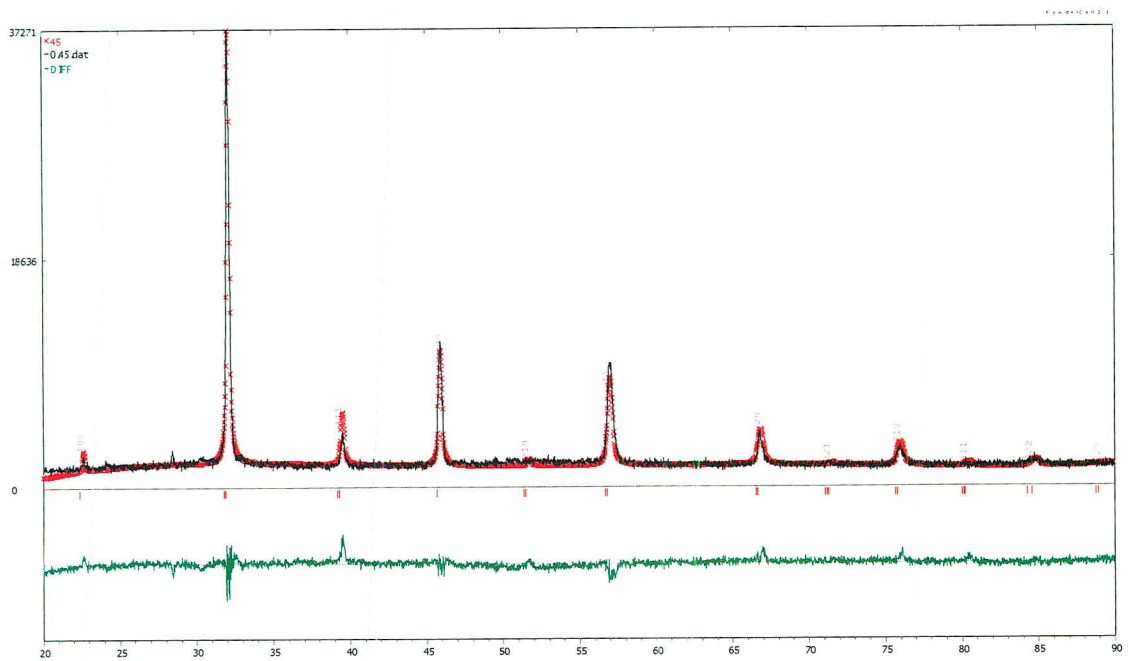




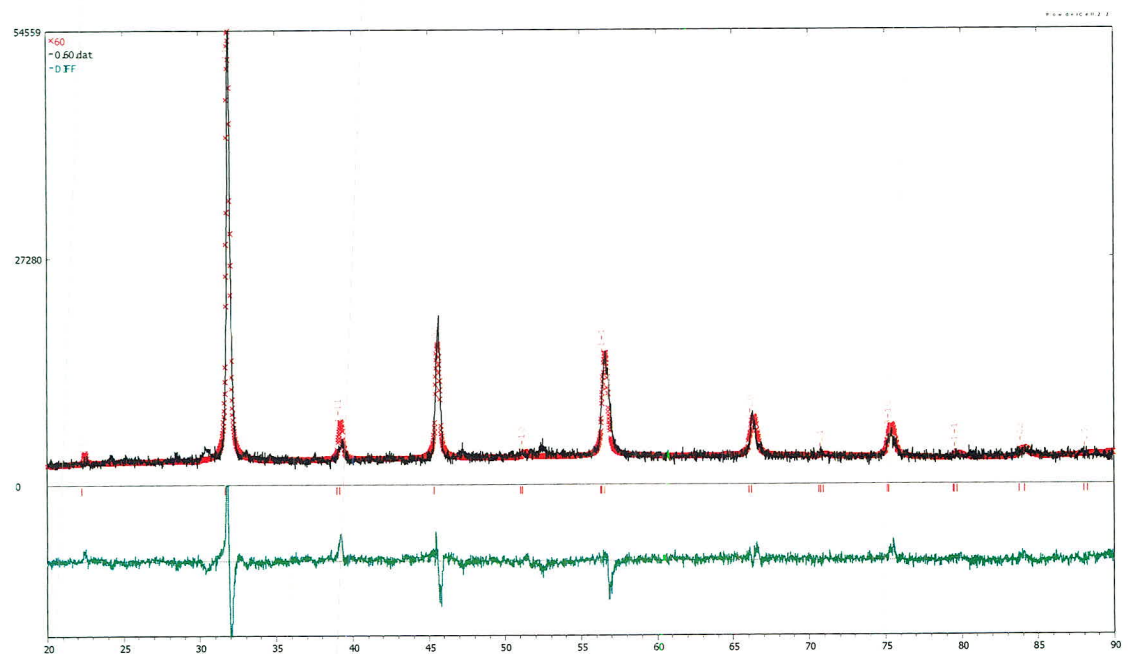
រូប 4.35 Rietveld refinement ទូទៅសង $\text{Bi}_{0.5}\text{Na}_{0.5}\text{Ti}_{0.65}\text{Zr}_{0.35}\text{O}_3$



រូប 4.36 Rietveld refinement ទូទៅសង $\text{Bi}_{0.5}\text{Na}_{0.5}\text{Ti}_{0.6}\text{Zr}_{0.4}\text{O}_3$

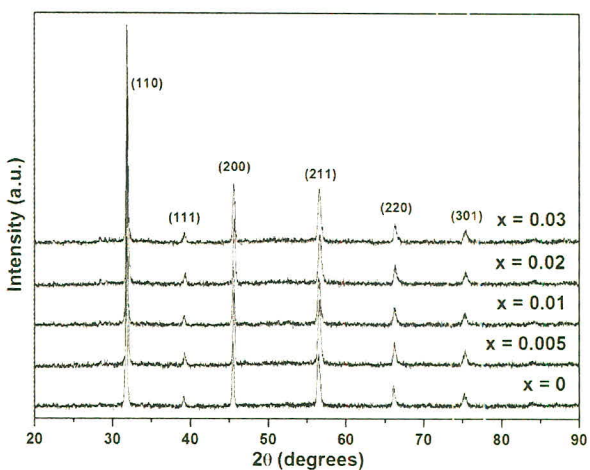


រូប 4.37 Rietveld refinement ឱកាស $\text{Bi}_{0.5}\text{Na}_{0.5}\text{Ti}_{0.55}\text{Zr}_{0.45}\text{O}_3$

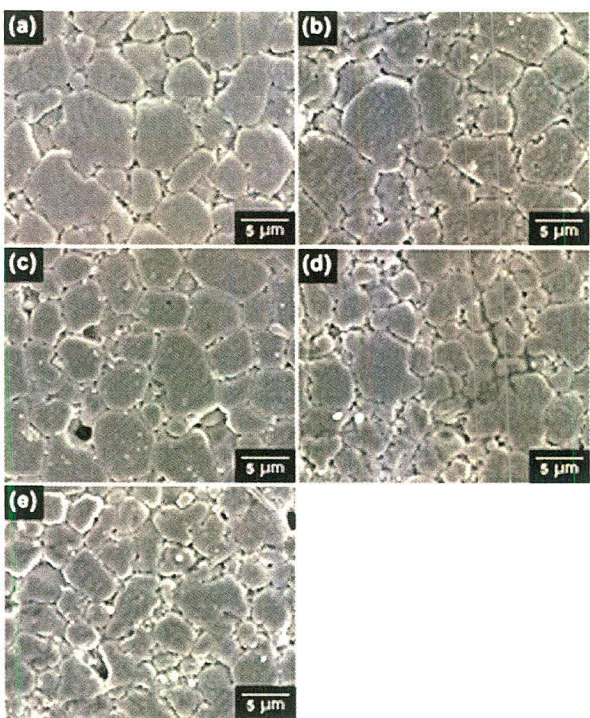


រូប 4.38 Rietveld refinement ឱកាស $\text{Bi}_{0.5}\text{Na}_{0.5}\text{Ti}_{0.4}\text{Zr}_{0.6}\text{O}_3$

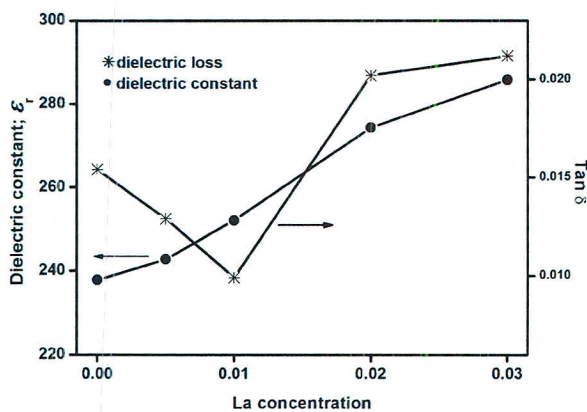
ค่อนข้างเรียบ อาจเนื่องจากโครงสร้างที่คล้ายกับคิวบิกด้วย ในกรณีค่าสนามไฟฟ้าลบล้าง (coercive field) เห็นได้ว่า ค่าดังกล่าวมีค่าลดลง สอดคล้องกับการเคลื่อนที่ของช่องโดเมนดังกล่าวมาก **แล้ว**



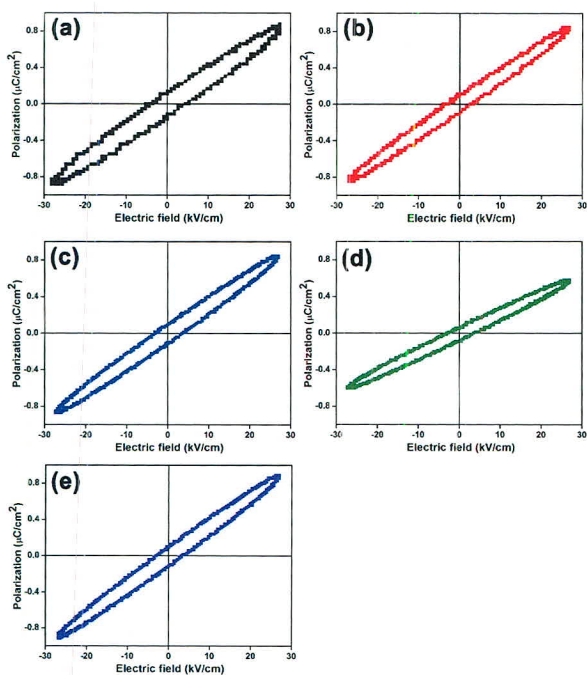
รูป 4.44 รูปแบบการเลี้ยวเบนรังสีเอกซ์ของเซรามิก $(Bi_{0.5}Na_{0.5})_{1-1.5x}La_xTi_{0.41}Zr_{0.59}O_3$



รูป 4.45 โครงสร้างทางจุลภาคของเซรามิก $(Bi_{0.5}Na_{0.5})_{1-1.5x}La_xTi_{0.41}Zr_{0.59}O_3$



รูป 4.46 สมบัติโดยเล็กทริกของเซรามิก $(\text{Bi}_{0.5}\text{Na}_{0.5})_{1-1.5x}\text{La}_x\text{Ti}_{0.41}\text{Zr}_{0.59}\text{O}_3$



รูป 4.47 Hysteresis loops ของเซรามิก $(\text{Bi}_{0.5}\text{Na}_{0.5})_{1-1.5x}\text{La}_x\text{Ti}_{0.41}\text{Zr}_{0.59}\text{O}_3$

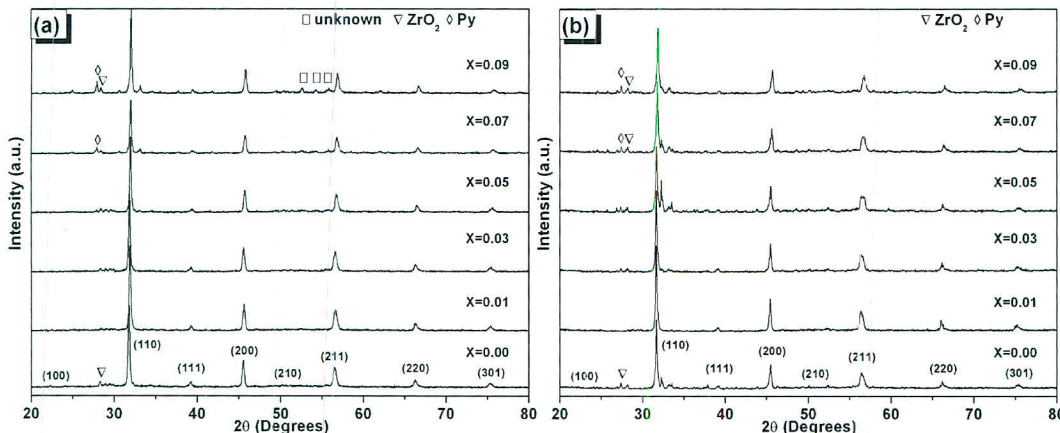
ตาราง 4.17 แสดงลักษณะทางกายภาพ และสมบัติไฟฟ้าของเซรามิก BNLTZ

La content (at%)	Relative Density (%)	Grain size (μm)	ε_r^{a}	$\tan\delta^{\text{a}}$	P_r ($\mu\text{C}/\text{cm}^2$)	E_c (kV/cm)	R_{sq}
0	91	5.91 ± 1.94	238	0.0154	0.11	4.93	0.42
0.005	92	5.79 ± 1.31	243	0.0129	0.11	3.75	0.40
0.01	94	5.68 ± 1.06	254	0.0099	0.10	3.43	0.19
0.02	96	3.93 ± 0.85	274	0.0202	0.07	3.36	0.18
0.03	97	3.85 ± 0.73	285	0.0212	0.10	3.21	0.26

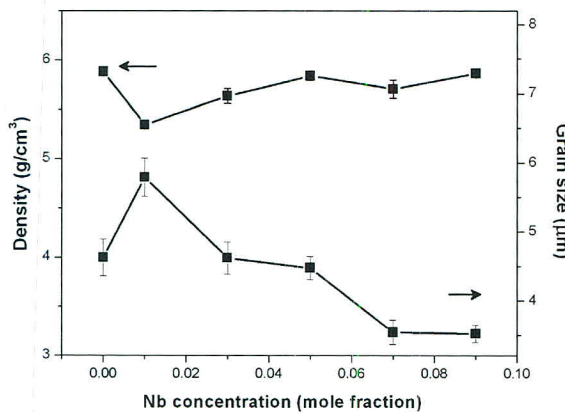
4.2.5 สารบิสมัทโซเดียมไทเทเนตเซอร์โคเนตเจือในโอบีเยม ($[\text{Bi}_{0.5}\text{Na}_{0.5}]_{1-x/2}[\text{Ti}_{0.41}\text{Zr}_{0.59}]_{1-x}\text{Nb}_x\text{O}_3$)

ผลจากการศึกษาอิทธิพลของการเจือในโอบีเยมในสารละลายนองแข็ง $\text{Bi}_{0.5}\text{Na}_{0.5}[\text{Ti}_{0.41}\text{Zr}_{0.59}]_{1-x}\text{Nb}_x\text{O}_3$ ที่ปริมาณการเติมเท่ากับ 0, 0.01, 0.03, 0.05, 0.07 และ 0.09 เศษส่วนโดยไมล อุณหภูมิที่เหมาะสมในการแคลไชน์คือ 700°C เป็นเวลา 2 ชั่วโมง และเพาซิมแทอร์ที่อุณหภูมิ 900°C เป็นเวลา 2 ชั่วโมง รูปแบบการเลี้ยงเบนของรังสีเอกซ์ของผงและเซรามิก $[\text{Bi}_{0.5}\text{Na}_{0.5}]_{1-x/2}[\text{Ti}_{0.41}\text{Zr}_{0.59}]_{1-x}\text{Nb}_x\text{O}_3$ ดังรูป 4.48 พบร่วมโครงสร้างผลึกแบบบอร์โนบิอิคอล เนื่องจากพื้นที่เกิดการเลื่อนตำแหน่งไปทางด้านขวาแสดงถึงขนาดของเซลล์หน่วยที่ลดลงเล็กน้อย ซึ่งแสดงถึงกับข้อมูลขนาดไอออนของในโอบีเยม (Nb^{5+} ($r = 0.64 \text{ \AA}$ [42])) ที่มีขนาดใหญ่กว่าไอออนของไทเทเนียม Ti^{4+} ($r = 0.605 \text{ \AA}$ [42]) แต่มีขนาดเล็กกว่าขนาดไอออนของเซอร์โคเนียม (Zr^{4+} ($r = 0.72 \text{ \AA}$ [42])) ซึ่งทำให้เกิด Nb^{5+} แทนที่ Zr^{4+} จึงทำให้เกิดการหดตัวของเซลล์หน่วย ในกรณีของเซรามิก เมื่อเพิ่มปริมาณ Nb ตั้งแต่ 0.07 และ 0.09 เศษส่วนโดยไมล ปรากฏเฟสของไพร์คลอร์ เซอร์โคเนียม และเฟสของสารประกอบใหม่ขึ้น อาจจะเกิดจากการตกตะกอนระหว่างการซินเทอร์ ซึ่งคล้ายถึงกับกรณีของการเจือ Nb ในสาร PZT [50] ค่าความหนาแน่นสัมพัทธ์ของเซรามิกมีค่าอยู่ระหว่าง 92-96 % เมื่อเทียบกับความหนาแน่นทางทฤษฎี แสดงดังรูป 4.49 ขณะเดียวกัน ขนาดเกรนนั้นมีเพิ่มปริมาณ Nb สูงขึ้นทำให้ขนาดเกรนมีแนวโน้มลดลงอย่างเห็นได้ชัดเจนเมื่อขนาดลดลงจาก 5.79 \mu m ของเซรามิก BNLTZ ถึง 3.52 \mu m ของเซรามิก BNLTZ/0.09Nb ดังรูป 4.50 ซึ่งเกิดขึ้นจากการเติมสารเจือชนิดตัวให้ (donor dopant) เช่นเดียวกับ

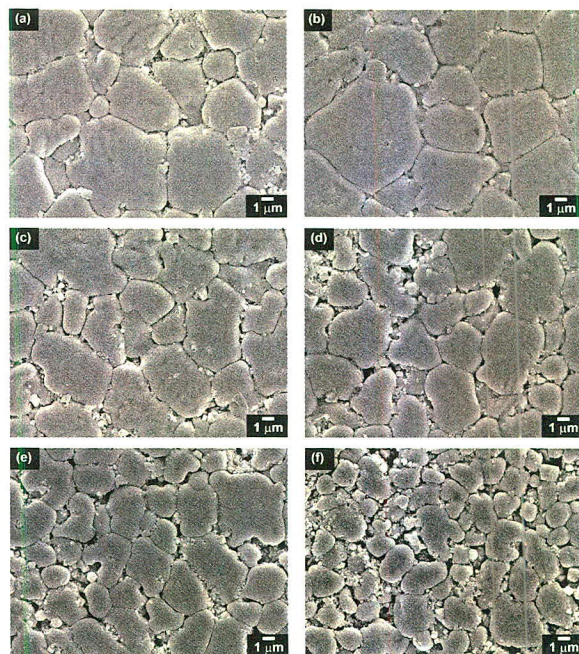
กรณีของสาร BaTiO₃ เจือ Nb [51] และสาร PZT เจือ Nb จากรูป 4.51 พบว่าค่าความต้านทานมีแนวโน้มลดต่ำลงอย่างเห็นได้ชัดเจน เมื่อเพิ่มปริมาณ Nb สูงขึ้น ซึ่งมีค่าอยู่ในระดับ $\sim 10^8 \Omega\text{-m}$ ซึ่งมีค่าใกล้เคียงกับสารในระบบ BNT-BT [52] ที่ใช้ในการทำวัสดุไดอิเล็กทริก ส่วนค่าคงที่ไดอิเล็กทริกที่อุณหภูมิห้อง และค่าการสูญเสียทางไดอิเล็กทริกตั้งรูป 4.52 พบว่ามีค่าลดลงในช่วงปริมาณการเติม Nb ตั้งแต่ 0.01 และ 0.03 เศษส่วนโดยไม่ลด ซึ่งอาจจะเกิดจากค่าความหนาแน่นที่ลดต่ำลง และมีแนวโน้มเพิ่มขึ้นเมื่อเพิ่มปริมาณ Nb สูงขึ้น อาจจะเกิดเนื่องจากการเคลื่อนที่ของผังไดเมนต์ได่ง่าย เมื่อเติมสารเจือที่เป็นตัวให้ (donor dopant) ซึ่งมีความสัมพันธ์กับขนาดของกรานที่ลดต่ำลง ซึ่งปริมาณการเจือ Nb ที่ 0.05-0.07 นั้นทำให้เป็นบริเวณที่มีค่าคงที่ไดอิเล็กทริกสูงที่สุด



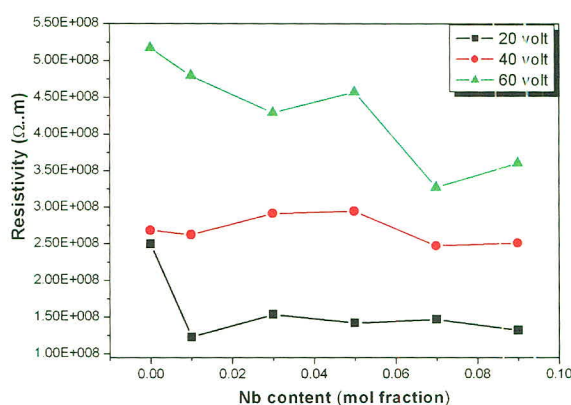
รูป 4.48 รูปแบบการเลี้ยงเบนของรังสีเอกซ์ของ (a) ผงและ (b) เซรามิก $[\text{Bi}_{0.5}\text{Na}_{0.5}]_{1-x/2}[\text{Ti}_{0.41}\text{Zr}_{0.59}]_{1-x}\text{Nb}_x\text{O}_3$



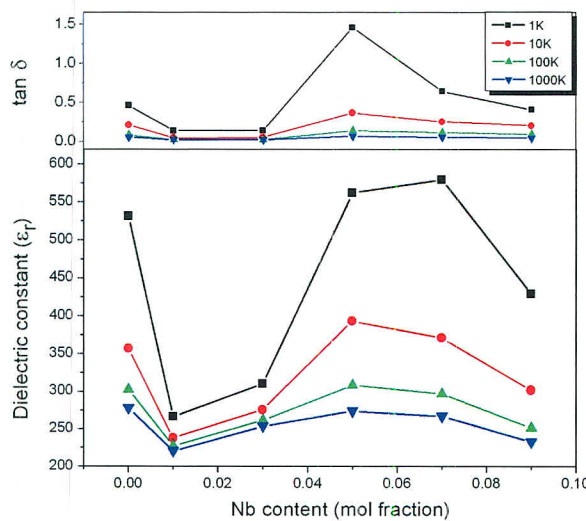
รูป 4.49 ความสัมพันธ์ระหว่างความหนาแน่น ขนาดของกราน และปริมาณการเจือ Nb ในเซรามิก $[\text{Bi}_{0.5}\text{Na}_{0.5}]_{1-x/2}[\text{Ti}_{0.41}\text{Zr}_{0.59}]_{1-x}\text{Nb}_x\text{O}_3$



รูป 4.50 โครงสร้างทางจุลภาคของเซรามิก $\text{Bi}_{0.5}\text{Na}_{0.5}[\text{Ti}_{0.41}\text{Zr}_{0.59}] \text{O}_3$ เจือไนโตรบียม



รูป 4.51 ความสัมพันธ์ระหว่างความต้านทาน ความต่างศักดิ์ และปริมาณการเจือไนโตรบียม ในเซรามิก $[\text{Bi}_{0.5}\text{Na}_{0.5}]_{1-x/2}[\text{Ti}_{0.41}\text{Zr}_{0.59}]_{1-x}\text{Nb}_x\text{O}_3$

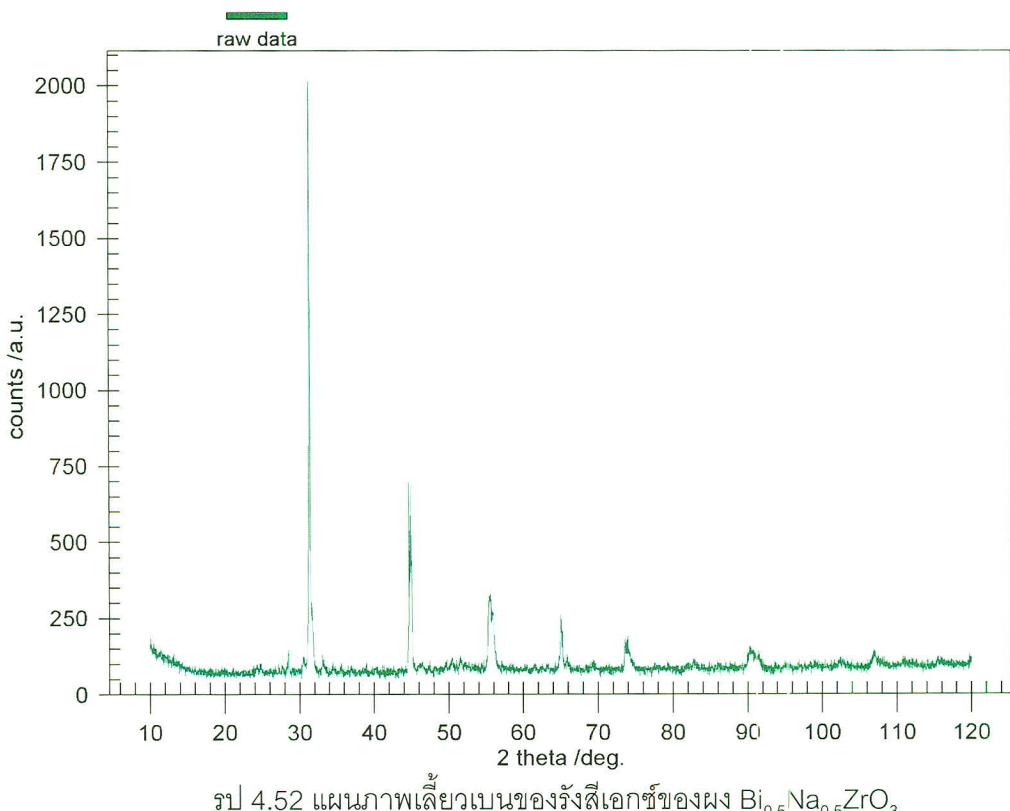


รูป 4.51 ความสัมพันธ์ระหว่างค่าคงที่ไดอิเล็กทริก ค่าการสูญเสียไดอิเล็กทริก ค่าความถี่ และ ปริมาณการเจือไนโอลเปย์มในเซรามิก $[Bi_{0.5}Na_{0.5}]_{1-x/2}[Ti_{0.41}Zr_{0.59}]_{1-x}Nb_xO_3$

4.3 สารบิสมัทโซเดียมเซอร์โคเนต ($\text{Bi}_{0.5}\text{Na}_{0.5}\text{ZrO}_3$)

4.3.1 ผลการเตريยมผงบิสมัทโซเดียมเซอร์โคเนต $\text{Bi}_{0.5}\text{Na}_{0.5}\text{ZrO}_3$

จากการวิจัย พบร่วมกับสามารถเตรียมผง $\text{Bi}_{0.5}\text{Na}_{0.5}\text{ZrO}_3$ ที่มีความบริสุทธิ์สูงได้ โดยการสังเคราะห์ที่อุณหภูมิ $800\text{ }^\circ\text{C}$ เป็นเวลา 2 ชั่วโมง อย่างไรก็ตาม จากข้อมูลที่มีอยู่ในขณะนี้ สารนี้อาจจะมีโครงสร้างผลึกเป็นแบบ Tetragonal หรือ Orthorhombic ซึ่งสารที่เตรียมได้ในกราดลองนี้ มีการเกิดแยกพื้นที่ ซึ่งแสดงให้เห็นถึงว่ามีการเปลี่ยนแปลงโครงสร้างอย่างชัดเจน อย่างไรก็ตาม ในงานวิจัยนี้ จะได้มีการวิเคราะห์เฟสและโครงสร้างผลึกโดยละเอียด แต่ต้องมีการเตรียมสาร ให้มีความบริสุทธิ์สูงที่สุดเทียบก่อน ในช่วงปีที่ผ่านมา ได้มีการศึกษาปัจจัยในการเตรียม เช่น อุณหภูมิตั้งเคราะห์ ชนิดและปริมาณของสารเจือเพิ่มเติม เช่น Bi_2O_3 , ZrO_2 และ Na_2CO_3 รวมทั้ง จำนวนครั้งที่ใช้ในการสังเคราะห์ ในเบื้องต้นพบว่า การเติม Na_2CO_3 และการเผาแคลสไซด์สองครั้ง มีผลทำให้ปริมาณเฟสปนเปื่อนน้อยลงมาก และในขณะนี้ กำลังทำการวิเคราะห์โครงสร้างผลึกของสารนี้อยู่



รูป 4.52 แผนภาพเลี้ยวบนของรังสีเอกซ์ของผง $\text{Bi}_{0.5}\text{Na}_{0.5}\text{ZrO}_3$

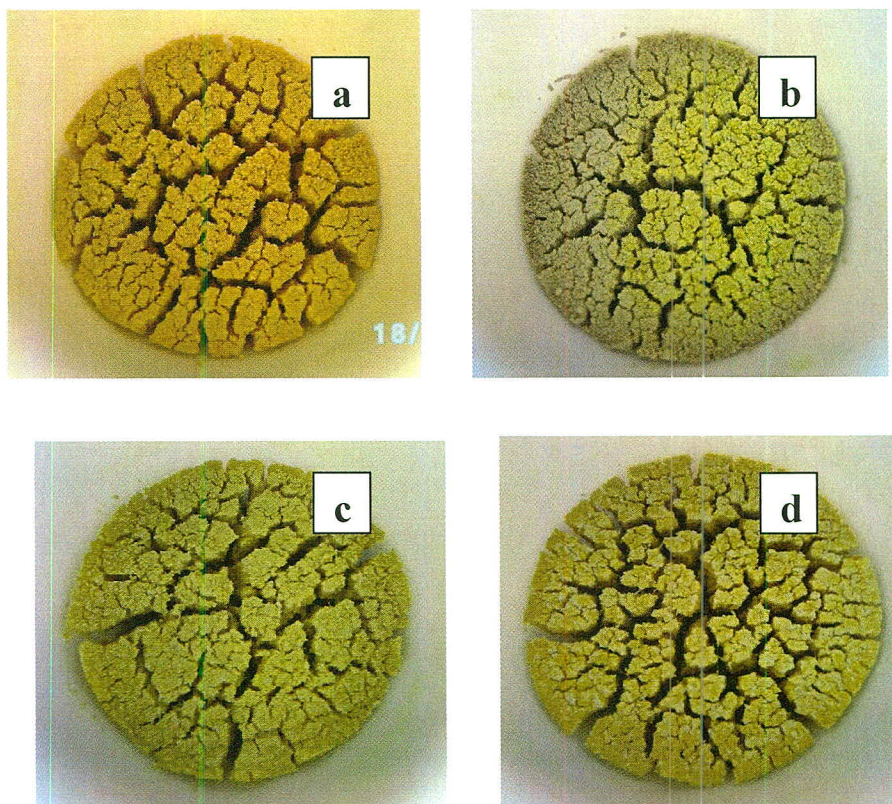
อิทธิพลของตัวแปรต่าง ๆ ต่อการสังเคราะห์ผง BNZ

4.3.1.1 การสังเคราะห์ผงเซรามิก BNZ โดยการเปลี่ยนแปลงอุณหภูมิในช่วง 700 – 800 °C

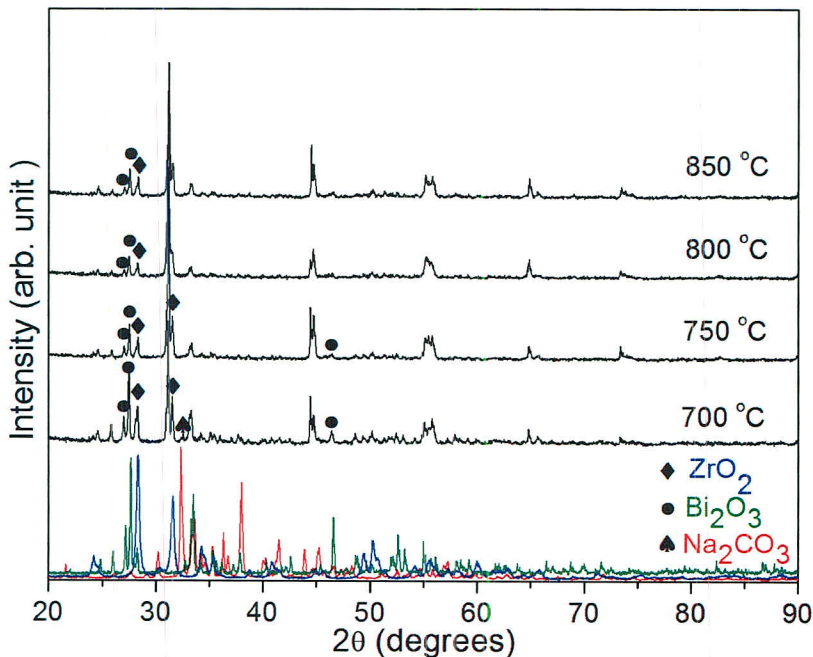
รูป 4.53 และตาราง 4.18 แสดงข้อมูลน้ำหนักที่หายไประหว่างการเต็ยม และลักษณะทางกายภาพของผงเซรามิกบิสมัทโซเดียมเซอร์โคเนต เห็นได้ว่า ผงมีสีเหลือง โดยความเข้มสีมีแนวโน้มลดลงเมื่ออุณหภูมิสูงขึ้น รูป 4.54 แสดงการเปรียบเทียบรูปแบบการเลี้ยวเบนรังสีเอกซ์ของผงตั้งต้นและผงเซรามิกบิสมัทโซเดียมเซอร์โคเนตเพาแคลไชน์ที่อุณหภูมิ 700, 750, 800 และ 850 °C ตามลำดับ พบว่าผงเผาที่ 700 °C ประกอบด้วยเฟสของผงตั้งตันทั้งหมดคือ Bi_2O_3 , Na_2CO_3 และ ZrO_2 เนื่องจากพัฒนาที่ใช้ในการเกิดปฏิกิริยาแคลไชน์ที่อุณหภูมนี้ต่ำ ทำให้การเกิดปฏิกิริยาไม่สมบูรณ์ ผงเซรามิกเผาที่อุณหภูมิตั้งกล่าว จึงมีเฟสของผงตั้งตันทั้งสามชนิดเหลืออยู่ สำหรับผงเผาที่อุณหภูมิ 750 และ 800 °C ประกอบด้วยเฟสของ Bi_2O_3 และ ZrO_2 โดยผงเซรามิกเผาที่ 800 °C มีปริมาณเฟสปนเปื่อนทั้งสองชนิดน้อยกว่าผงเผาที่ 750 °C จากข้อมูลตั้งกล่าว คาดว่า ที่อุณหภูมิสูงขึ้น อาจมีพัฒนาที่ใช้ในการทำปฏิกิริยาเพียงพอสำหรับการเกิดเป็นสารประกอบเซรามิกบิสมัทโซเดียมเซอร์โคเนต อย่างไรก็ตาม ในกรณีของผงเผาที่อุณหภูมิสูง 850 °C พบว่า เฟสของ Bi_2O_3 และ ZrO_2 ยังคงปรากฏอยู่ และมีสีเหลืองติดอยู่บนถ้วยอะลูมินาจำนวนมากด้วย จากผลตั้งกล่าว คาดว่า ปฏิกิริยาแคลไชน์ยังไม่สมบูรณ์ และมีการหลอมละลายของ Bi_2O_3 ซึ่งเป็นองค์ประกอบหลักในสารผสมบิสมัทโซเดียมเซอร์โคเนตเกิดขึ้น เนื่องจากลักษณะสีของสารออกไซด์นี้มีสีเหลือง และเกิดการหลอมเหลวที่อุณหภูมิสูงกว่า 825 °C [53] ดังนั้น การเผาที่อุณหภูมิ 850 °C จึงยังไม่สามารถทำให้ผงเซรามิก BNZ มีเฟสบริสุทธิ์ได้ และยังทำให้ส่วนผสมตั้งตัน Bi_2O_3 เกิดการหลอมละลายด้วย จากหลักฐานเฟสของผงเซรามิก BNZ เผาที่ช่วงอุณหภูมิ 700 - 850 °C เชื่อว่า ที่อุณหภูมิแคลไชน์ 800 °C เหมาะสมที่สุดสำหรับการเตรียมผงเซรามิกระบบใหม่นี้ เนื่องจากมีปริมาณเฟสเจือปนต่ำ และไม่เกิดการหลอมของส่วนผสมเริ่มต้น สำหรับการปรากฏของเฟสสารตั้งตัน Bi_2O_3 และ ZrO_2 ในผงเผาที่อุณหภูมนี้ คาดว่า ปัจจัยของปริมาณสารตั้งตัน Na_2CO_3 ที่ไม่เพียงพอสำหรับการเกิดปฏิกิริยา ดูเหมือนมีผลกระทบต่อการเกิดเฟสของ Bi_2O_3 และ ZrO_2 ในผงเซรามิกด้วย จากสมมุติฐานดังกล่าว จึงได้ทำการศึกษา สภาวะการเตรียมตัดไป โดยเพิ่มปริมาณของผงตั้งตันทั้งสามชนิดในช่วงปริมาณ 5 – 15 wt% เพาแคลไชน์ที่อุณหภูมิ 800 °C เป็นเวลา 2 ชั่วโมง

ตาราง 4.18 ข้อมูลน้ำหนักที่หายไประหว่างการเตรียมและการเผาแล็ปโซน์ระหว่างการเตรียม

สาร	อุณหภูมิ (องศา)	น้ำหนักหายไปหลังบดผสม	น้ำหนักหายไปหลังเผาแล็ปโซน์
BNZ	700	0.0124	0.8137
BNZ	750	0.0044	1.4113
BNZ	800	0.0340	1.3326
BNZ	850	0.1035	1.4190



รูป 4.53 ภาพถ่ายของ BNZ หลังการเผาที่อุณหภูมิต่างๆ เมื่อ a-d คือ ที่เผาที่อุณหภูมิ 700, 750, 800 และ 850 องศา ตามลำดับ



รูป 4.54 รูปแบบการเลี้ยวเบนรังสีเอกซ์ของผงตั้งตัน และผงเซรามิกแคลไชน์ที่อุณหภูมิต่างๆ

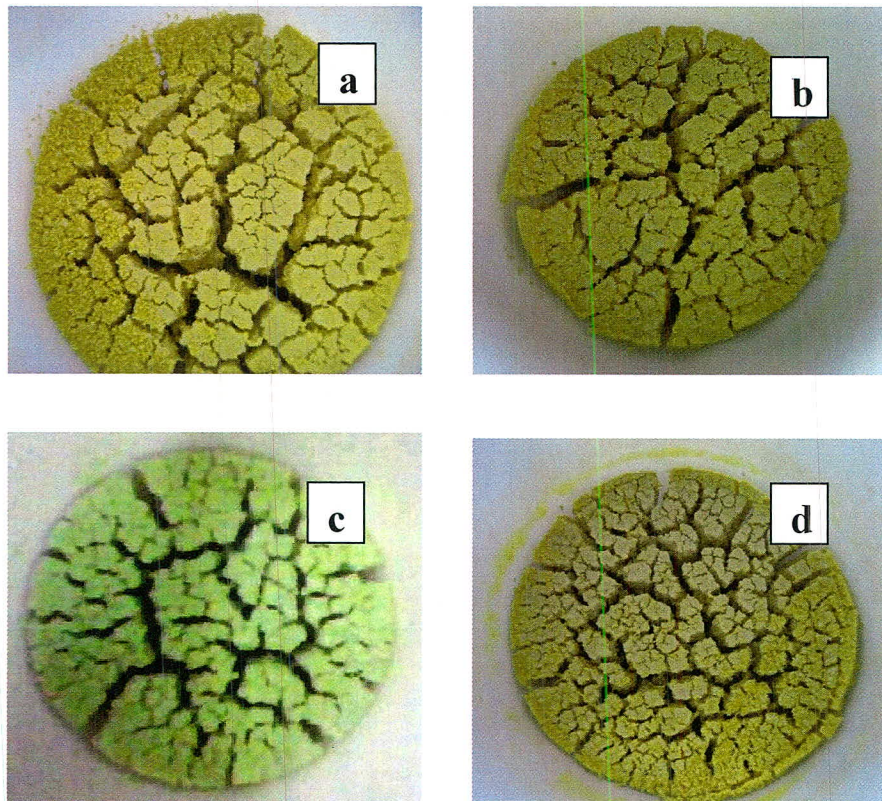
4.3.1.2 การสังเคราะห์ผงเซรามิก BNZ โดยการเปลี่ยนแปลงปริมาณสารตั้งตัน

รูป 4.55 และตาราง 4.19 แสดงข้อมูลน้ำหนักที่หายไประหว่างการเตريยม และลักษณะทางกายภาพของผงเซรามิกบิสมัทโซเดียมเซอร์โคเนตโดยการเปลี่ยนแปลงปริมาณ Bi_2O_3 และ ตาราง 4.20 แสดงข้อมูลน้ำหนักที่หายไประหว่างการเตريยม และลักษณะทางกายภาพของผงเซรามิก BNZ โดยการเปลี่ยนแปลงปริมาณ ZrO_2 เห็นได้ว่า ผงมีสีเหลือง เช่นเดียวกับผง BNZ เผาแคลไชน์ที่ อุณหภูมิต่างกันรูป 4.48 และ 4.49 แสดงรูปแบบการเลี้ยวเบนรังสีเอกซ์ของผง BNZ/ xBi_2O_3 และ BNZ/ $xZrO_2$ เมื่อ x เท่ากับ 0, 5, 10, 15 ตามลำดับ เห็นได้ว่า เห็นได้ว่าความเข้มพื้กของเฟสผงตั้งตัน Bi_2O_3 และ ZrO_2 มีแนวโน้มเพิ่มขึ้น เมื่อปริมาณการเติมผงตั้งตันสูงขึ้น จากผลดังกล่าว คาดว่า ปริมาณของ Bi_2O_3 และ ZrO_2 มีมากเกินสำหรับการเกิดปฏิกิริยาภายในระบบผง BNZ ทำให้ปริมาณเฟสของผงทั้งสองตั้งกล่าวในสารประกอบนี้มากขึ้น อย่างไรก็ตาม รูป 4.56 แสดงรูปแบบการเลี้ยวเบนรังสีเอกซ์ของผงเซรามิก BNZ/ xNa_2CO_3 ที่ปริมาณ x เท่ากับ 0, 5, 10 และ 15 ตามลำดับ พบร่วมกันของปริมาณเฟส Bi_2O_3 และ ZrO_2 ลดลง เมื่อปริมาณ Na_2CO_3 เพิ่มขึ้น คาดว่า ปริมาณ Na_2CO_3 ที่ถูกเจอลงไป ช่วยให้ความแปรปรวนอัตราส่วนทางเคมีของส่วนผสมในสารประกอบลดลง ทำให้การเกิดปฏิกิริยาสมบูรณ์ยิ่งขึ้น ผงเซรามิกจึงมีความเป็นเนื้อเดียวกันมากขึ้น หลักฐานนี้

สอดคล้องกับสมมุติฐานที่ได้กล่าวข้างบน ว่า ปริมาณ Na_2CO_3 ที่ไม่เพียงพอระหว่างการเกิดปฏิกิริยา นำไปสู่การเกิดเฟสของ Bi_2O_3 และ ZrO_2 ในผงเซรามิกระบบใหม่นี้ นอกจากนี้ ผลดังกล่าวยังคล้ายกับ การศึกษา P. Bomlai และคณะ ที่รายงานว่า ปริมาณ Na_2CO_3 มีผลต่อการพัฒนาการเกิดเฟสผงเซรามิกโพแทสเซียมโซเดียมในโอเปต ($\text{K}_{0.5}\text{Na}_{0.5}\text{NbO}_3$) [54] อย่างไรก็ตาม ผง BNZ ที่เติม Na_2CO_3 ยังคงมี เฟสของผงตั้งต้นป淳อยู่ รูป 4.57, 4.58 และตาราง 4.21 แสดงรูปแบบการเลี้ยวงสีเอกสาร, ลักษณะทาง กายภาพ และข้อมูลน้ำหนักที่หายไประหว่างการเตรียมของผงเซรามิก BNZ ที่ช่วงปริมาณ Na_2CO_3 เท่ากับ 0 – 30 wt% พบร่วมกับ ปริมาณเฟสของผงตั้งต้นดูเหมือนมีแนวโน้มลดลง แต่ไม่มากนัก เมื่อเทียบ กับปริมาณ Na_2CO_3 ที่เพิ่มขึ้น คาดว่า ปริมาณการเติม Na_2CO_3 มีผลต่อเฟสของผงตั้งต้นมากสุด ในช่วงการเติม 0 -15wt% ดังนั้นที่ช่วงการเติมนี้ ได้นำไปศึกษาต่อไป จากข้อสังเกตในเรื่องอนุภาคผง พบร่วมกับปริมาณมิกนิดใหม่นี้มีอนุภาคค่อนข้างใหญ่ และแข็งป淳อยู่ คาดว่า ขนาด และลักษณะผงเซรามิกดูเหมือนมีผลกระทบต่อความเป็นเนื้อเดียวกันของผงระบบใหม่ด้วย ดังนั้น การนำผง BNZ/ Na_2CO_3 มาบดให้มีเนื้อละเอียด เพื่อเพิ่มพื้นที่การทำปฏิกิริยา และเผาแคลไชน์ที่อุณหภูมิ 800 °C เป็นเวลา 2 ชั่วโมงอีกครั้ง จึงได้ทำการศึกษาในสภาวะการเตรียมถัดไป

ตาราง 4.19 ข้อมูลน้ำหนักที่หายไประหว่างการเตรียมและการเผาแคลไชน์โดยเปลี่ยนแปลง Bi_2O_3

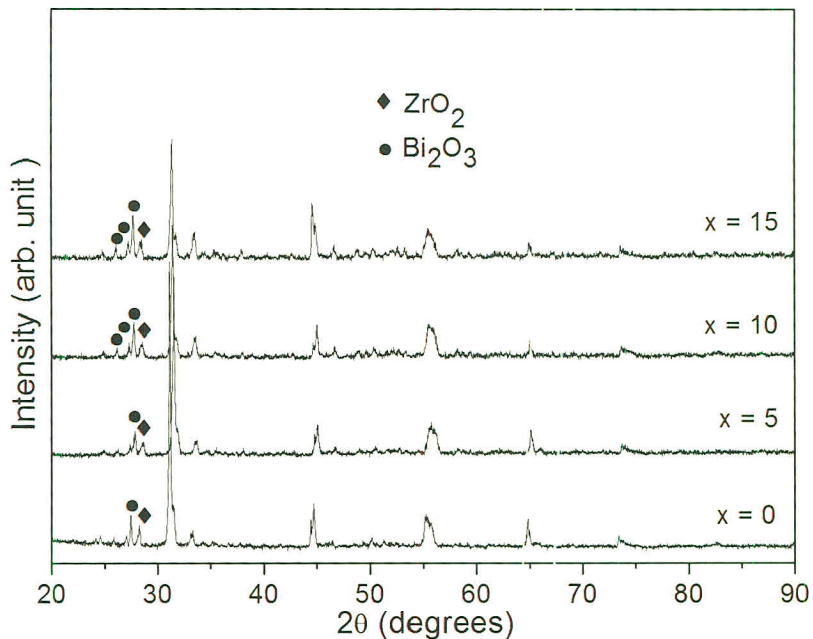
สาร	อุณหภูมิ	น้ำหนักหายไปหลังบด ผสม	น้ำหนักหายไปหลังเผาแคล ^{ไชน์}
BNZ	800	0.0340	1.3326
BNZ/5wt Bi_2O_3	800	0.7111	1.1809
BNZ/10wt Bi_2O_3	800	0.0600	1.1418
BNZ/15wt Bi_2O_3	800	0.1033	1.1290



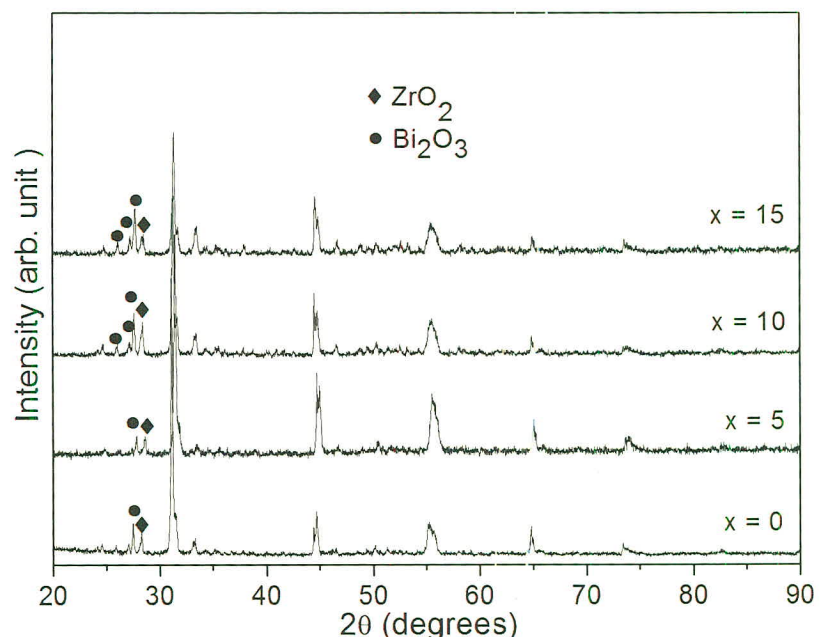
รูป 4.55 ภาพถ่ายผิว BNZ หลังการเผาที่อุณหภูมิ 800 องศา เมื่อ a-d คือ ที่ปริมาณการเติม Bi_2O_3 เท่ากับ 0, 5, 10 และ 15 เปอร์เซ็นต์โดยน้ำหนัก

ตาราง 4.20 ข้อมูลน้ำหนักที่หายไประหว่างการเตรียมและการเผาเคลือบไชน์โดยเปลี่ยนแปลง ZrO_2

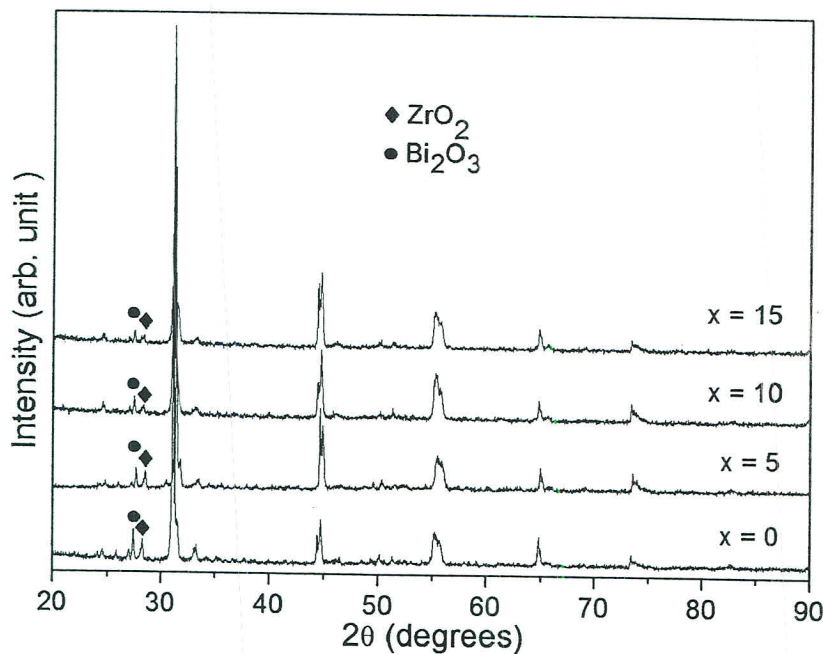
สาร	อุณหภูมิ	น้ำหนักหายไปหลังบดผสม	น้ำหนักหายไปหลังเผาเคลือบไชน์
BNZ	800	0.0340	1.3326
BNZ/5wt ZrO_2	800	0.0358	1.2404
BNZ/5wt ZrO_2	800	0.0296	1.4939
BNZ/5wt ZrO_2	800	0.0571	1.2835



รูป 4.56 รูปแบบการเลี้ยวเบนรังสีเอกซ์ของผง BNZ/xBi₂O₃ แคลไชนท์ 800 °C



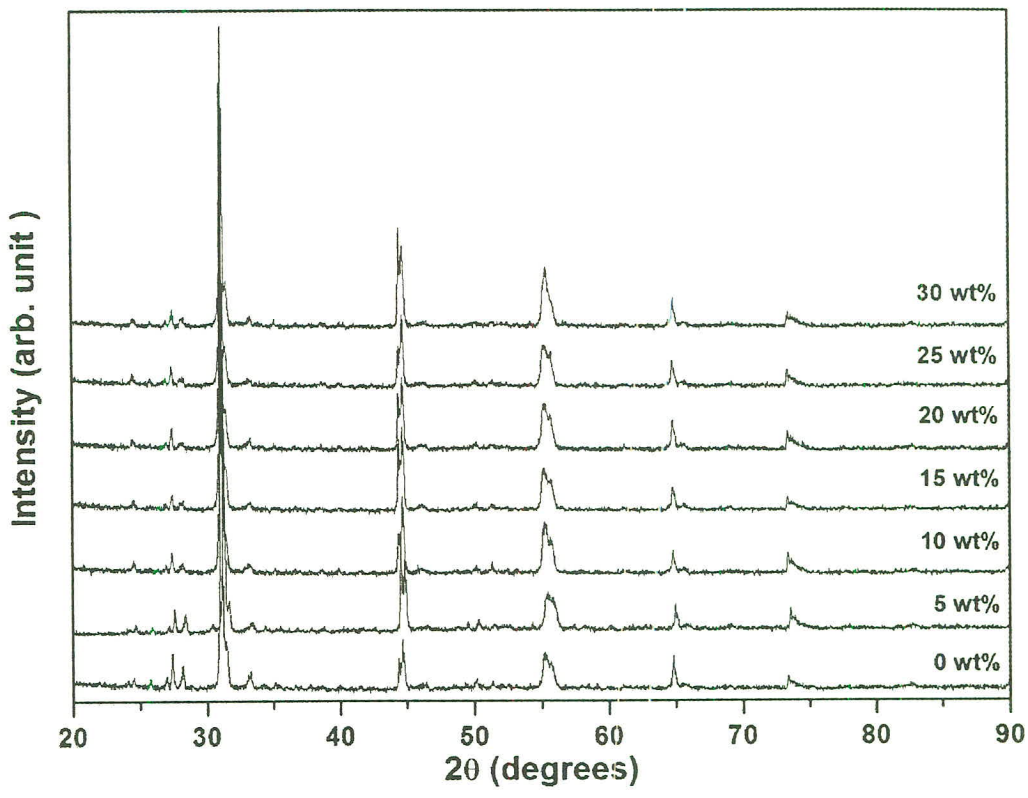
รูป 4.57 รูปแบบการเลี้ยวเบนรังสีเอกซ์ของผง BNZ/xZrO₂ แคลไชนท์ 800 °C



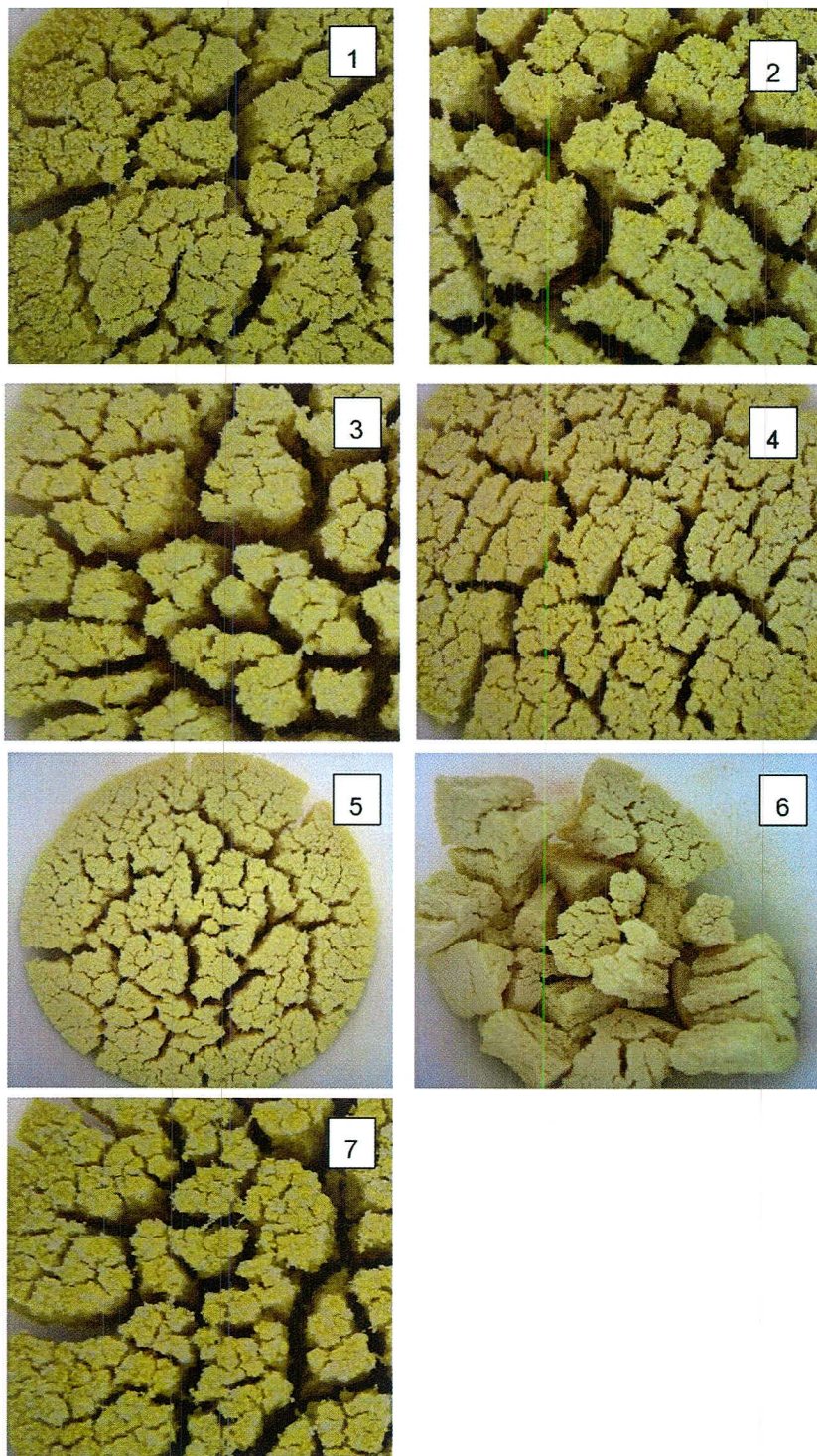
รูป 4.58 รูปแบบการเลี้ยวเบนรังสีเอกซ์ของผง BNZ/ $x\text{Na}_2\text{CO}_3$ แคลไซน์ที่ 800°C

ตาราง 4.21 ข้อมูลน้ำหนักที่หายไประหว่างการเตรียมและการเผาแคลไซน์โดยเปลี่ยนแปลง Na_2CO_3

สาร	อุณหภูมิ	น้ำหนักหายไปหลังบดผสม	น้ำหนักหายไปหลังเผาแคลไซน์
BNZ	800	0.0340	1.3326
BNZ/5wt Na_2CO_3	800	0.1270	1.4483
BNZ/5wt Na_2CO_3	800	0.0884	1.5019
BNZ/15wt Na_2CO_3	800	0.0095	1.6036
BNZ/20wt Na_2CO_3	800	0.2000	1.6425
BNZ/25wt Na_2CO_3	800	0.0701	1.7708
BNZ/30wt Na_2CO_3	800	0.2000	1.8991



รูป 4.59 XRD ของผง BNZ ที่เพิ่มปริมาณ Na_2CO_3



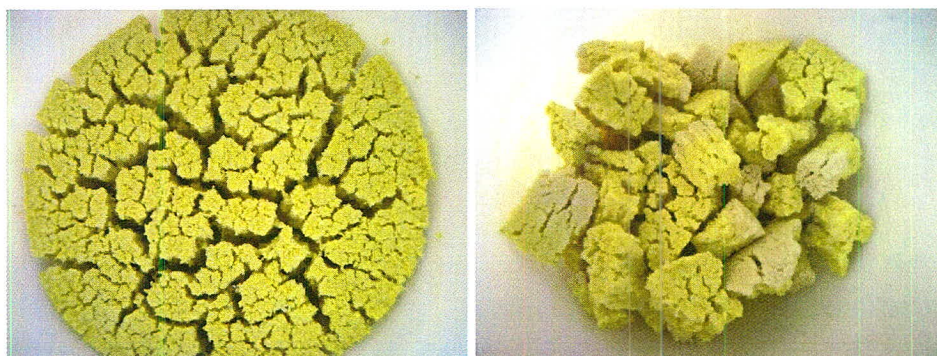
รูป 4.60 BNZ/ Na_2CO_3 (1-7) ที่ปริมาณการเติมเท่ากับ 0, 5, 10, 15, 20, 25 และ 30 wt% ตามลำดับ

4.3.1.3 การเปลี่ยนแปลงส่วนผสม BNZ โดยการเพิ่มปริมาณ Na_2CO_3 และ Bi_2O_3 อย่างละ 5 wt%

ตาราง 4.22 และรูป 4.61 แสดงข้อมูลน้ำหนักที่หายไประหว่างการเตรียม และลักษณะทางกายภาพของผง BNZ ที่เปลี่ยนแปลงส่วนผสมโดยการเพิ่มปริมาณ Na_2CO_3 และ Bi_2O_3 อย่างละ 5 wt% พบว่า ลักษณะของเหมือนกับผงเซรามิก BNZ เผาเคลือบไซน์ที่อุณหภูมิต่างกัน

ตาราง 4.22 ข้อมูลน้ำหนักที่หายไประหว่างการเตรียมและการเผาเคลือบไซน์

สาร	อุณหภูมิ	น้ำหนักหายไปหลังบดผสม	น้ำหนักหายไปหลังเผาเคลือบไซน์
BNZ/5wt% Bi_2O_3 /5 wt% Na_2CO_3	800	0.0520	1.3387



รูป 4.61 รูปถ่ายของสาร BNZ ที่ถูกเติมด้วย Na_2CO_3 และ Bi_2O_3 อย่างละ 5 wt%

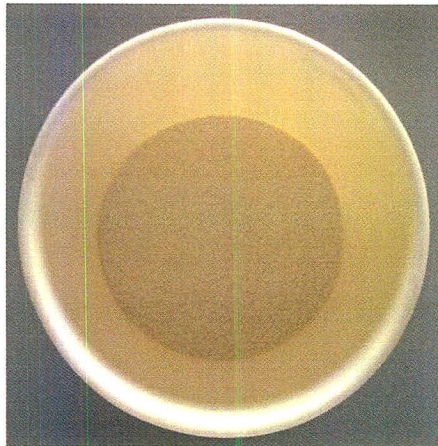
4.3.1.4 ผง BNZ/ Na_2CO_3 เผาเคลือบไซน์ที่อุณหภูมิ 800 องศา เป็นเวลา 2 ชั่วโมง 2 ครั้ง

ตาราง 4.23 และรูป 4.62 แสดงข้อมูลน้ำหนักที่หายไประหว่างการเตรียม และลักษณะทางกายภาพของผง BNZ เผาเคลือบไซน์ 2 ครั้ง เห็นได้ว่า อนุภาคผงมีขนาดเล็ก สีเหลือง รูป 4.63 แสดงรูปแบบการเลี้ยวเบนรังสีเอกซ์ของผงเซรามิก BNZ/x Na_2CO_3 เตรียมที่สภาวะการเผาเคลือบไซน์สองครั้ง เห็นได้ว่า ที่ปริมาณการเติม Na_2CO_3 เท่ากับ 5 wt% มีเฟสเจือปนของ Bi_2O_3 ปรากฏอยู่ อย่างไรก็ตาม เมื่อเปรียบเทียบกับการเติม Na_2CO_3 ในปริมาณเท่ากัน ไม่ได้ผ่านการบดให้เนื้อละเอียด และเผาเคล

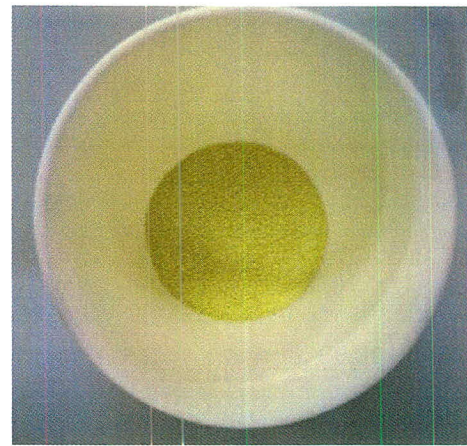
ไชน์ครั้งเดียว รูป 4.64 พบว่า ปริมาณเฟสเจือปนที่พบในผง BNZ/5wt% Na_2CO_3 ผ่านการบด และเผาแคลไชน์อีกครั้ง ต่ำกว่า 5% BNZ/5wt% Na_2CO_3 ที่ไม่ได้ผ่านการบด และเผาแคลไชน์ครั้งเดียว นอกจากนี้ยังไม่พบเฟสของ ZrO_2 ในผง BNZ/5wt% Na_2CO_3 ผ่านการบด และเผาแคลไชน์อีกครั้งด้วย คาดว่า การบดให้ผงเซรามิกมีเนื้อละเอียดขึ้น ทำให้เพิ่มที่ผิวสัมผัสของแต่ละอนุภาคมีมากขึ้น จึงเกิดปฏิกิริยาได้ดีกว่าเมื่อนำไปเผาแคลไชน์อีกครั้ง ส่งผลให้ปริมาณเฟสเจือปนลดลง หลักฐาน ดังกล่าวเห็นด้วยกับสมมุติฐานที่ว่าขนาดและลักษณะอนุภาคมีผลต่อการเกิดปฏิกิริยาของผงเซรามิก BNZ ในกรณีของผงเซรามิก BNZ ที่ปริมาณการเติม Na_2CO_3 เท่ากับ 10 และ 15 ผ่านการบดให้เนื้อละเอียด และเผาแคลไชน์อีกครั้ง ทั้งคู่แสดงลักษณะเฟสเดียวกัน ที่ปราศจากการเจือปนของผงตั้งต้นทั้ง Bi_2O_3 และ ZrO_2 คาดว่า ปริมาณการเติม Na_2CO_3 ตั้งแต่ 10wt% ขึ้นไป รวมทั้งการบดให้เนื้อละเอียด และเผาแคลไชน์อีกครั้งเพียงพอสำหรับการเกิดปฏิกิริยาแคลไชน์ที่สมบูรณ์ของผงเซรามิกระบบใหม่ บิสมัทโซเดียมเซอร์โคเนต จากผลการศึกษาลักษณะเฟสของผงที่เตรียมด้วยสภาวะต่างๆ ทั้งหมด พบว่า การเติม Na_2CO_3 เท่ากับ 10wt% ผ่านการบดให้เนื้อละเอียด เผาแคลไชน์อีกครั้ง เป็นสภาวะการเตรียมที่เหมาะสมที่สุด ทำให้ได้ผงเซรามิก BNZ ที่มีเฟสเดียว โดยรูปแบบการเลี้ยวเบนรังสีเอกซ์ ของผงเซรามิกเตรียมที่สภาวะนี้ ถูกนำไปวิเคราะห์โครงสร้างผลึกโดยใช้ปรอแทร์รัม Powder Cell ต่อไป

ตาราง 4.23 มวลที่หายไปหลังการเตรียมและการเผาแคลไชน์ที่ 800 องศา 2 ชั่วโมง

สาร BNZ/ Na_2CO_3	มวลหายไป		
	หลังบดผสม	หลังแคลไชน์ครั้งที่ 1	หลังแคลไชน์ครั้งที่ 1
0 wt%	0.2328	1.6929	0.0208
5 wt%	0.0599	1.6816	0.0712
10 wt%	0.1000	1.5429	0.0110
15 wt%	0.0051	1.5539	0.0493

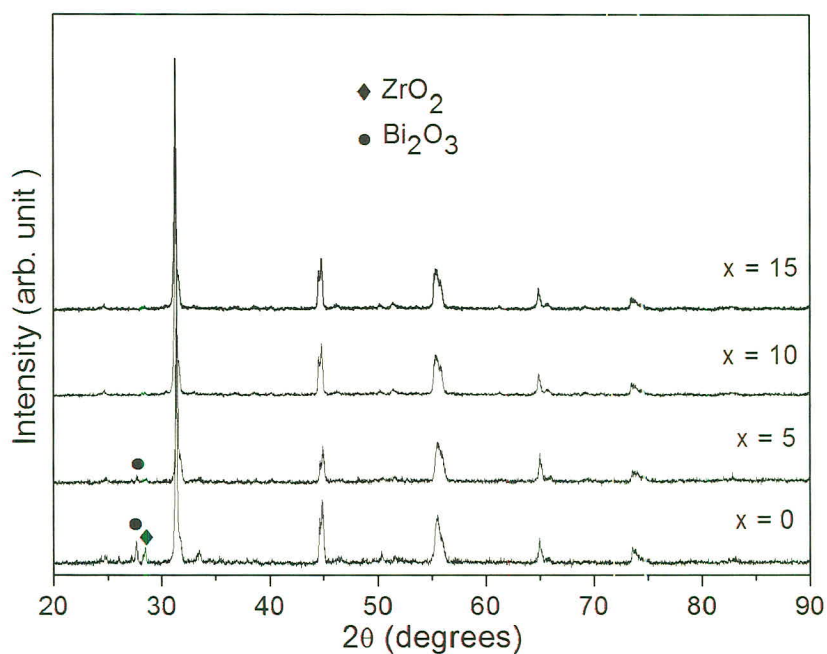


ก่อนเผาครั้งที่ 1



ก่อนเผาครั้งที่ 2

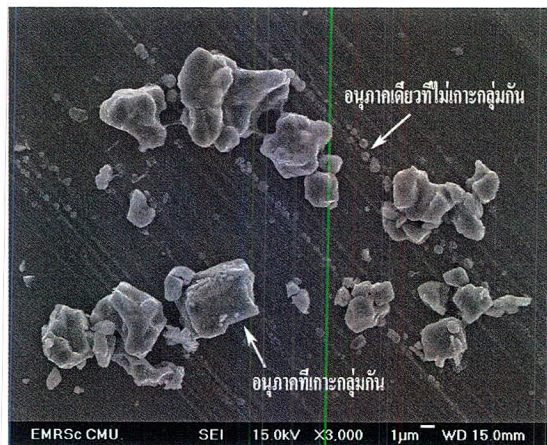
รูป 4.62 รูปลักษณะของผงก่อนเผาเคลื่อนไหวครั้งที่ 1 และครั้งที่ 2 โดยทั่วไปแล้วทุกส่วนผสมจะมีลักษณะก่อนเผาเหมือนกันหมด จึงยกมาแค่บางรูปเพื่อเป็นตัวอย่าง



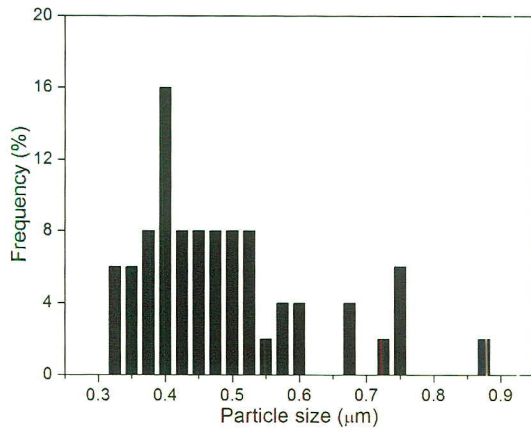
รูป 4.63 รูปแบบการเลี้ยวเบนรังสีเอกซ์ของผง BNZ/ $x\text{Na}_2\text{CO}_3$ ผ่านการบดให้เนื้อละเอียด และเผาเคลื่อนอิสระครั้ง

4.3.1.5 การวิเคราะห์ลักษณะสัณฐาน ขนาด และการกระจายตัวของอนุภาคผงเซรามิกบิสมัทไซเดียมเซอร์โคเนต

ภาพถ่ายกล้องจุลทรรศน์อิเล็กตรอนแบบส่องการดู (SEM) ของผงเซรามิกบิสมัทไซเดียมเซอร์โคเนตแสดงในรูป 4.64 เน้นได้ว่า ผงเซรามิกประกอบด้วยห้องอนุภาคที่เกากรุ่ม (agglomeration) และไม่เกากรุ่มกัน โดยการเกากรุ่มกันของอนุภาคเป็นแผ่นขนาดใหญ่ คาดว่า เกิดจากการเพิ่มความเสถียรของระบบโดยรวม โดยการลดพื้นที่ผิวสัมผัสของแต่ละอนุภาค เนื่องจากอนุภาคของผงเซรามิกดังกล่าวมีขนาดเล็กในระดับไมโครเมตร จึงมีพื้นที่ผิวสัมผัสด้อยกว่าอนุภาคขนาดใหญ่ นอกเหนือจาก SEM ดังกล่าวยังแสดงอนุภาคผงเซรามิก BNZ เดียวๆ ที่ไม่เกากรุ่มกันด้วย ลักษณะของผงเซรามิกค่อนข้างเป็นทรงกลม มีขนาดอนุภาคเฉลี่ยประมาณ $0.47 \mu\text{m}$ การท่ออนุภาคผงมีขนาดเล็ก นำไปสู่การเกากรุ่มกันได้ง่าย รูป 4.65 แสดงการกระจายตัวของขนาดอนุภาคผงเซรามิก BNZ พบว่า ขนาดผงเซรามิกระบบที่มีการกระจายตัวค่อนข้างกว้าง โดยมีขนาดอนุภาคอยู่ในช่วงประมาณ $0.32 - 0.87 \mu\text{m}$ อนุภาคผงส่วนใหญ่มีขนาดประมาณ $0.4 \mu\text{m}$ สอดคล้องกับขนาดอนุภาคเฉลี่ยที่ได้กล่าวข้างบน จากลักษณะการกระจายตัวของอนุภาคผงที่ค่อนข้างกว้าง คาดว่า อาจมีผลต่อลักษณะโครงสร้างทางจุลภาคเซรามิก BNZ ซึ่งจะได้ศึกษาในอนาคตอันใกล้นี้



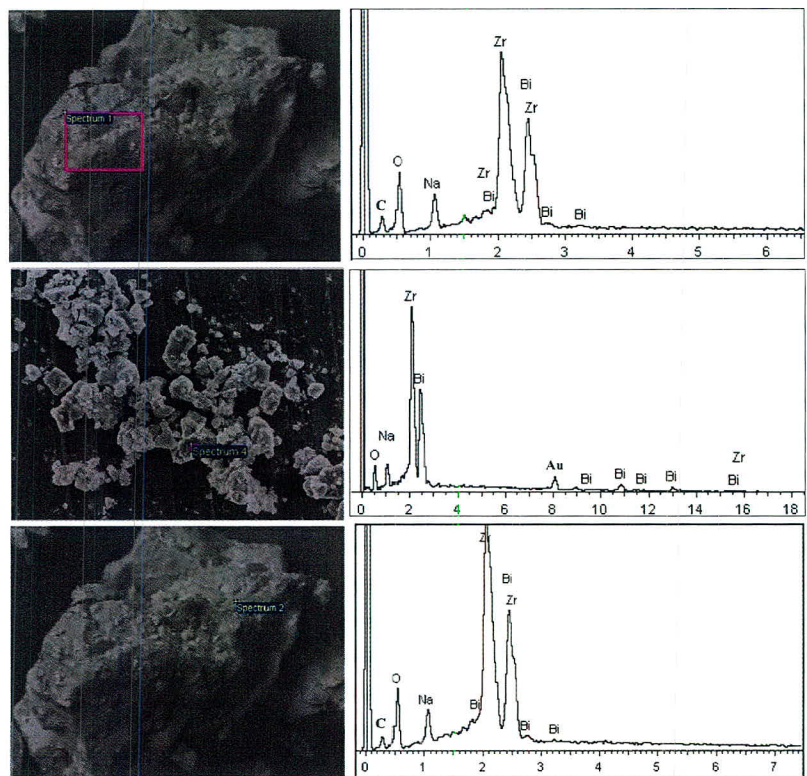
รูป 4.64 ภาพถ่าย SEM ของผง BNZ



รูป 4.65 การกระจายตัวขนาดของผง BNZ

4.3.1.6 การวิเคราะห์องค์ประกอบทางเคมีของผงเซรามิกบิสมัทโซเดียมเซอร์โคเนต

รูป 4.66 แสดงบริเวณของผงเซรามิก BNZ ที่วิเคราะห์ด้วยเทคนิคการกระจายพลังงานของรังสีเอกซ์ (X-ray energy dispersive technique) ทั้งแบบจุดและพื้นที่ พบว่า ผงเซรามิกประกอบด้วยสเปกตรัมของธาตุ Bi, Na, Zr และ O เป็นหลัก หลักฐานดังกล่าวอ้างอิงยังเป็นอย่างดีว่า ผงเซรามิกบิสมัทโซเดียมเซอร์โคเนต มีธาตุ Bi, Na, Zr และ O เป็นองค์ประกอบหลัก นอกจากนี้ปริมาณของธาตุแต่ละชนิดที่วัดได้จากบริเวณดังกล่าวในหน่วยร้อยละของอะตอมได้แสดงในตาราง 4.24 เห็นได้ว่า ปริมาณของแต่ละธาตุที่วัดได้มีค่าโดยประมาณใกล้เคียงกับปริมาณทางทฤษฎีของแต่ละธาตุ ผลดังกล่าว เชื่ออย่างยิ่งว่า ผงเซรามิก BNZ ที่เตรียมได้มีอัตราส่วนของธาตุเป็นไปตามสูตรโมเลกุลที่ต้องการดังนี้ $(Bi_{0.5}Na_{0.5})ZrO_3$



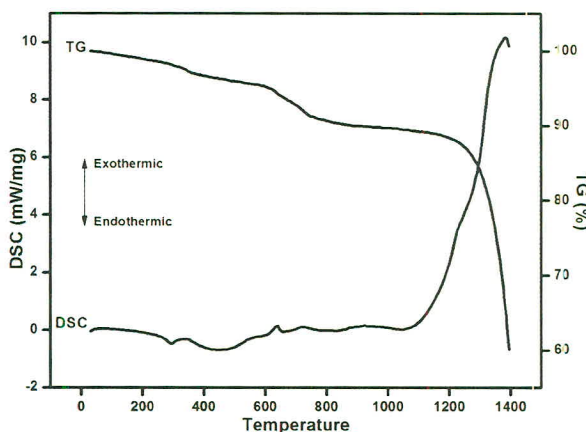
รูป 4.66 การวิเคราะห์ EDX ของผง BNZ

ตาราง 4.24 ปริมาณธาตุที่เป็นองค์ประกอบทางทฤษฎีและที่วัดด้วย EDX

ธาตุ	Atomic%	Theoretical atomic%
Bi	11.41 ± 0.79	10
Na	11.21 ± 2.28	10
Zr	20.04 ± 3.46	20
O	57.35 ± 2.43	60
รวม	100	100

4.3.1.7 การเปลี่ยนแปลงทางความร้อนของผงผสมบิสมัทโซเดียมเซอร์โคเนตก่อนแคลไชน์

รูป 4.67 แสดงการเปลี่ยนแปลงทางความร้อนของผงผสม BNZ ก่อนแคลไชน์ จากกราฟ DSC พบว่า ผงผสม BNZ มีการเปลี่ยนแปลงทั้งแบบดูดความร้อน (endothermic) และแบบขายความร้อน (exothermic) โดยพีคการเปลี่ยนแปลง endothermic เกิดขึ้นใกล้กับอุณหภูมิ $300\text{ }^{\circ}\text{C}$ อาจเนื่องจาก การระเหยของสารอินทรีย์ที่ป่นเป็นอนุภาคในผงผสมดังกล่าว เมื่อพิจารณากราฟ TG เห็นได้ว่า มีน้ำหนักหายไปประมาณ 1.44% ใกล้กับการเปลี่ยนแปลงดังกล่าวด้วย ในกรณีของการเปลี่ยนแปลง exothermic พบว่า ปฏิกิริยาณีเกิดขึ้นที่อุณหภูมิประมาณ $640\text{ }^{\circ}\text{C}$ คาดว่า อุณหภูมนี้อาจมีผลลัพธ์สูง พอก ทำให้มีการแพร์ออกไซด์ออกมายในสารประกอบ จึงเริ่มนีกการตกผลึกเป็นสารประกอบเซรามิก BNZ ดังนั้น การเกิดผลึกของสารประกอบนี้เมื่อเริ่มที่อุณหภูมิดังกล่าว และอาจเสร็จสมบูรณ์ที่อุณหภูมิ $800\text{ }^{\circ}\text{C}$ ดังหัวข้อ 4.1.1.1 สำหรับการหายไปของน้ำหนักประมาณ 4.09% สงเกตในกราฟ TG ที่ บริเวณอุณหภูมิใกล้กัน คาดว่า เป็นการหายไปของก้าชคาร์บอนไดออกไซด์ (CO_2) จากผงดังต้น Na_2CO_3 ตามสมการ 4.1 เนื่องจากออกไซด์ดังกล่าวสามารถตัดที่อุณหภูมิสูงกว่า $600\text{ }^{\circ}\text{C}$ [55] นอกจากนี้ น้ำหนักที่หายไปของ CO_2 คาดว่าห่างการทดลองมีค่าประมาณ 4.24% ซึ่งสอดคล้องกับ น้ำหนักที่หายไปในกราฟ TG จากผลของ TG-DSC สามารถยืนยันได้อย่างเดียวผงผสม BNZ มีการตกผลึกเป็นสารประกอบระบบใหม่ BNZ ที่อุณหภูมิสูง



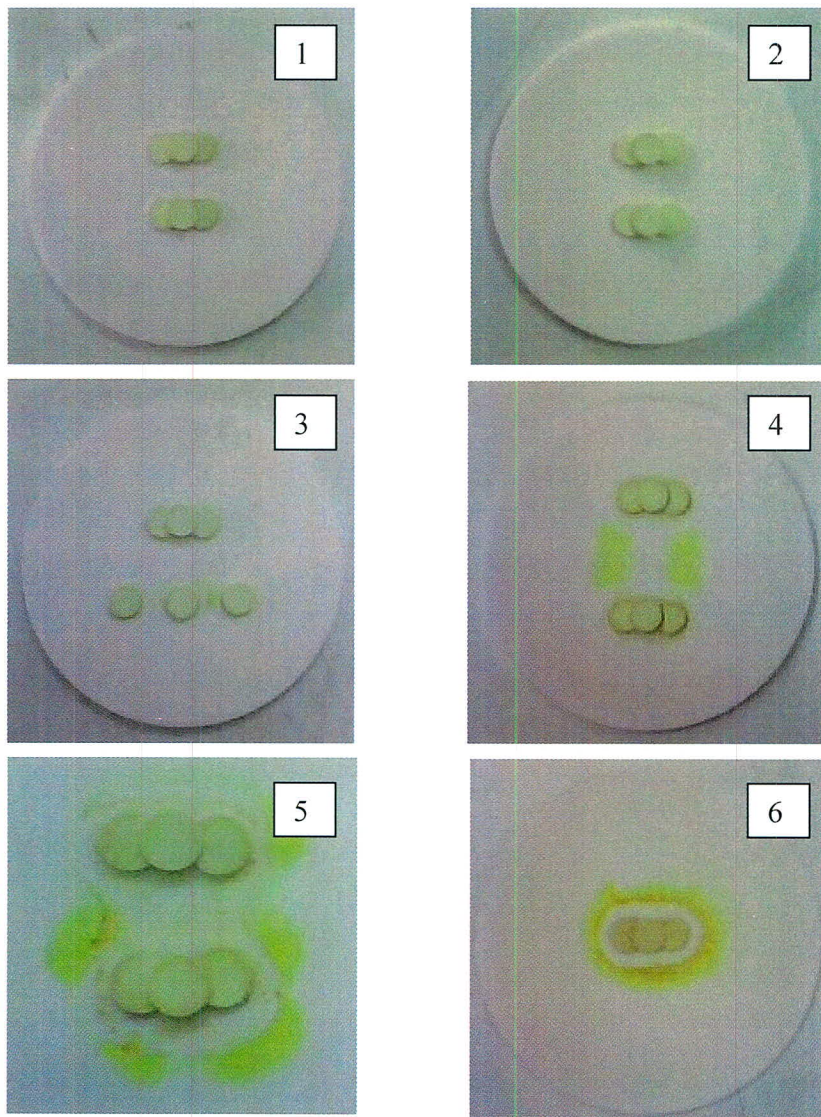
รูป 4.67 กราฟ TG-DSC ของผงผสม BNZ ก่อนแคลไชน์



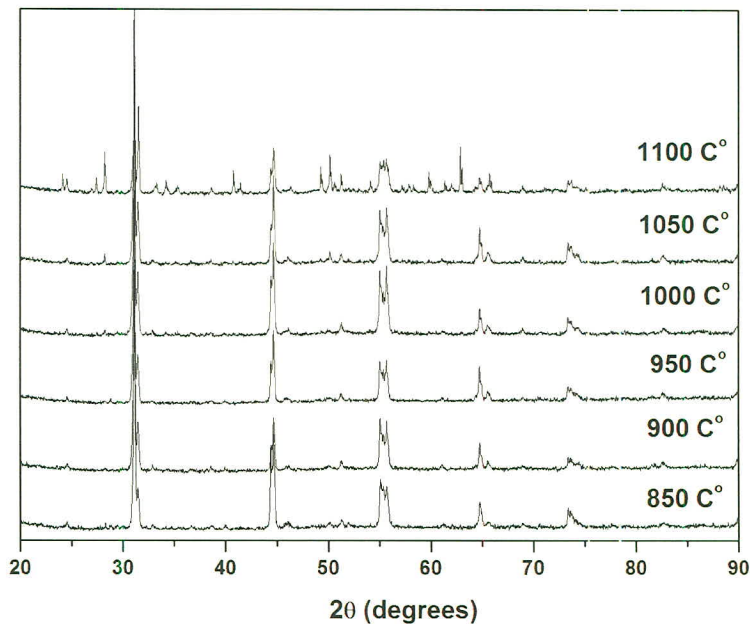
4.3.2 ผลการการเตรียมเซรามิก BNZ

จากการทดลองพบว่า สภาพที่สามารถเผาให้เซรามิกมีความบริสุทธิ์และความหนาแน่น สูง คือการเผาที่อุณหภูมิ $900\text{ }^{\circ}\text{C}$ เป็นเวลา 2 ชั่วโมง โดยใช้ตัวช่วยเผา (sintering aid) คือ Na_2CO_3

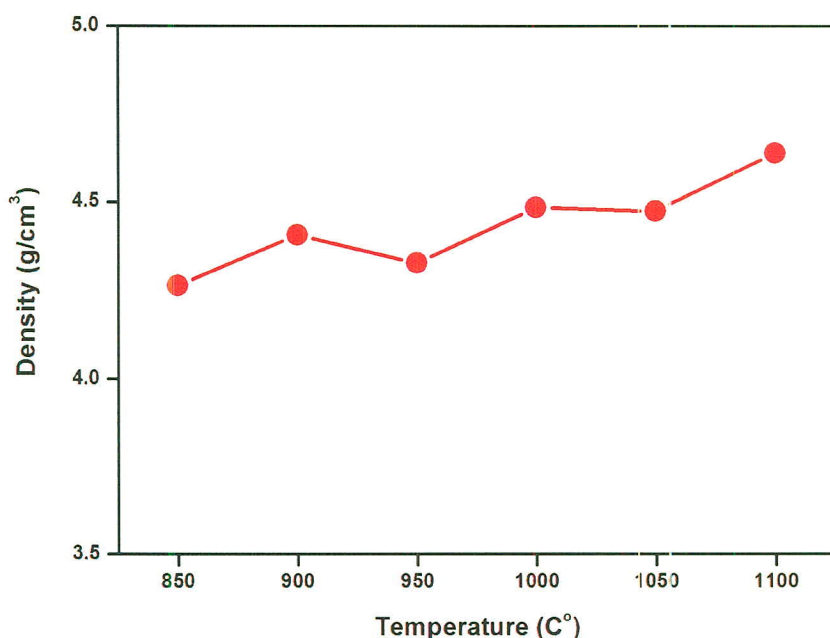
4.3.2.1 เผาเซรามิกที่อุณหภูมิต่างๆ โดยใช้ BNZ/10wt% Na_2CO_3



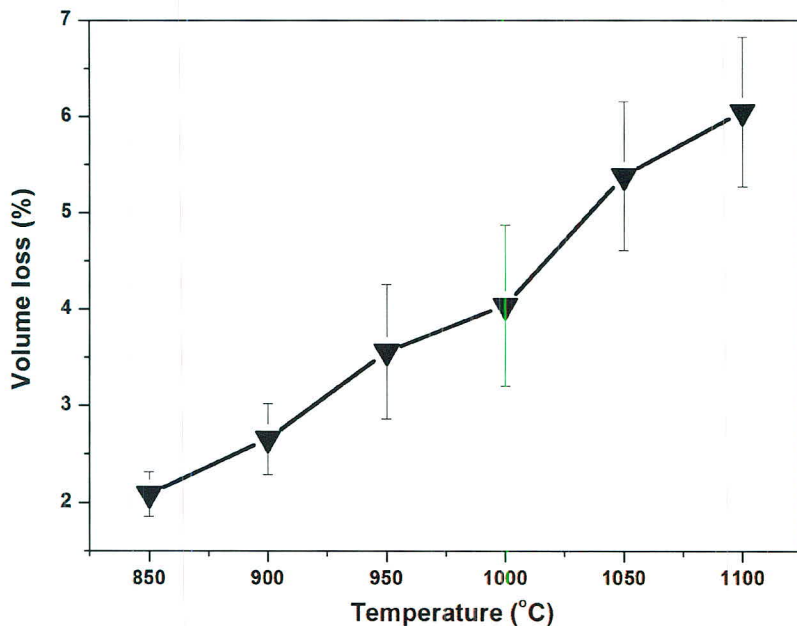
รูป 4.68 เซรามิก BNZ/10wt% Na_2CO_3 เผาที่อุณหภูมิ (1) 850, (2)900, (3) 950, (4)1000, (5) 1050 และ (6) 1100 องศา ตามลำดับ



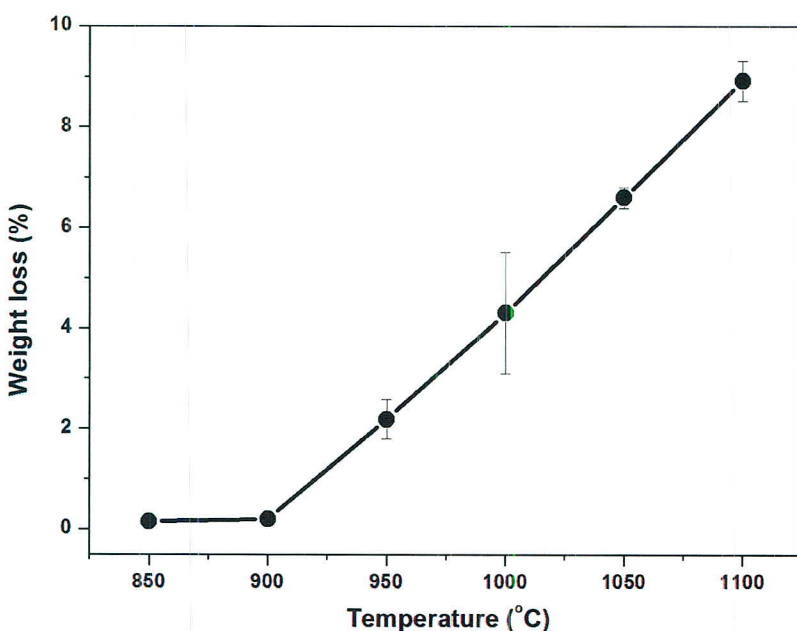
รูป 4.69 XRD ของเซรามิก BNZ/10wt% Na_2CO_3 เผาที่อุณหภูมิ 850, 900, 950, 1000, 1050 และ 1100 องศา



รูป 4.70 ค่าความหนาแน่นของเซรามิก BNZ/10wt% Na_2CO_3 เผาที่อุณหภูมิ 850, 900, 950, 1000, 1050 และ 1100 องศา

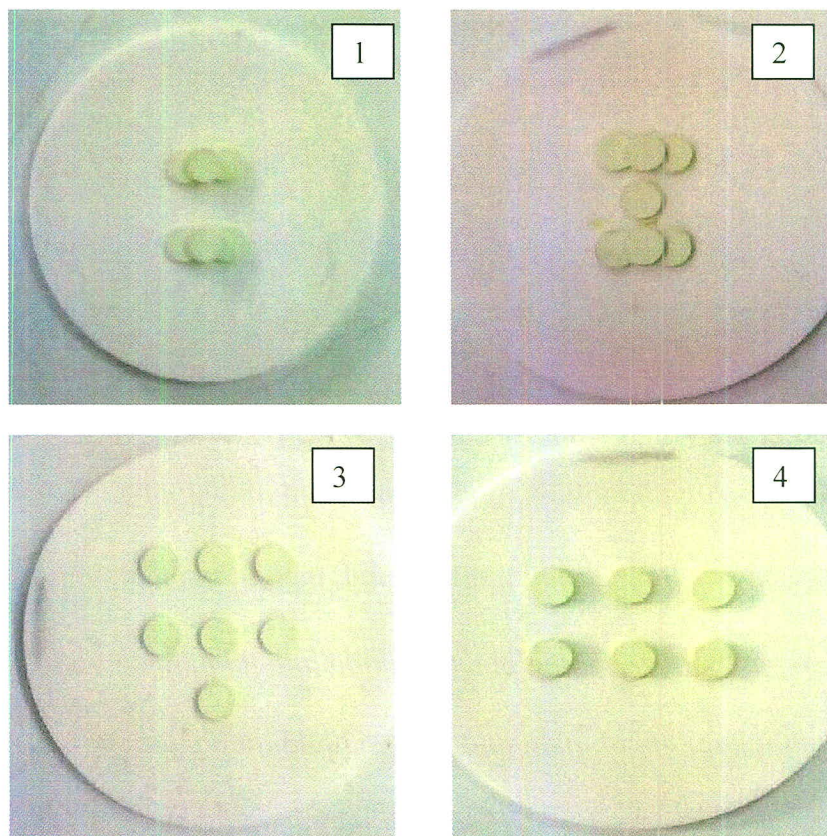


รูป 4.71 ค่าร้อยละของปริมาตรที่หายไปของเซรามิก BNZ/10wt% Na_2CO_3 เมื่อที่อุณหภูมิ 850, 900, 950, 1000, 1050 และ 1100 องศา

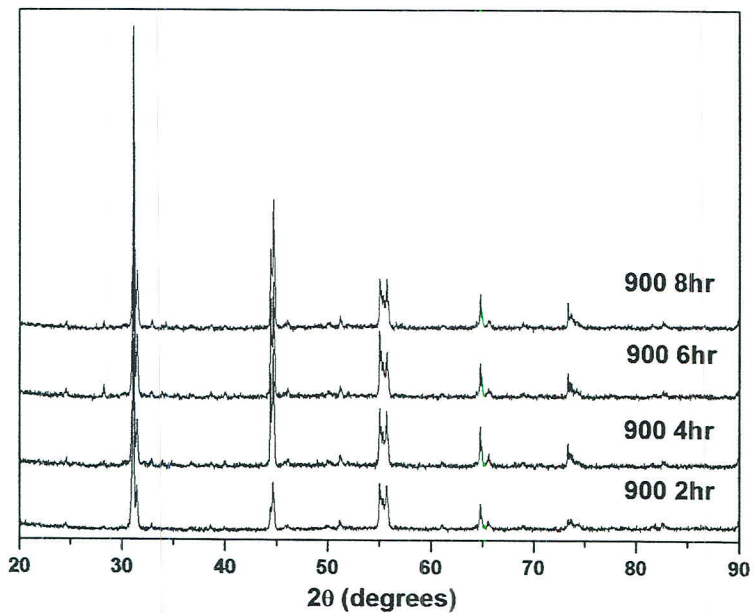


รูป 4.72 ค่าร้อยละของน้ำหนักที่หายไปของเซรามิก BNZ/10wt% Na_2CO_3 เมื่อที่อุณหภูมิ 850, 900, 950, 1000, 1050 และ 1100 องศา

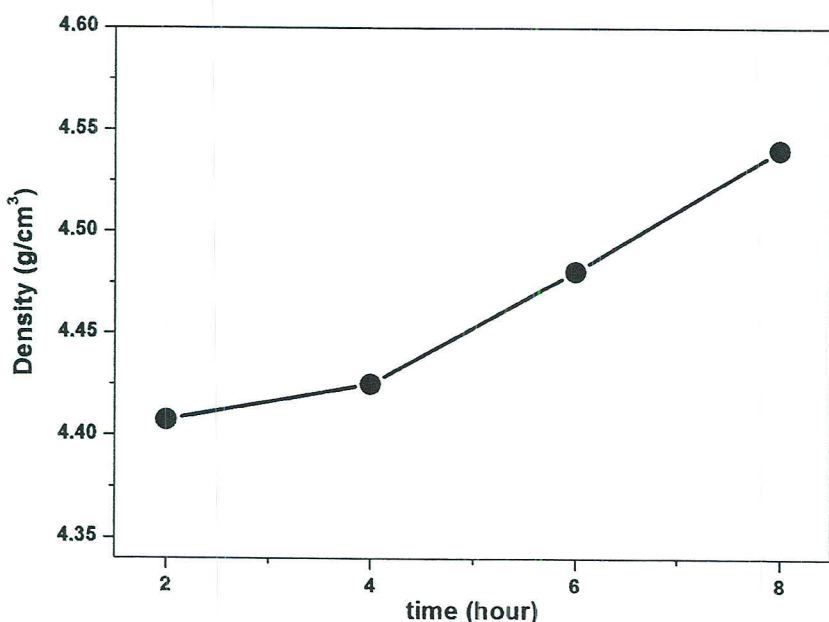
4.3.2.2 เผาเซรามิกที่อุณหภูมิ 900 องศาและเปลี่ยนแปลงเวลาในการเผา โดยใช้ BNZ/10wt% Na_2CO_3



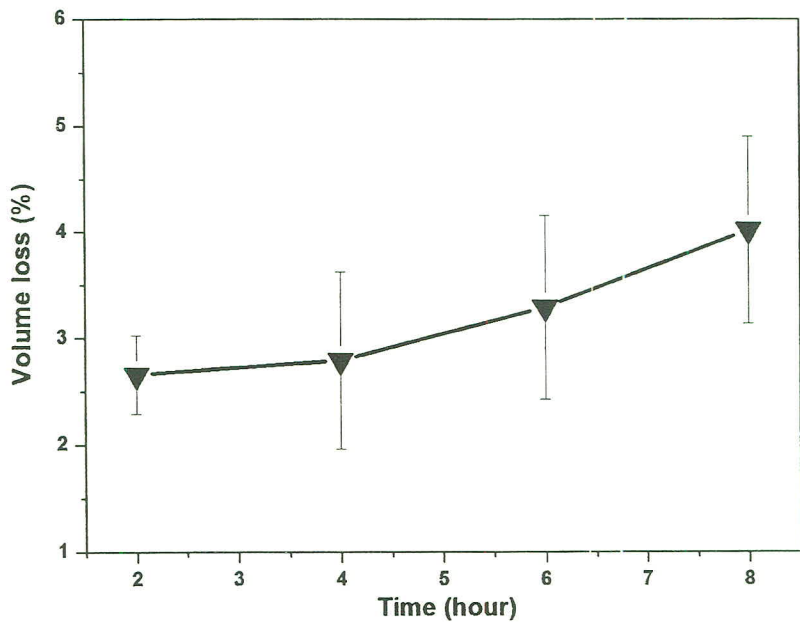
รูป 4.73 เซรามิก BNZ/10wt% Na_2CO_3 เผาที่อุณหภูมิ 900 องศา โดยเพิ่มเวลาในการเผาคือ (1) 2, (2) 4, (3) 6 และ (4) 8 ชั่วโมง ตามลำดับ



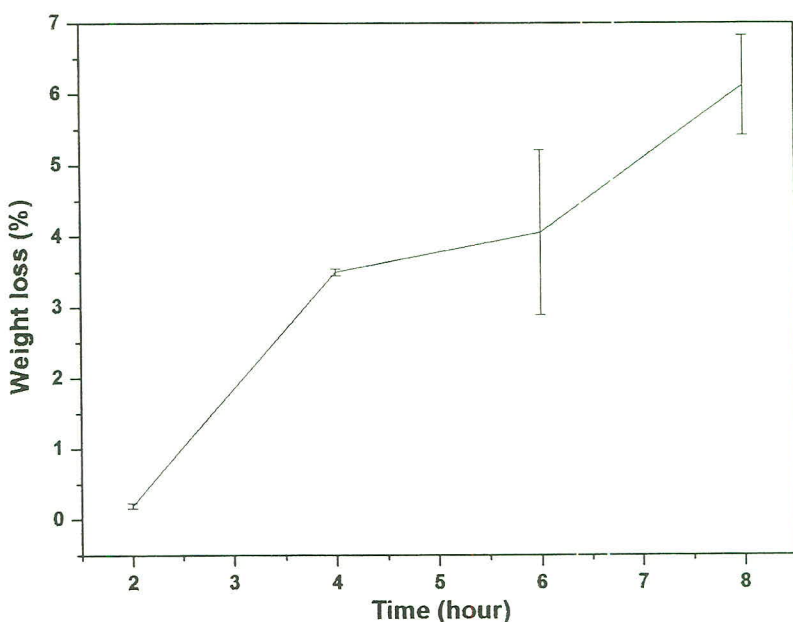
รูป 4.74 XRD เม็ดเซรามิก BNZ/10wt%Na₂CO₃ เผาที่อุณหภูมิ 900 องศา โดยเพิ่มเวลาในการเผาคือ 2, 4, 6 และ 8 ชั่วโมง



รูป 4.75 ค่าความหนาแน่นของเม็ดเซรามิก BNZ/10wt%Na₂CO₃ เผาที่อุณหภูมิ 900 องศา โดยเพิ่มเวลาในการเผาคือ 2, 4, 6 และ 8 ชั่วโมง



รูป 4.77 ค่าร้อยละของปริมาตรที่หายไปของเม็ดเซรามิก BNZ/10wt% Na_2CO_3 เมาที่อุณหภูมิ 900 องศา โดยเพิ่มเวลาในการเผาคือ 2, 4, 6 และ 8 ชั่วโมง

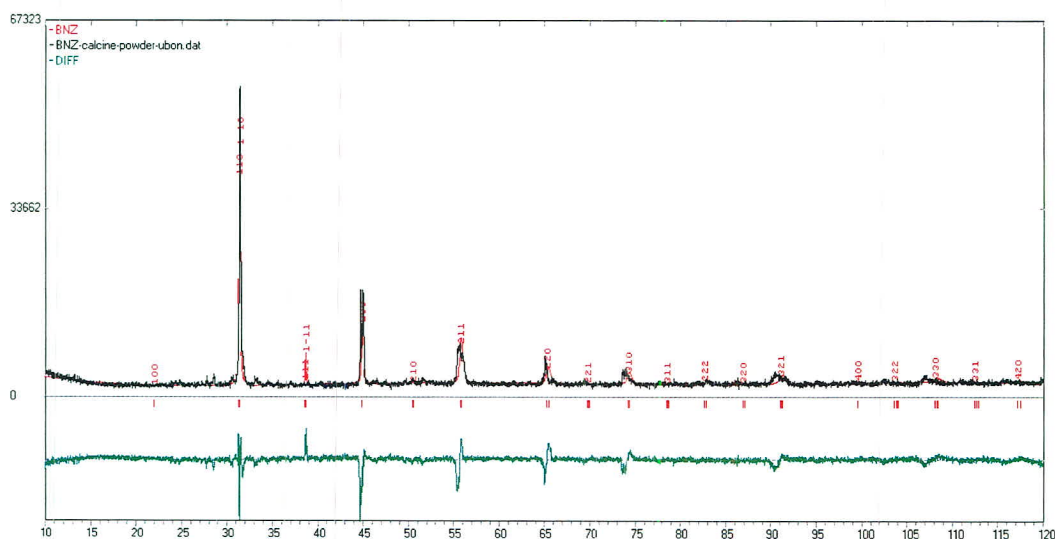


รูป 4.78 ค่าร้อยละของน้ำหนักที่หายไปของเม็ดเซรามิก BNZ/10wt% Na_2CO_3 เมาที่อุณหภูมิ 900 องศา โดยเพิ่มเวลาในการเผาคือ 2, 4, 6 และ 8 ชั่วโมง

4.3.3 การวิเคราะห์โครงสร้างผลึกของผง $\text{Bi}_{0.5}\text{Na}_{0.5}\text{ZrO}_3$ โดยวิธีเรียทเวล์ด์

การเลือกใช้ข้อมูลโครงสร้างผลึกเริ่มต้น

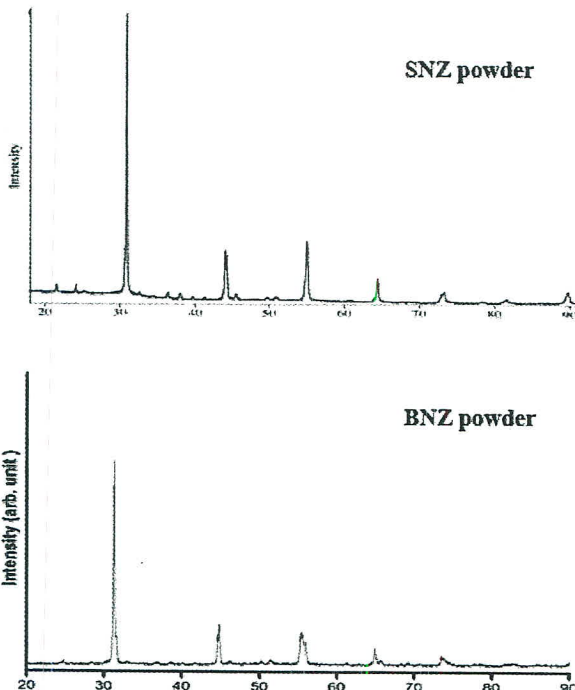
สำหรับการวิเคราะห์โครงสร้างผลึกของผง $\text{Bi}_{0.5}\text{Na}_{0.5}\text{ZrO}_3$ นั้น ในเบื้องต้นได้ทดสอบการหาโครงสร้างผลึกโดยใช้โปรแกรม Powder Cell ซึ่งพบว่า สมมติฐานที่ว่าสารนี้มีโครงสร้างเป็นรูมบิ耶็ค Roln นั้น อาจจะไม่ถูกต้องนัก ดังแสดงในรูป 4.78 เนื่องจากพีคสีดำที่มาจากการทดลองไม่สามารถเทียบได้กับพีคสีแดงที่มาจากการแบบจำลองที่สร้างขึ้นได้หมดทุกพีค โดยจะสังเกตได้จากการพีคสีเขียวซึ่งแสดงให้เห็นว่ายังมีความแตกต่างอยู่มาก ดังนั้น จึงต้องมีการวิเคราะห์ต่อไปว่า สารนี้จะมีโครงสร้างแบบอื่นๆ เต็มที่ หรือไม่ นอกจากนี้ ผลของเฟสปนเป็นอนก้าจะทำให้การวิเคราะห์โครงสร้างผลึกผิดพลาดไปได้ จึงต้องมีการปรับปรุงกระบวนการผลิตไปพร้อมๆ กับการวิเคราะห์โครงสร้างผลึกโดยละเอียดด้วย



รูป 4.78 การวิเคราะห์โครงสร้างผลึกของผง $\text{Bi}_{0.5}\text{Na}_{0.5}\text{ZrO}_3$ โดยวิธีเรียทเวล์ด์

จากขั้นตอนการศึกษาโครงสร้างผลึกด้วยโปรแกรม Powder Cell ที่ได้กล่าวในบทที่ 3 ข้อมูลผงเซรามิกส่วนอนเตียนโซเดียมเซอร์โคเนต (SNZ) ที่เตรียมโดย M. V. Makarova และคณะ [55] ในปี 2003 ถูกเลือกใช้เพื่อเป็นข้อมูลเริ่มต้น สำหรับการศึกษาโครงสร้างผลึกของผงเซรามิกระบบใหม่บิสมัทโซเดียมเซอร์โคเนต (BNZ) เป็นจากผง SNZ มีรูปแบบการเลี้ยวเบนรังสีเอกซ์ที่ใกล้เคียงกับผงเซรามิก BNZ นอกจากนี้ M. V. Makarova และคณะ ได้รายงานว่าสารประกอบ SNZ มีโครงสร้างเป็นเพอร์โวฟสไกท์ (perovskite structure; ABO_3) โดยมีไอออนของโซเดียม (Na^+) และ สารอนเตียน (Sr^{2+})

บรรจุตระหง่าน A ในโครงสร้าง ไอโอนของเซอร์โคเนียม (Zr^{4+}) บรรจุตระหง่าน B ในโครงสร้าง
จากข้อมูลดังกล่าว คาดว่า สารประกอบ BNZ น่าจะมีโครงสร้างเป็น perovskite เมื่อเทียบกับ
สารประกอบ SNZ โดยต่างกันตรงไอโอนบิสมัท (Bi^{3+}) และ Sr^{2+} ณ ตำแหน่ง A ในโครงสร้าง จากการ
พิจารณาขนาดของหน่วยเซลล์ พบร่องรอยของหน่วยเซลล์ของผงเซรามิก BNZ เล็กกว่าหน่วยเซลล์ของผง
เซรามิก SNZ เพราะรัศมีไอโอน (ionic radius) ของ Bi^{3+} เท่ากับ 1.18 Å [42] มีค่าน้อยกว่ารัศมี
ไอโอนของ Sr^{2+} [42] ซึ่งมีค่าเท่ากับ 1.26 Å ลักษณะดังกล่าวทำให้ขนาดหน่วยเซลล์ของ BNZ เล็ก
กว่า SNZ รูป 4.79 แสดงการเปรียบเทียบรูปแบบการเลี้ยวเบนรังสีเอกซ์ของผง SNZ และ BNZ เห็นได้
ว่า รูปแบบการเลี้ยวเบนรังสีเอกซ์ของผงทั้งสองค่อนข้างมีลักษณะคล้ายกัน อย่างไรก็ตาม มีความ
แตกต่างเล็กน้อยตรงตำแหน่งของพีคการเลี้ยวเบนของ BNZ ที่ต่ำเมื่อจะเลื่อนไปทางด้านขวา[†]
เล็กน้อย สามารถเห็นได้ชัดเจนตรงตำแหน่งพีคการเลี้ยวเบนความเข้มสูงสุดที่มุมไอล์ก 30° คาดว่า[‡]
การเลื่อนไปทางด้านขวาของพีคดังกล่าวในรูปแบบการเลี้ยวเบนรังสีเอกซ์ของ BNZ เป็นผลมาจากการ
ขนาดหน่วยเซลล์ของ BNZ ที่เล็กกว่า SNZ จากหลักฐานลักษณะรูปแบบการเลี้ยวเบนรังสีเอกซ์ที่
เหมือนกัน และการพิจารณาความแตกต่างขนาดหน่วยเซลล์ของผงเซรามิกทั้ง SNZ และ BNZ เชื่อว่า[§]
ผงเซรามิกระบบใหม่ BNZ น่าจะมีโครงสร้างเป็น perovskite มีระบบผลึก (crystal system), สมมاثร
ผลึก (space group) และผลตทิพารามิเตอร์ต่างๆ (lattice parameters) ใกล้เคียงกับผงเซรามิก
SNZ ด้วย



รูป 4.79 รูปแบบการเลี้ยวเบนรังสีเอกซ์ของผง SNZ และ BNZ

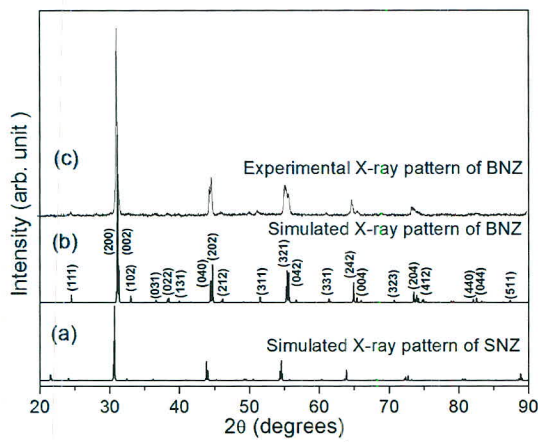
การวิเคราะห์รูปแบบการเลี้ยวเบนรังสีเอกซ์ที่ได้จากการทดลอง

ตาราง 4.25 แสดงข้อมูลโครงสร้างผลึกของผงเซรามิก SNZ และรูป 4.80(a) แสดงรูปแบบการเลี้ยวเบนรังสีเอกซ์ของผงเซรามิก SNZ ที่จำลองจากข้อมูลเหล่านี้โดยโปรแกรม Powder Cell เห็นได้ว่ารูปแบบการเลี้ยวเบนรังสีเอกซ์จำลองดังกล่าวค่อนข้างคล้ายกับรูปแบบการเลี้ยวเบนรังสีเอกซ์ของผง SNZ (รูป 4.79) ที่รายงานโดย M. V. Makarova และคณะ [55] จากผลดังกล่าว เชื่อว่ารูปแบบการเลี้ยวเบนรังสีเอกซ์ที่จำลองด้วยโปรแกรม Powder Cell มีความถูกต้องเพียงพอสำหรับใช้ในการศึกษาโครงสร้างผลึกของวัสดุ เมื่อพิจารณาข้อมูลโครงสร้างผลึกของ SNZ และการศึกษาในหัวข้อ 4.1.2.1 คาดว่า ผงเซรามิก BNZ น่าจะมีระบบผลึกเป็นอโธรมบิก (orthorhombic) และสมมาตรผลึกคือ Pnma เนื่องจากผงเซรามิก SNZ ด้วยอย่างไรก็ตาม คาดว่าหน่วยเซลล์ของ BNZ ควรจะบิดเบี้ยวไปจากหน่วยเซลล์ของ SNZ เนื่องจากความแตกต่างของชนิด และขนาดไอออน Bi^{3+} และ Sr^{2+} ณ ตำแหน่ง A ในโครงสร้างของสารประกอบทั้งสอง รูป 4.80(b) แสดงรูปแบบการเลี้ยวเบนรังสีเอกซ์จำลองของผงเซรามิก BNZ พ布ว่า รูปแบบการเลี้ยวเบนจำลองดังกล่าวเลื่อนไปทางด้านขวาเล็กน้อย

เมื่อเปรียบเทียบกับรูปการเลี้ยวเบนจำลองของ SNZ ในรูป 4.80(a) เนื่องจากขนาดหน่วยเซลล์ของ BNZ เล็กกว่าหน่วยเซลล์ของ SNZ หลักฐานนี้สามารถยืนยันเป็นอย่างดีถึงขนาดหน่วยเซลล์ของ BNZ ที่เล็กกว่าหน่วยเซลล์ของ SNZ รูป 4.80(c) แสดงรูปแบบการเลี้ยวเบนรังสีเอกซ์ของ BNZ ที่ได้รับมาจากการทดลองนี้ โดยใช้รังสี CuK_{α_1} ในการวิเคราะห์ และ 2θ step เท่ากับ 0.02 เมื่อนับเงื่อนไขการศึกษาของ M. V. Makarova ในตาราง 4.25 เมื่อเปรียบเทียบรูปแบบการเลี้ยวเบนรังสีเอกซ์ของ BNZ จากการทดลอง และแบบจำลอง รูป 4.80(b) และ 4.80(c) เห็นได้ว่า ลักษณะรูปแบบการเลี้ยวเบนทั้งสองค่อนข้างใกล้เคียงกัน จึงเชื่อว่า รูปแบบจำลองนี้เป็นรูปแบบการเลี้ยวเบนรังสีเอกซ์ของ BNZ ข้อมูลโครงสร้างผลึกของเซรามิก BNZ ได้จากการศึกษาด้วยโปรแกรม Powder Cell และในตาราง 4.26 ตั้งนั้นสารประกอบเซรามิกระบบใหม่ BNZ มีโครงสร้างเป็น orthorhombic มี space group คือ Pnma มีขนาดความยาวแกน a, b และ c เท่ากับ 5.7742, 8.1443 และ 5.7037 Å ตามลำดับ และมีความหนาแน่นทางทฤษฎีเท่ากับ 6.353 g/cm^3

ตาราง 4.25 ข้อมูลโครงสร้างผลึกของเซรามิก SNZ [55]

Crystal system	orthorhombic
Space group	Pnma
Radiation	CuK_{α_1}
2θ step, deg	0.02
a axis length, Å	5.8542
b axis length, Å	8.2137
c axis length, Å	5.8237
Cell Volume, Å	280.03



รูป 4.80 รูปแบบการเลี้ยวเบนรังสีเอกซ์ของผงเซรามิก เมื่อ (a) คือ รูปแบบจำลองของผง SNZ, (b) คือ รูปแบบจำลองของผง BNZ และ (c) คือ รูปแบบการเลี้ยวเบนของผง BNZ ที่ได้จากการทดลอง

ตาราง 4.26 ข้อมูลโครงสร้างผลึกของผงเซรามิก BNZ

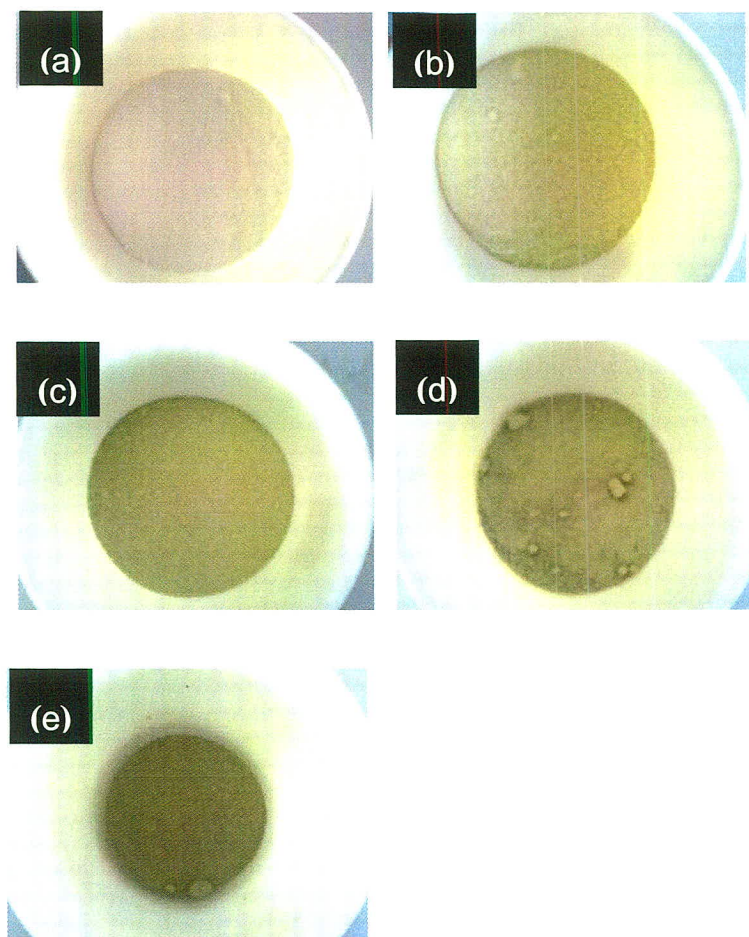
Crystal system	orthorhombic
Space group	Pnma
Radiation	CuK_{α_1}
2θ step, deg	0.02
a axis length, Å	5.7742
b axis length, Å	8.1443
c axis length, Å	5.7037
Cell Volume, Å	268.23

4.4 สารบิสมัทโซเดียมไทดีอโนโคบอล์ด์ ($\text{Bi}_{0.5}\text{Na}_{0.5}\text{Ti}_{1-x}\text{Co}_x\text{O}_{3-x}$)

4.4.1 ผลการเตรียมผง $\text{Bi}_{0.5}\text{Na}_{0.5}\text{Ti}_{1-x}\text{Co}_x\text{O}_{3-x}$

4.4.1.1 ผลการตรวจสอบสมบัติทางกายภาพของผง $\text{Bi}_{0.5}\text{Na}_{0.5}\text{Ti}_{1-x}\text{Co}_x\text{O}_{3-x}$

เมื่อนำสาร $\text{Bi}_{0.5}\text{Na}_{0.5}\text{Ti}_{1-x}\text{Co}_x\text{O}_{3-x}$ ที่ปริมาณการเจือ Co เท่ากับ 0.005, 0.010, 0.020 และ 0.030 เศษส่วนโดยไมล ไปเผาแคลไชน์ที่อุณหภูมิ 800°C พบว่า ที่ปริมาณ Co เพิ่มขึ้นสีของสารมีการเปลี่ยนแปลงเป็นสีเหลืองเมื่อเทียบกับ BNT บริสุทธิ์ และสีเข้มขึ้นจนมีสีน้ำตาลเทาเมื่อปริมาณ Co เท่ากับ 0.030 ดังรูป 4.81 (a) - (e)

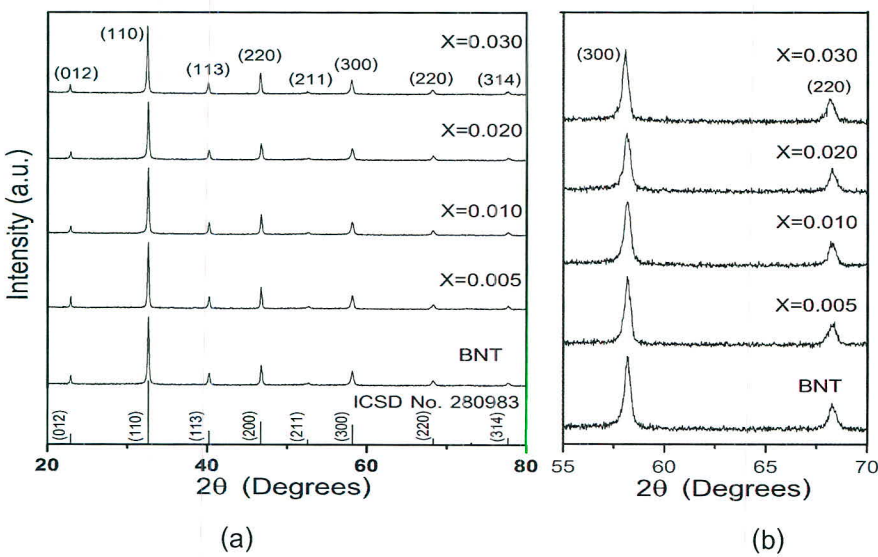


รูป 4.81 ลักษณะของหลังการแคลไชน์ $\text{Bi}_{0.5}\text{Na}_{0.5}\text{Ti}_{1-x}\text{Co}_x\text{O}_{3-x}$ เมื่อปริมาณ Co เท่ากับ
(a) 0.000 (b) 0.005 (c) 0.010 (d) 0.02 (e) 0.03 เศษส่วนโดยไมล

4.4.1.2 ผลการตรวจสอบโครงสร้างผลึกของผง

ในการสังเคราะห์ผง $\text{Bi}_{0.5}\text{Na}_{0.5}\text{Ti}_{1-x}\text{Co}_x\text{O}_{3-x}$ ใช้อุณหภูมิแคลร์ไนท์ 800°C เป็นเวลา 2 ชั่วโมง โดยมีปริมาณ Co เท่ากับ 0.005 0.0010 0.020 และ 0.030 เศษส่วนโดยไมล ซึ่งโดยปกติสารบิสมัท ใชเดิมในไทด์เนต หรือ BNT ($\text{Bi}_{0.5}\text{Na}_{0.5}\text{TiO}_3$) จะมีโครงสร้างแบบเพอร์อฟสไกต์ที่สูตรไม่เลกูลคือ ABO_3 แต่เนื่องจากการเติม Co เข้าไปในโครงสร้างของ BNT ทำให้ไอออนของ Co ต้องมีการเข้าไปแทนที่ไอออนในโครงสร้างเพื่อให้เกิดเป็นสารละลายของแข็ง (solid solution) เมื่อพิจารณาขนาด ไอออนพบว่า ไอออน Co ($r_{\text{Co}^{2+}} = 0.72 \text{ \AA}$) มีขนาดใกล้เคียงกับไอออน Ti ($r_{\text{Ti}^{4+}} = 0.61 \text{ \AA}$) มากที่สุด ดังนั้น ไอออน Co จึงน่าจะเข้าไปแทนที่ไอออน Ti ซึ่งเป็นตำแหน่ง B ของสาร BNT ซึ่งเป็นการแทนที่ของไอออนที่มีค่ามวลซึ่งไม่เท่ากัน โดย Co และ Ti มีประจุของไอออน คือ 2+ และ 4+ ตามลำดับ

จากการทดลองพบว่ารูปแบบการเลี้ยวเบนของรังสีเอกซ์ของผง $\text{Bi}_{0.5}\text{Na}_{0.5}\text{Ti}_{1-x}\text{Co}_x\text{O}_{3-x}$ ดังรูป 4.82 (a) ผงทุกอัตราส่วนการเจือ Co มีโครงสร้างเป็นแบบรอมบิยิดอลตรงกับ ICSD หมายเลข 280983 และแม่พิมพ์แบบแบลอกป้อมเกิดขึ้นนอกจากานี้สังเกตได้ว่าพีคเกิดการเลื่อนไปทางซ้ายทั้งระบบ เล็กน้อย ดังรูป 4.82 (b) เนื่องมาจากการแทนที่ของไอออน Co ตรงตำแหน่งของไอออน Ti ซึ่งขนาดใหญ่กว่า จึงส่งผลทำให้เกิดการขยายตัวของโครงสร้างผลึก และมีการขยายตัวเพิ่มขึ้นตามปริมาณ Co ที่เพิ่มขึ้น

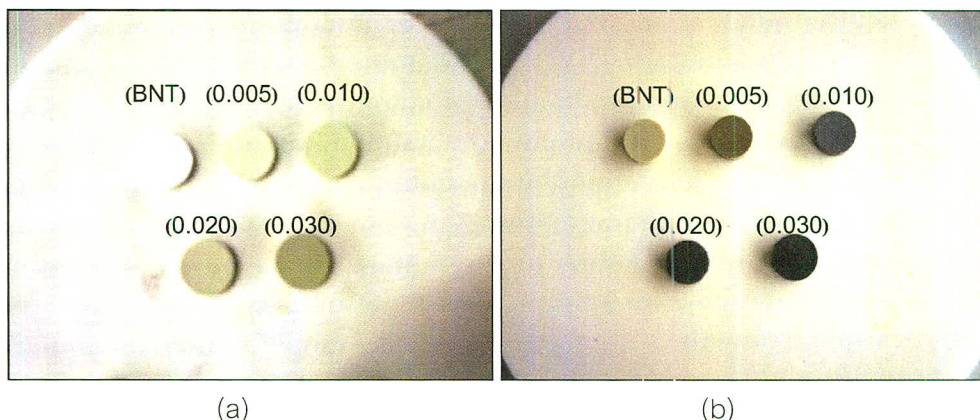


รูป 4.82 (a) รูปแบบการเลี้ยวเบนของรังสีเอกซ์ของผง $\text{Bi}_{0.5}\text{Na}_{0.5}\text{Ti}_{1-x}\text{Co}_x\text{O}_{3-x}$ ที่ปริมาณ Co ต่างๆ
 (b) พีคแสดงการเคลื่อนไปทางมุม 2θ ที่ตำแหน่งของวงน้ำ (300) และ (220)

4.4.2 ผลการเติมเซรามิก $\text{Bi}_{0.5}\text{Na}_{0.5}\text{Ti}_{1-x}\text{Co}_x\text{O}_{3-x}$

4.4.2.1 ผลตรวจสอบสมบัติทางกายภาพของเซรามิก

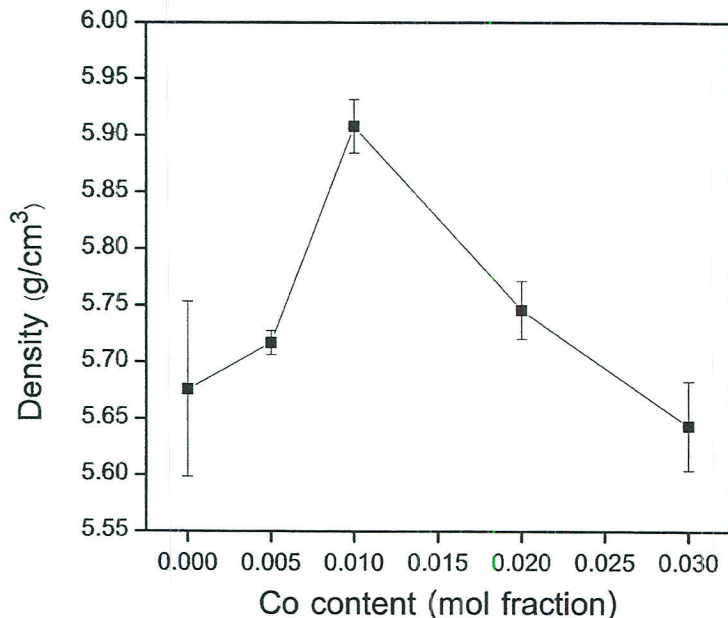
หลังจากการเผาซินเทอร์ฟ $\text{Bi}_{0.5}\text{Na}_{0.5}\text{Ti}_{1-x}\text{Co}_x\text{O}_{3-x}$ ที่ผ่านการอัดขึ้นรูปแล้ว พบร่วมกับเม็ดเซรามิกที่ได้มีลักษณะเป็นเม็ดแผ่นกลมสมบูรณ์ และมีสีแตกต่างกันบ้างที่ขึ้นรูป ก่อนเผา โดยมีสีเข้มขึ้นกว่าเดิม จากสีเหลืองอ่อนไปจนถึงสีดำตามปริมาณการเจือ Co ที่เพิ่มขึ้น (รูป 4.83 (a)-(b)) นอกจากนี้ยังสังเกตเห็นการลดตัวของเซรามิกได้อย่างชัดเจน เซรามิกที่ได้นี้จะถูกนำไปวัดสมบัติทางกายภาพ ได้แก่ ความหนาแน่น และร้อยละการหดตัว ซึ่งผลที่ได้ก่อผลลัพธ์ให้ในหัวข้อถัดไป



รูป 4.83 (a) ผงขึ้นรูป ก่อนเผา (b) เซรามิก

ความหนาแน่นของเซรามิก

เมื่อนำเม็ดเซรามิกที่ผ่านการซินเทอร์ที่อุณหภูมิ 1050°C ด้วยอัตราขึ้น-ลง ของอุณหภูมิ $5^{\circ}\text{C}/\text{นาที}$ เป็นเวลา 2 ชั่วโมง มาวิเคราะห์หาค่าความหนาแน่นด้วยหลักการของอาร์คิมีดิส ได้ผลดังรูป 4.85 และตาราง 4.27 พบร่วมค่าความหนาแน่นของเซรามิก $\text{Bi}_{0.5}\text{Na}_{0.5}\text{T}_{1-x}\text{Co}_x\text{O}_{3-x}$ มีค่าอยู่ในช่วง 5.64 - 5.91 g/cm^3 มีค่าเพิ่มขึ้นเมื่อปริมาณการเจือ Co เข้าไปปริมาณหนึ่ง และเมื่อเจือ Co เพิ่มมากขึ้น พบร่วมกับเม็ดเซรามิกมีความหนาแน่นลดลงโดยที่ปริมาณ Co เท่ากับ 0.010 เศษส่วนโดยไม่มีความหนาแน่นมากที่สุด อย่างไรก็ตามที่ปริมาณการเจือ Co เท่ากับ 0.0030 เศษส่วนโดยไม่ลดเซรามิกมีค่าความหนาแน่นน้อยกว่าเซรามิก BNT บริสุทธิ์ ความหนาแน่นนี้มีความสัมพันธ์กับโครงสร้างทางจุลภาคของเซรามิก ซึ่งจะกล่าวถึงต่อไปในหัวข้อผลการวิเคราะห์โครงสร้างทางจุลภาค

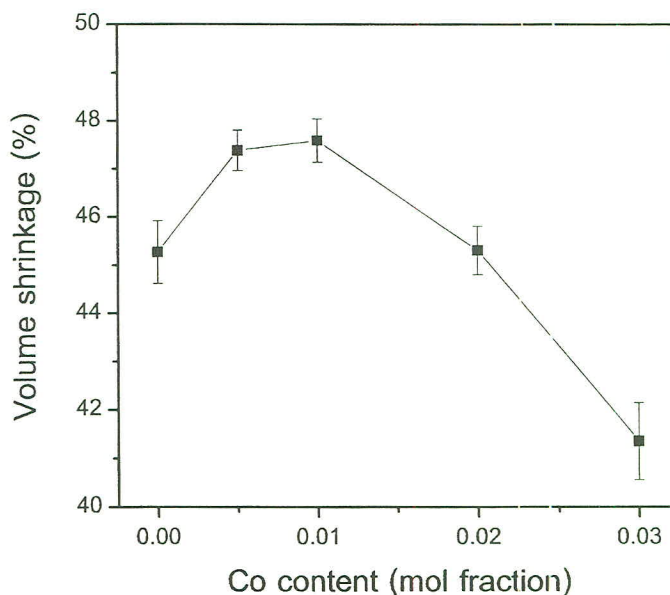


รูป 4.84 กราฟความสัมพันธ์ระหว่างความหนาแน่นกับปริมาณการเจือ Co

ของเซรามิก $\text{Bi}_{0.5}\text{Na}_{0.5}\text{Ti}_{1-x}\text{Co}_x\text{O}_{3-x}$

ร้อยละการหดตัวเชิงปริมาตรหลังการเผาซินเทอร์ของเซรามิก

จากรูป 4.85 และตาราง 4.27 พบร่วมค่าร้อยละการหดตัวเชิงปริมาตรของเซรามิกมีค่าอยู่ในช่วง 41.35 - 47.69 ซึ่งมีแนวโน้มเดียวกับค่าความหนาแน่น เนื่องจากในระหว่างการซินเทอร์เกิดกระบวนการกระบวนการขนส่งมวลสาร (mass transport) ขึ้น ซึ่งเป็นการแพร่ของอะตอมทำให้เกิดการเชื่อมติดกันของอนุภาคภายในชิ้นงานส่งผลให้ในระดับจุลภาคซึ่งว่างหรือวoids ในชิ้นงานลดลง จึงส่งผลให้ในระดับมหาภาคชิ้นงานโดยรวมมีการหดตัวเกิดขึ้น ดังนั้นชิ้นงานเซรามิกที่มีความหนาแน่นมากปริมาณซึ่งว่างหรือวoids ในจะมีน้อยลง ชิ้นงานเซรามิกจึงมีแนวโน้มการหดตัวมากขึ้น



รูป 4.85 กราฟความสัมพันธ์ของร้อยละการหดตัวเชิงปริมาตรกับปริมาณการเจือ Co ของเซรามิก

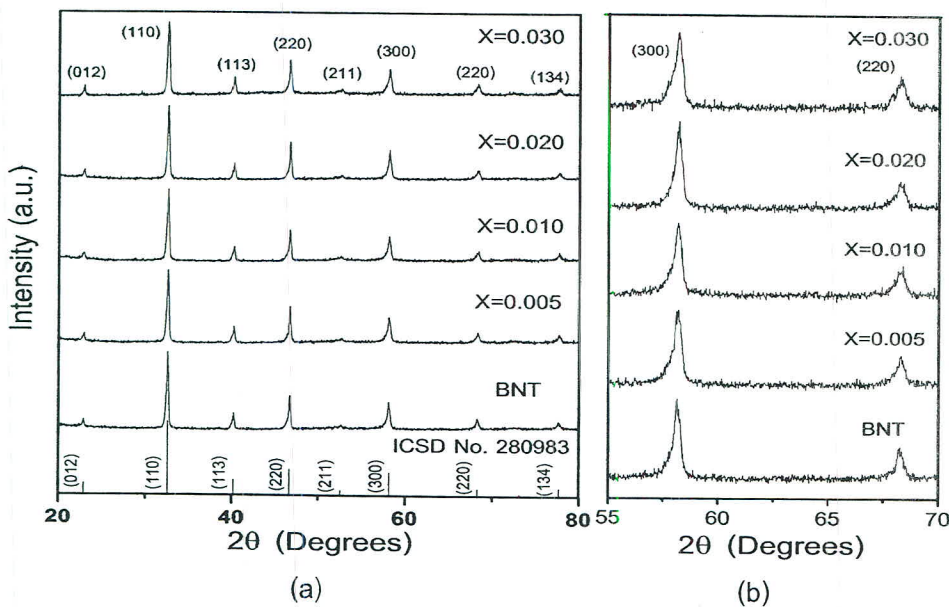


ตาราง 4.27 ค่าความหนาแน่น และร้อยละการหดตัวเชิงปริมาตรของเซรามิก $\text{Bi}_{0.5}\text{Na}_{0.5}\text{Ti}_{1-x}\text{Co}_x\text{O}_{3-x}$ ที่เจือด้วย Co ปริมาณต่างๆ

Co (mol fraction)	Density (g/cm ³)	Volume shrinkage (%)
0	5.68 ± 0.08 95.1%	45.27 ± 0.65
0.005	5.72 ± 0.01 95.8%	47.38 ± 0.42
0.010	5.91 ± 0.02 99.0%	47.59 ± 0.45
0.020	5.75 ± 0.08 96.3%	45.30 ± 0.51
0.030	5.64 ± 0.03 94.4%	41.35 ± 0.79

4.4.2.2 ผลการตรวจสอบโครงสร้างผลึกของเซรามิก

เมื่อทำการเผาเซินเทอร์ผง $\text{Bi}_{0.5}\text{Na}_{0.5}\text{Ti}_{1-x}\text{Co}_x\text{O}_{3-x}$ ที่อุณหภูมิ 1050°C เป็นเวลา 2 ชั่วโมง ได้เซรามิกที่มีสีแตกต่างกันตามปริมาณ Co และนำไปตรวจสอบโครงสร้างผลึก พบรากุปแบบการเลี้ยวเบนของรังสีเอกซ์ของเซรามิก ยังมีโครงสร้างเป็นแบบรวมใบอีกด้วย เช่นเดียวกับผง ดังรูป 4.86 (a) และไม่พบเฟล็กกลومเกิดขึ้น เมื่อพิจารณาการเคลื่อนของพีคที่ปรากฏในผง พบรากุปแบบการเคลื่อนของพีคของเซรามิกไม่ปรากฏอย่างชัดเจน แต่สังเกตได้ว่าลักษณะของตำแหน่งที่ปลายรากุปของรังสีที่ต่างกัน ดังรูป 4.86 (b) แสดงถึงการแทนที่ของ Co^{2+} เข้าไปในตำแหน่งของ Ti^{4+} ซึ่งมีขนาดรัศมีโคลอนแตกต่างกัน โดยรัศมีของ Co^{2+} มีค่ามากกว่า รัศมีของ Ti^{4+} อยู่ 0.11 \AA จึงทำให้โครงสร้างเกิดการผิดรูป (distortion) แต่ยังคงมีโครงสร้างเป็นแบบรวมใบอีกด้วย



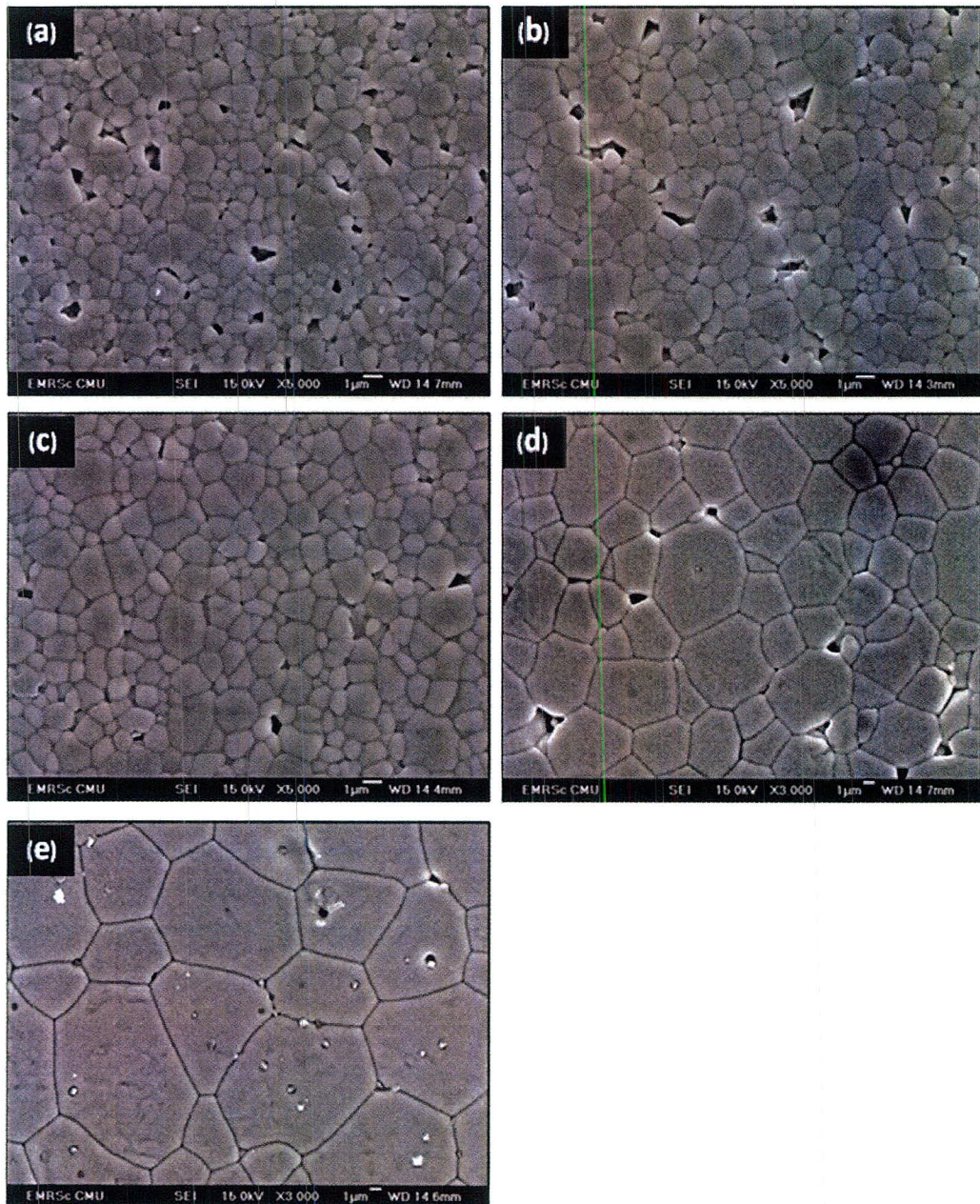
รูป 4.86 (a) รูปแบบการเลี้ยวเบนของรังสีเอกซ์ของเซรามิก $\text{Bi}_{0.5}\text{Na}_{0.5}\text{Ti}_{1-x}\text{Co}_x\text{O}_{3-x}$ ที่ปริมาณ Co ต่างๆ
 (b) พีคแสดงการเคลื่อนไปทางมุม 2θ ที่ตำแหน่งระนาบ (300) และ (220)

4.4.2.3 ผลการตรวจสอบโครงสร้างทางจุลภาคของเซรามิก

เมื่อนำเซรามิก $\text{Bi}_{0.5}\text{Na}_{0.5}\text{Ti}_{1-x}\text{Co}_x\text{O}_{3-x}$ ที่ผ่านการซินเทอร์ที่อุณหภูมิ 1050°C ด้วยอัตราขีน-ลงของอุณหภูมิ $5^{\circ}\text{C}/\text{นาที}$ เป็นเวลา 2 ชั่วโมง มาขัดด้วยกระดาษทรายและผงอะลูมิโน จนเรียบได้ระนาบ และน้ำหนัก จากนั้นนำไปทำ thermal etching ที่อุณหภูมิ 950°C เป็นเวลา 15 นาที แล้วนำมารีดีกษาโครงสร้างทางจุลภาคด้วยกล้องจุลทรรศน์อิเล็กตรอนแบบส่องกราด (SEM)

ผลจากการดีกษาโครงสร้างทางจุลภาคของเซรามิกด้วยกล้อง SEM ดังรูป 4.87 พบว่าเกرنมีลักษณะเป็นแบบอิควิแอคซ์ (equiaxed grain shape) โดยมีขนาดของเกرنเพิ่มขึ้นตามปริมาณ Co ที่เพิ่มขึ้น และพบเกرنขนาดเล็กกระจายตัวอยู่กับเกرنขนาดใหญ่นอกจากนี้พบว่าปริมาณรูพุน มีน้อยลงเมื่อปริมาณการเจือ Co อยู่ในช่วง $0.000 - 0.010$ ส่วนที่ปริมาณการเจือ Co เท่ากับ $0.020 - 0.030$ รูพุนเริ่มมีมากขึ้นและพบรูพุนทั้งบริเวณรอยต่อระหว่างเกرن และภายในเกرنของเซรามิกที่ปริมาณการเจือ Co เท่ากับ 0.030

การขยายตัวของขนาดเกรนทั้งนี้เนื่องจากการแทนที่ของ Co^{2+} ตรงตำแหน่ง Ti^{4+} ซึ่งมีค่าประจุน้อยกว่าทำให้เกิดซ่องว่างของออกซิเจน (oxygen vacancy) ขึ้น โดยซ่องว่างของออกซิเจนจะเกิดเพิ่มขึ้นตามปริมาณ Co ที่เพิ่มขึ้น ซ่องว่างของออกซิเจนที่เกิดขึ้นนี้ช่วยทำให้เกิดการแพร่ของอะตอมระหว่างการซินเทอร์มากขึ้น ด้วยเหตุนี้ขนาดเกรนจึงมีแนวโน้มเพิ่มขึ้น

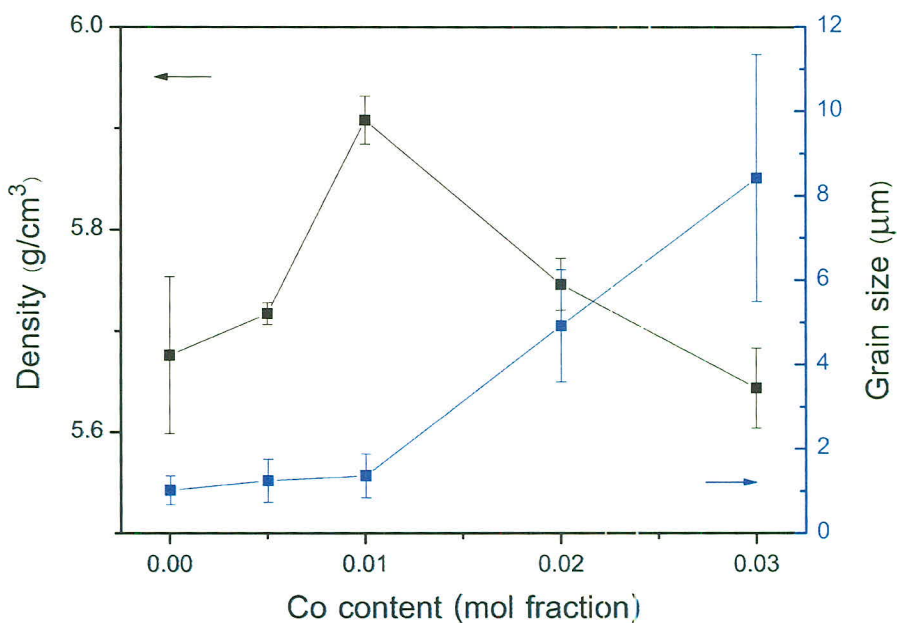


รูป 4.87 โครงสร้างทางจุลภาคของเซรามิก $\text{Bi}_{0.5}\text{Na}_{0.5}\text{Ti}_{1-x}\text{Co}_x\text{O}_{3-x}$ ที่ปริมาณ Co ตั้งแต่ (a) 0.000
 (b) 0.005 (c) 0.010 (d) 0.020 และ (e) 0.030 เศษส่วนโดยไมล์

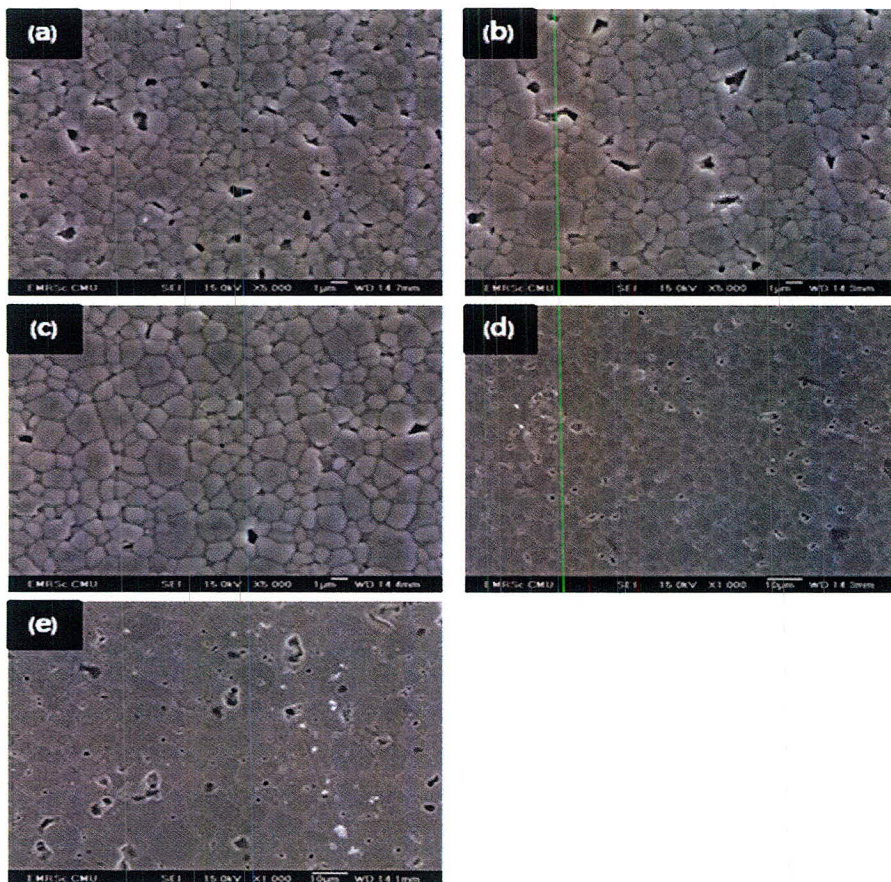
ขนาดเกรน

ในการถ่ายภาพ SEM เพื่อใช้ในการหาขนาดของเกรน ได้เลือกกำลังขยายที่เหมาะสมให้มีจำนวนเกรนมากพอเพื่อให้เกิดความคลาดเคลื่อนน้อยที่สุด โดยที่ปริมาณการเจือ Co เท่ากับ 0.000 – 0.010 ใช้กำลังขยาย 5000 เท่า ส่วนที่ปริมาณการเจือ Co เท่ากับ 0.020 และ 0.030 ใช้กำลังขยาย 1000 เท่า เนื่องจากเกรนมีขนาดใหญ่

ผลการวัดขนาดของเกรนพบว่า ขนาดเกรนของเซรามิก $\text{Bi}_{0.5}\text{Na}_{0.5}\text{Ti}_{1-x}\text{Co}_x\text{O}_{3-x}$ มีค่าอยู่ในช่วง 8.42 - 1.25 μm ดังรูป 4.88 และตาราง 4.28 ซึ่งขนาดของเกรนที่ใหญ่ขึ้นนี้เป็นผลมาจากการแพร่ของอะตอมที่มากขึ้นเนื่องจากเกิดซ่องว่างออกซิเจนดังที่กล่าวมาแล้ว นอกจากการแพร่ของอะตอมจะมีผลต่อโครงสร้างทางจุลภาคของเซรามิกแล้วยังส่งผลต่อความหนาแน่นของเซรามิกด้วย เนื่องจากการแพร่ของอะตอมทำให้รูพุนภัยในชั้นงานเซรามิกลดลง ลักษณะเดียวกันกับ BNT บริสุทธิ์ จึงส่งผลให้ความหนาแน่นของเซรามิกเพิ่มขึ้น และเมื่อปริมาณ Co เพิ่มขึ้นจนถึง 0.030 (รูป 4.89 (d)-(e)) รูพุนเริ่มมีเพิ่มมากขึ้น และพบรูพุนภัยในเกรนเนื่องมาจากเกรนมีขนาดที่ใหญ่ขึ้น จึงทำให้ความหนาแน่นของเซรามิกลดลง



รูป 4.88 ความสัมพันธ์ระหว่างขนาดเกรน และ ความหนาแน่นของเซรามิก $\text{Bi}_{0.5}\text{Na}_{0.5}\text{Ti}_{1-x}\text{Co}_x\text{O}_{3-x}$ ที่เจือ Co ปริมาณต่างๆ



รูป 4.89 ภาพถ่ายโดยจุลทรรศน์ส่องไฟฟ้าของผิว表皮ของเซรามิกที่ใช้ในการทดสอบขนาดเกรน ที่ปริมาณ Co เท่ากับ (a) 0.000
 (b) 0.005 (c) 0.010 (d) 0.020 และ (e) 0.030 เศษส่วนโดยโมล

ตาราง 4.28 ขนาดเกรนของเซรามิก $\text{Bi}_{0.5}\text{Na}_{0.5}\text{Ti}_{1-x}\text{C}_{x}\text{O}_{3-x}$ ที่เจือด้วย Co ปริมาณต่างๆ

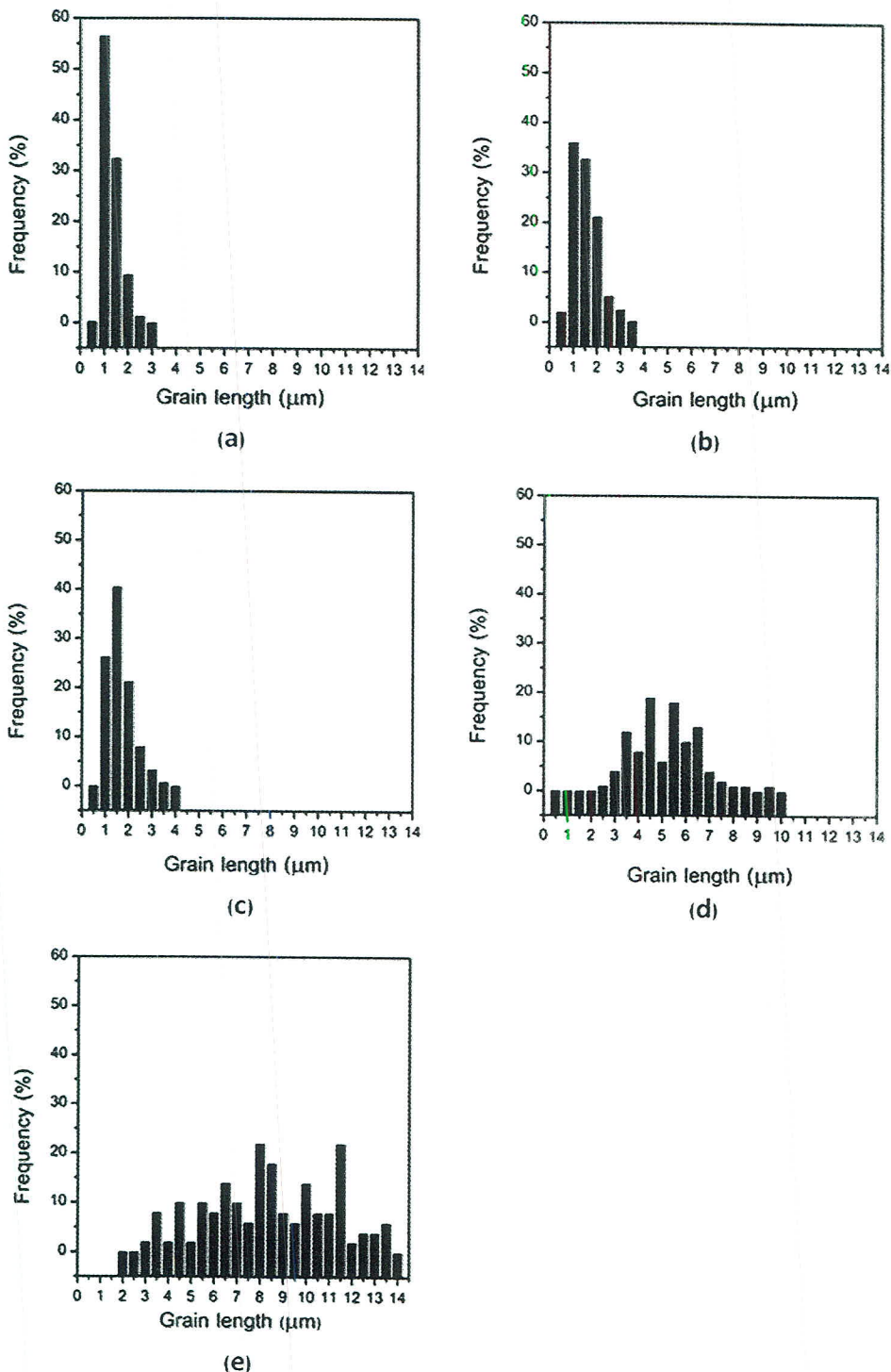
ปริมาณ Co	ขนาดเกรน (μm)
0.000	1.03 ± 0.34
0.005	1.25 ± 0.51
0.010	1.37 ± 0.52
0.020	4.92 ± 1.33
0.030	8.42 ± 2.92

การกระจายตัวของขนาดเกรน

เมื่อวัดขนาดเกรนแล้ว จากนั้นทำการหาการกระจายตัวของขนาดเกรน ได้ผลดังรูป 4.90 และตาราง 4.29 โดยพบว่าการกระจายตัวของขนาดเกรนทุกอัตราส่วนการเจือ Co มีการกระจายตัวแบบต่อเนื่องและการเติม Co เพิ่มขึ้นทำให้ขนาดของเกรนมีการกระจายตัวแบบปกติมากขึ้น โดยการกระจายตัวขนาดของเกรน BNT บริสุทธิ์ แสดงดังรูป 4.90 (a) มีช่วงแคบที่สุด โดยมีช่วงการกระจายตัวของขนาดเกรนระหว่าง 0.5 - 2.5 μm และมีความถี่สูงสุดในช่วง 1 μm สำหรับที่ปริมาณการเจือ Co เท่ากับ 0.005 เศษส่วนโดยโมล การกระจายตัวของขนาดเกรน แสดงดังรูป 4.90 (b) จะเห็นว่าช่วงของ การกระจายตัวเริ่มกว้างขึ้นเมื่อเทียบกับ BNT บริสุทธิ์ โดยมีช่วงการกระจายตัวของขนาดเกรนระหว่าง 0.5 - 3.5 μm และมีความถี่สูงสุดในช่วง 1 - 1.5 μm สำหรับที่ปริมาณการเจือ Co เท่ากับ 0.010 เศษส่วนโดยโมล การกระจายตัวของขนาดเกรนมีช่วงกว้างขึ้นจากปริมาณการเจือ Co เท่ากับ 0.005 แสดงดังรูป 4.90 (c) โดยมีช่วงการกระจายตัวของขนาดเกรนระหว่าง 0.5 - 4.0 μm และมีความถี่สูงสุดอยู่ในช่วง 0.5 μm สำหรับที่ปริมาณการเจือ Co เท่ากับ 0.02 การกระจายตัวของขนาดเกรนมีลักษณะเป็นการกระจายตัวแบบปกติมากที่สุด โดยมีลักษณะเป็นแบบกราฟระฆังค่อนข้างแคบ แสดงดังรูป 4.90 (d) มีช่วงการกระจายตัวของขนาดเกรโนอยู่ในช่วง 0.5 - 10.0 μm ซึ่งกว้างกว่าที่ปริมาณการเจือ Co เท่ากับ 0.010 หาก และมีความถี่สูงสุดในช่วง 4.5 μm ซึ่งใกล้เคียงกับช่วง 5.5 μm และสำหรับที่ปริมาณการเจือ Co เท่ากับ 0.030 เศษส่วนโดยโมล การกระจายตัวของขนาดเกรนมีช่วงกว้างที่สุด โดยมีการกระจายตัวขนาดของเกรนในช่วง 2 - 14.0 μm และมีความถี่สูงสุดอยู่ในช่วง 8 และ 11.5 μm

ตาราง 4.29 ช่วงการกระจายตัวของขนาดเกรนที่ปริมาณการเจือ Co ต่างๆ

Co Content (mol fraction)	Range of grain length (μm)
0.000	0.5 – 2.5
0.005	0.5 – 3.5
0.010	0.5 – 4.0
0.020	0.5 – 10.0
0.030	2.0 – 14.0



รูป 4.90 การกระจายตัวของขนาดกรained ที่ปริมาณการเจือ Co เท่ากับ (a) 0.000 (b) 0.005
 (c) 0.010 (d) 0.020 และ (e) 0.030 เศษส่วนโดยโมล

4.4.2.4 ผลการตรวจสอบค์ประกอบทางเคมีของเซรามิก

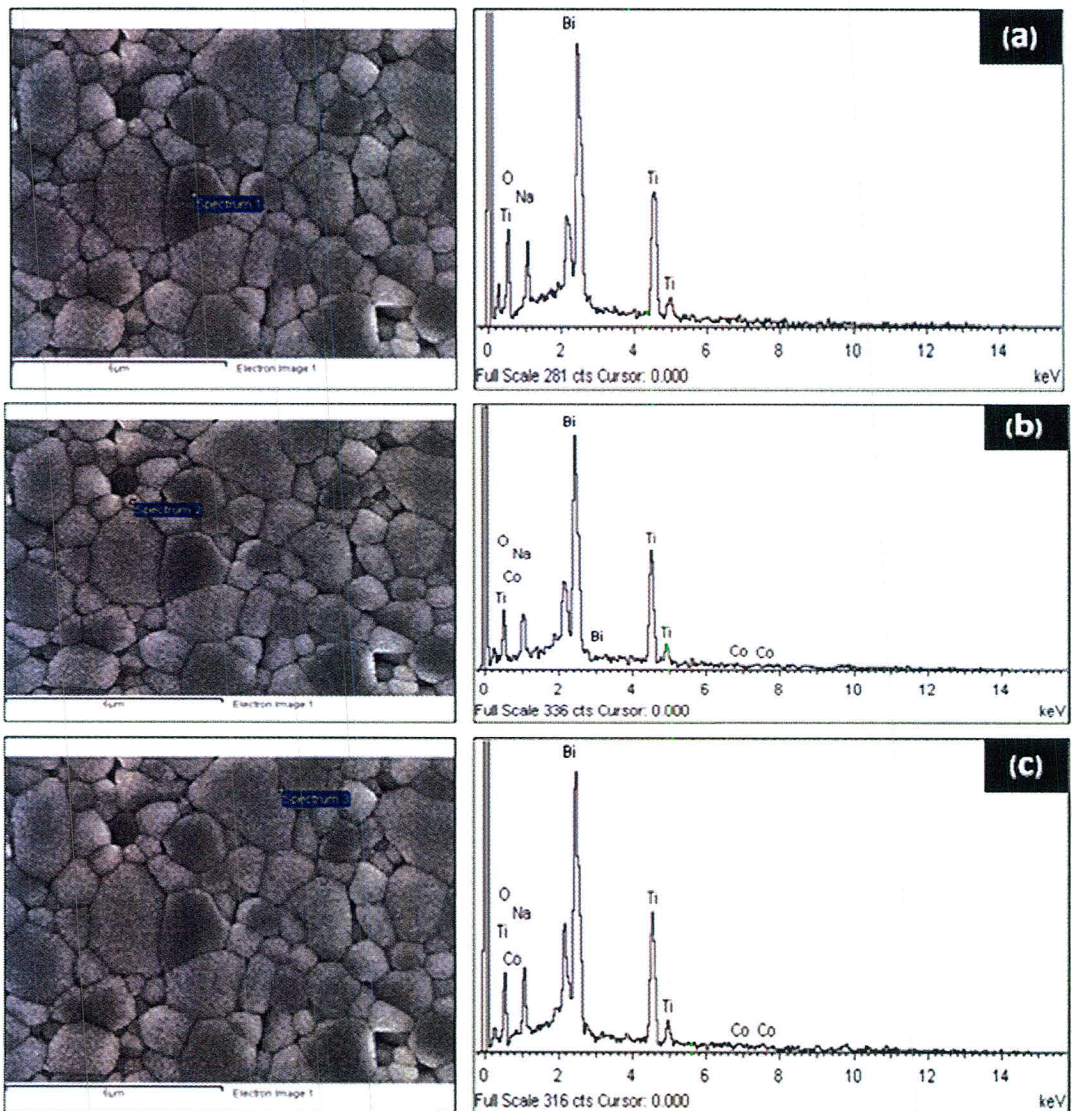
เมื่อถ่ายภาพ SEM เซรามิก $\text{Bi}_{0.5}\text{Na}_{0.5}\text{Ti}_{1-x}\text{Co}_x\text{O}_{3-x}$ แล้วนำมาตรวจสอบค์ประกอบทางเคมีด้วยเทคนิคการกระจายของรังสีเอกซ์ (EDX) ของเซรามิก $\text{Bi}_{0.5}\text{Na}_{0.5}\text{Ti}_{1-x}\text{Co}_x\text{O}_{3-x}$ ที่เจือ Co ปริมาณต่างๆ โดยจากภาพถ่ายโครงสร้างทางจุลภาคจะพบว่าเกرنของเซรามิกมีห้องขนาดเล็กและใหญ่กระจายตัวกันอยู่ ในการวิเคราะห์ EDX ในครั้งนี้จึงได้มีการวิเคราะห์บริเวณต่างๆ ที่แตกต่างกันสามจุดได้แก่ บริเวณเกرنขนาดใหญ่ (Spectrum 1) เกرنขนาดเล็ก (Spectrum 2) และขอบเกرن (Spectrum 3) โดยได้ผลการวิเคราะห์ดังนี้

- ผลการวิเคราะห์ EDX ของเซรามิก $\text{Bi}_{0.5}\text{Na}_{0.5}\text{Ti}_{1-x}\text{Co}_x\text{O}_{3-x}$ ที่ปริมาณ Co เท่ากับ 0.005 เศษส่วนโดยโมล

จากรูป 4.91 และตาราง 4.30 แสดงปริมาณธาตุต่างๆ ที่พบในเซรามิก ซึ่งห้องสามบริเวณที่ทำการวิเคราะห์พบธาตุ Bi, Na, Ti และ O ซึ่งเป็นธาตุหลักของเซรามิกนั้นเอง ส่วนธาตุ Co ซึ่งเป็นธาตุที่เจือลงไปในปริมาณ 0.005 เศษส่วนโดยโมล พบริเวณ เกرنขนาดเล็ก และขอบเกرن โดยมีปริมาณมากที่สุดที่บริเวณเกرنขนาดเล็ก

ตาราง 4.30 องค์ประกอบของธาตุในเซรามิก ที่ปริมาณ Co เท่ากับ 0.005 เศษส่วนโดยโมล

Element	Spectrum 1		Spectrum 2		Spectrum 3	
	%Wt	At%	%Wt	At%	%Wt	At%
Bi L	44.16	15.5	47.06	18.49	44.96	16.47
Na K	4.53	6.84	4.27	7.22	5.38	8.49
Ti K	23.33	16.92	25.97	21.08	24.01	18.19
Co K	-	-	1.11	0.73	0.79	0.49
O K	27.98	60.75	21.59	52.48	24.86	56.37



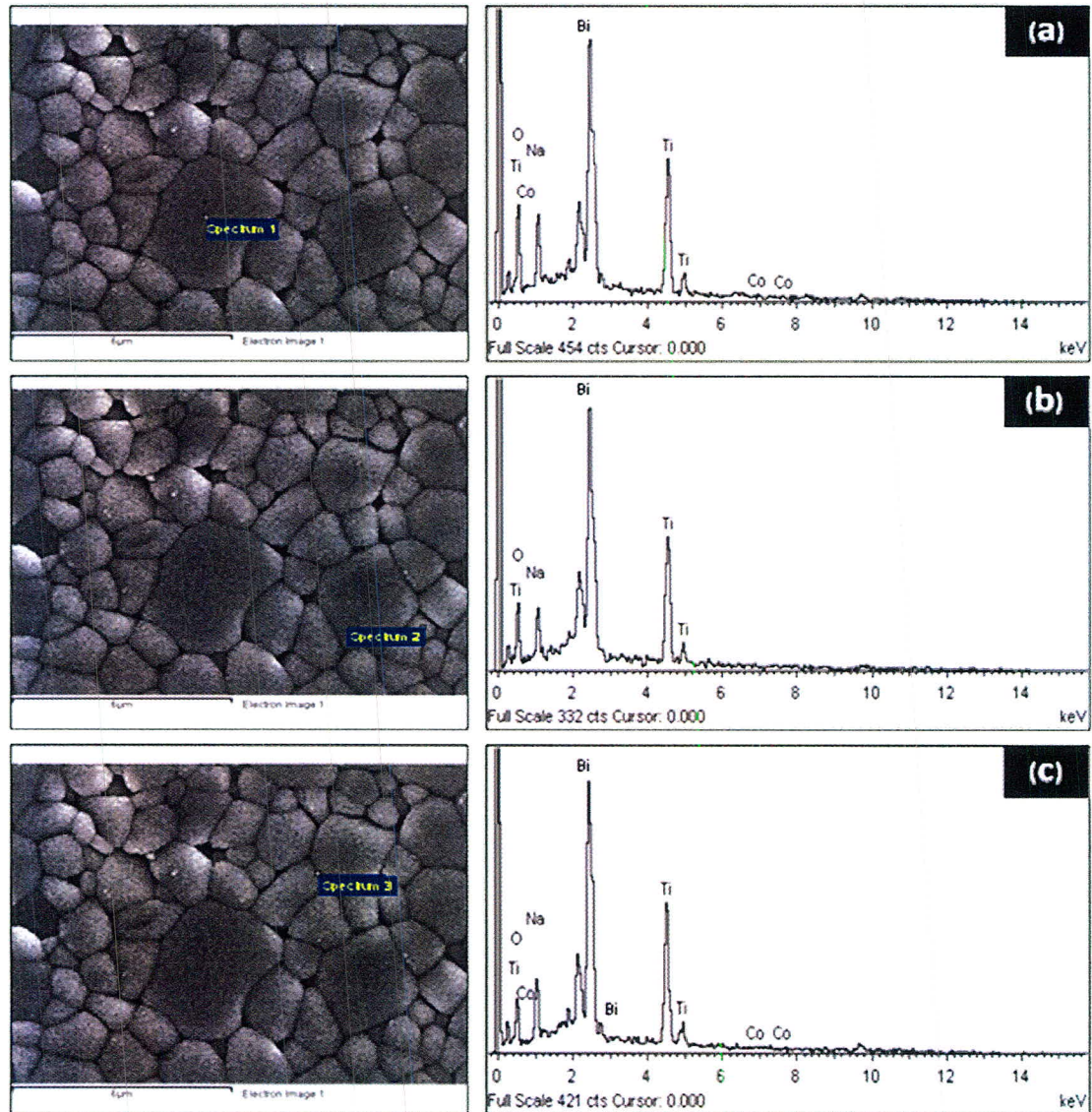
รูป 4.91 ภาพถ่าย SEM และการวิเคราะห์ EDX บริเวณ (a) Spectrum 1 (b) Spectrum 2 และ (c) Spectrum 3 ของเซรามิก ที่ปริมาณ Co เท่ากับ 0.005 เศษส่วนโดยโมล

2. ผลการวิเคราะห์ EDX ของเซรามิก $\text{Bi}_{0.5}\text{Na}_{0.5}\text{Ti}_{1-x}\text{Co}_x\text{O}_{3-x}$ ที่ปริมาณ Co เท่ากับ 0.010 เศษส่วนโดยโมล

จากรูป 4.92 และตาราง 4.31 แสดงปริมาณธาตุต่างๆที่พบในเซรามิก ซึ่งทั้งสามบริเวณที่ทำ การวิเคราะห์พบธาตุ Bi, Na, Ti และ O ซึ่งเป็นธาตุหลักของเซรามิกนั้นเอง ส่วนธาตุ Co ซึ่งเป็นธาตุที่เจือลงไปในปริมาณ 0.001 เศษส่วนโดยโมล พบริเวณทั้งสามบริเวณเช่นเดียวกัน โดยมีปริมาณมากที่สุดที่บริเวณเกรนขนาดใหญ่

ตาราง 4.31 องค์ประกอบของธาตุในเซรามิก เมื่อ Co เท่ากับ 0.010 เศษส่วนโดยโมล

Element	Spectrum 1		Spectrum 2		Spectrum 3	
	%Wt	At%	%Wt	At%	%Wt	At%
Bi L	41.57	14.46	43.15	15.52	48.9	19.95
Na K	5.94	8.9	4.73	7.32	4.94	8.68
Ti K	23.91	17.2	25.32	18.82	26.63	22.44
Co K	1.33	0.78	0.83	0.5	0.2	0.13
O K	27.24	58.66	25.98	57.84	19.33	48.79



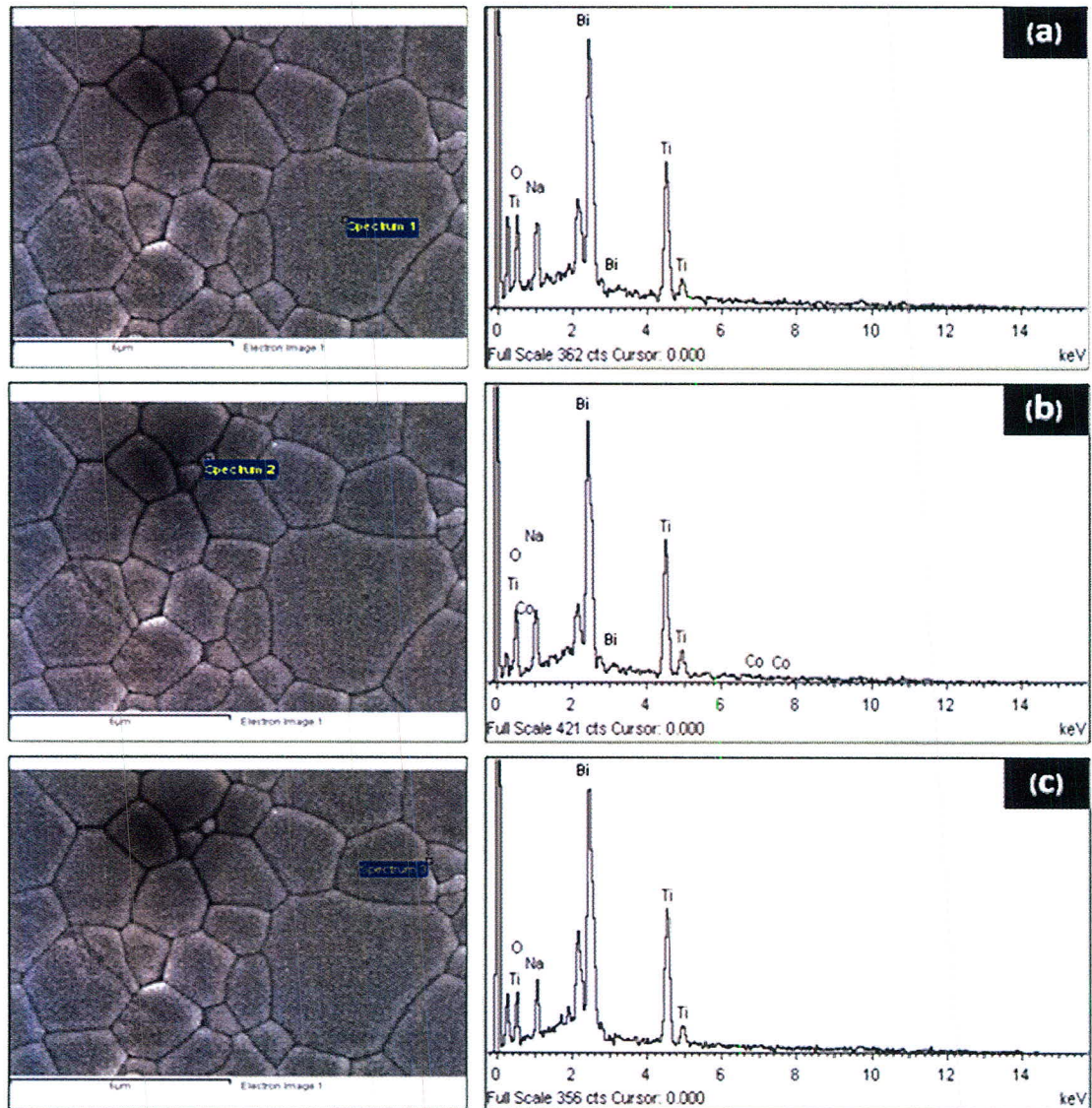
รูป 4.92 ภาพถ่าย SEM และการวิเคราะห์ EDX บริเวณ (a) Spectrum 1 (b) Spectrum 2 และ (c) Spectrum 3 ของเซรามิก ที่ปริมาณ Co เท่ากับ 0.010 เศษส่วนโดยโมล

3. ผลการวิเคราะห์ EDX ของเซรามิก $\text{Bi}_{0.5}\text{Na}_{0.5}\text{Ti}_{1-x}\text{Co}_x\text{O}_{3-x}$ ที่ปริมาณ Co เท่ากับ 0.020 เศษส่วนโดยโมล

จากรูป 4.93 และตาราง 4.32 แสดงปริมาณธาตุต่างๆที่พปในเซรามิก ซึ่งทั้งสามบริเวณที่ทำ การวิเคราะห์พบธาตุ Bi, Na, Ti และ O ซึ่งเป็นธาตุหลักของเซรามิกนั้นเอง ส่วนธาตุ Co ซึ่งเป็นธาตุที่เจือลงไปในปริมาณ 0.002 เศษส่วนโดยโมล พบรูปภาพในบริเวณแกรนขนาดเล็กเท่านั้น

ตาราง 4.32 องค์ประกอบของธาตุในเซรามิก เมื่อ Co เท่ากับ 0.020 เศษส่วนโดยโมล

Element	Spectrum 1		Spectrum 2		Spectrum 3	
	%Wt	At%	%Wt	At%	%Wt	At%
Bi L	43.97	15.72	44.75	16.76	47.69	18.96
Na K	5.36	8.25	4.99	8.04	4.77	8.17
Ti K	24.46	18.07	26.72	20.68	26.91	22.11
Co K	-	-	0.04	0.03	-	-
O K	26.21	57.96	23.51	54.49	20.63	50.76

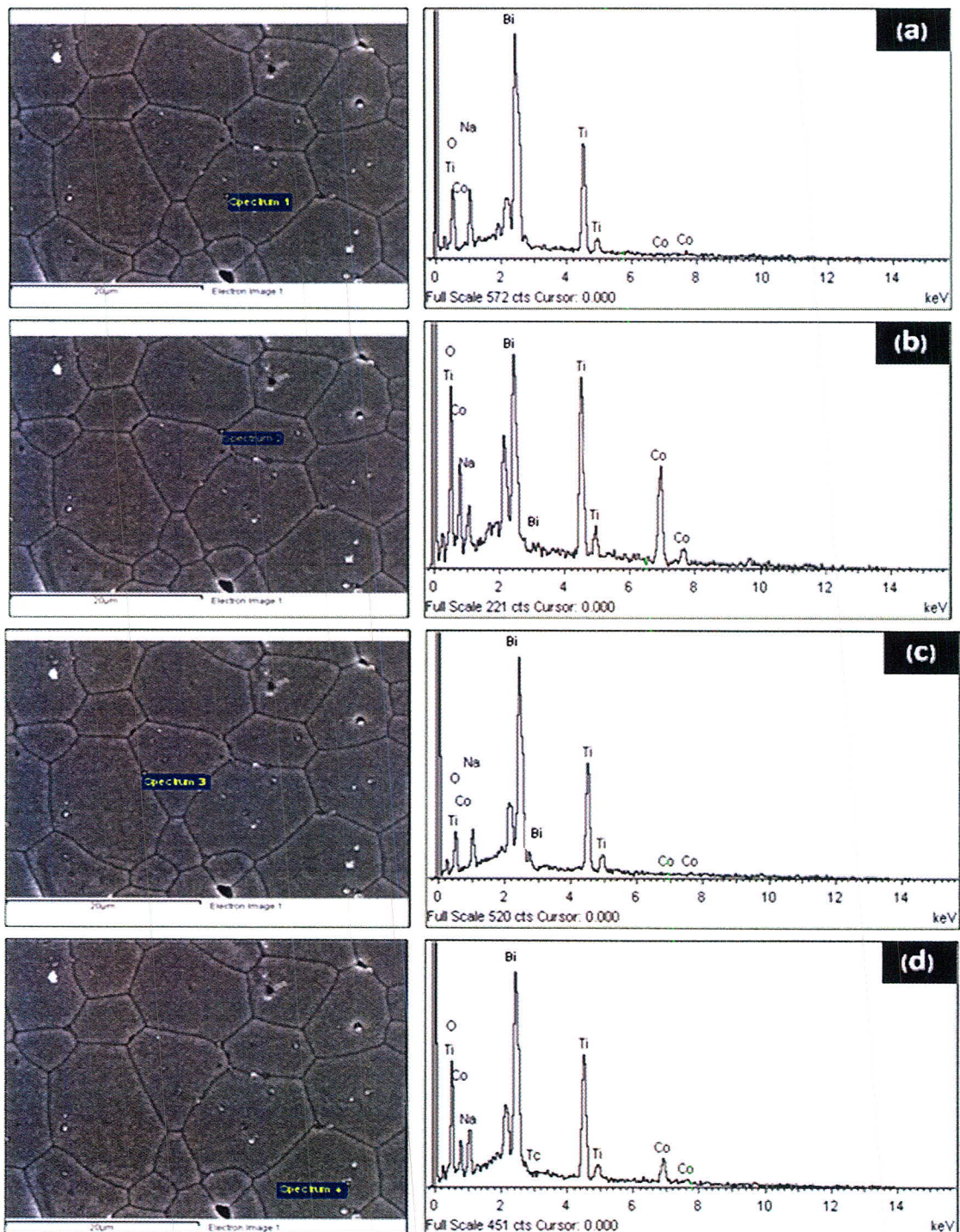


รูป 4.93 ภาพถ่าย SEM และการวิเคราะห์ EDX บริเวณ (a) Spectrum 1 (b) Spectrum 2 และ (c) Spectrum 3 ของเซรามิก ที่ปริมาณ Co เท่ากับ 0.020 เศษส่วนโดยโมล

4. ผลการวิเคราะห์ EDX ของเซรามิก $\text{Bi}_{0.5}\text{Na}_{0.5}\text{Ti}_{1-x}\text{Co}_x\text{O}_{3-x}$ ที่ปริมาณ Co เท่ากับ 0.030 เศษส่วนโดยโมล

จากการภาพถ่าย SEM พบเกرنแปลงปломที่มีลักษณะเป็นจุดสนใจที่บริเวณผิว ดังนั้นจึงได้ทำการวิเคราะห์องค์ประกอบทางเคมีตระงบบริเวณนี้ด้วย (spectrum 4) จากรูป 4.94 และตาราง 4.33 แสดงปริมาณธาตุต่างๆที่พบในเซรามิก ซึ่งทั้งสี่บริเวณที่ทำการวิเคราะห์พบธาตุ Bi, Na, Ti และ O ซึ่งเป็นธาตุหลักของเซรามิกนั้นเอง ส่วนธาตุ Co ซึ่งเป็นธาตุที่เจือลงในปริมาณ 0.003 เศษส่วนโดยโมล พบในบริเวณทั้งสี่บริเวณเช่นเดียวกัน โดยมีปริมาณมากที่สุดที่บริเวณเกرنที่อยู่ที่ผิว ตาราง 4.33 องค์ประกอบของธาตุในเซรามิก เมื่อ Co เท่ากับ 0.030 เศษส่วนโดยโมล

Element	Spectrum 1		Spectrum 2		Spectrum 3		Spectrum 4	
	%Wt	At%	%Wt	At%	%Wt	At%	%Wt	At%
Bi L	44.83	16.35	21.98	8	48.54	19.9	32.80	10.87
Na K	5.42	8.51	2.19	3.43	4.5	7.95	3.82	5.45
Ti K	24.31	18.32	20.22	15.2	26.59	22.53	22.21	15.21
Co K	0.33	0.2	31.6	19.31	1.11	0.76	10.66	5.93
O K	25.1	56.62	24.01	54.06	19.26	48.87	30.50	62.54

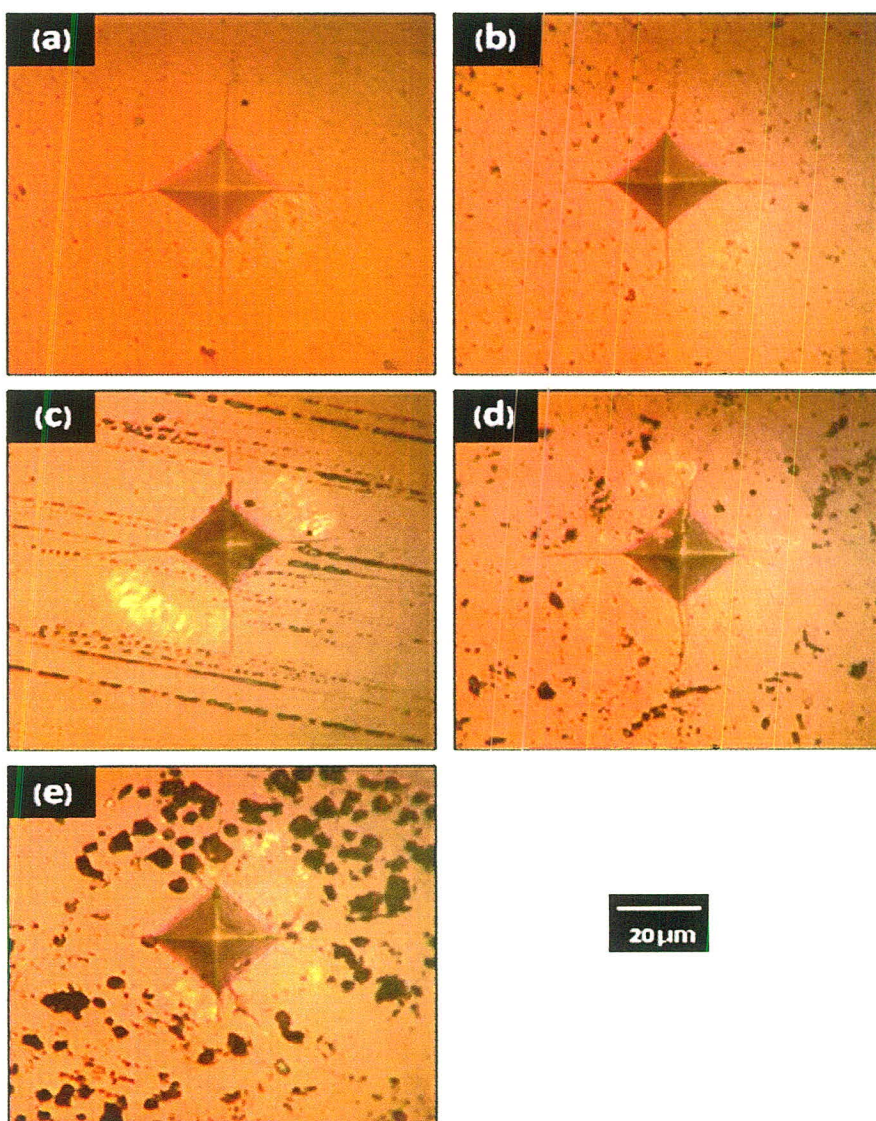


รูป 4.94 ภาพถ่าย SEM และการวิเคราะห์ EDX บริเวณ (a) Spectrum 1 (b) Spectrum 2
(c) Spectrum 3 และ (d) Spectrum 4 ของเซรามิก ที่ปริมาณ Co เท่ากับ 0.030 เศษส่วนโดยโมล

4.2.3 การศึกษาสมบัติของเซรามิก $\text{Bi}_{0.5}\text{Na}_{0.5}\text{Ti}_{1-x}\text{Zr}_x\text{O}_3$

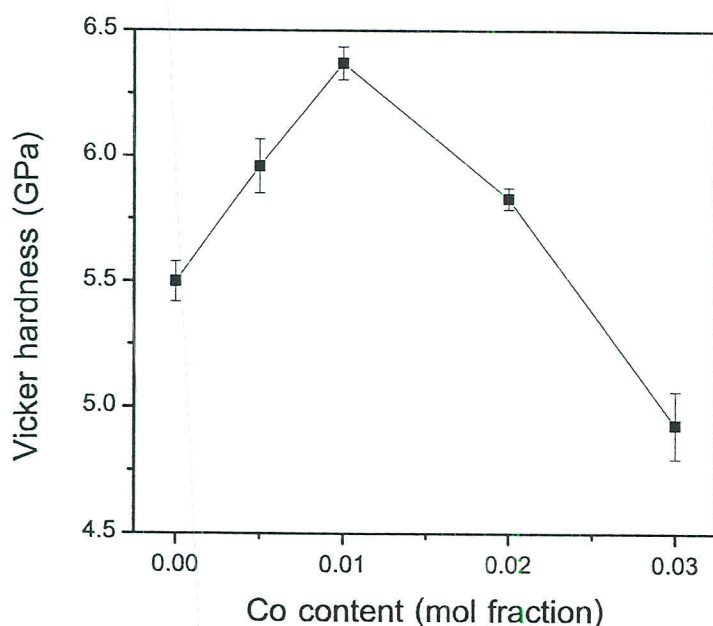
4.2.3.1 ผลการตรวจสอบสมบัติเชิงกลของเซรามิก

เมื่อนำชิ้นงานเซรามิก $\text{Bi}_{0.5}\text{Na}_{0.5}\text{Ti}_{1-x}\text{Co}_x\text{O}_{3-x}$ มาทดสอบความแข็งระดับจุลภาคแบบวิกเกอร์สโดยการใช้แรงกด 500 กรัม ทำให้ได้รอยกดดังรูป 4.95 โดยมีรูปร่างพีระมิดฐานสี่เหลี่ยม พบร่องรอยกดของเซรามิก $\text{Bi}_{0.5}\text{Na}_{0.5}\text{Ti}_{1-x}\text{Co}_x\text{O}_{3-x}$ ทุกอัตราส่วนค่อนข้างมีความสมบูรณ์ดีทำให้ง่ายต่อการหาขนาดของรอยกด โดยการหาขนาดของรอยกดจะใช้กล้องจุลทรรศน์แสง (OM) ที่กำลังขยาย 40 เท่า



รูป 4.95 รอยกดแบบวิกเกอร์ของเซรามิก ที่ปริมาณการเจือ Co เท่ากับ (a) 0.000 (b) 0.005
(c) 0.001 (d) 0.002 และ (e) 0.003 เศษส่วนโดยไมล

จากผลการทดลองดังรูป 4.96 เป็นกราฟความสัมพันธ์ระหว่างค่าความแข็งและปริมาณการเติม Co ของเซรามิก $\text{Bi}_{0.5}\text{Na}_{0.5}\text{Ti}_{1-x}\text{Co}_x\text{O}_{3-x}$ พบว่าค่าความแข็งแบบบิกเกอร์ส์มีค่าในช่วง 4.93 – 6.97 GPa โดยมีค่าความแข็งต่ำสุดและค่าความแข็งสูงสุดที่ปริมาณการเติม Co เท่ากับ 0.010 และ 0.030 เศษส่วนโดยไมล ตามลำดับ ซึ่งแสดงถึงกับค่าความหนาแน่น โดยปัจจัยที่ทำให้ค่าความแข็งของเซรามิกมีแนวโน้มดังกล่าวคือ รูพรุนที่หลงเหลืออยู่ (residual porosity) ซึ่งเป็นข้อบกพร่องที่เกิดขึ้นเสมอระหว่างการเผาเซินเทอร์ของชิ้นงาน หรือเกิดขึ้นจากซองว่างระหว่างอนุภาค (particle) ตอนขึ้นรูป ผง สังเกตได้ชัดเจนจากภาพถ่าย SEM ดังรูป 4.89 (c) พื้นผิวของเซรามิกที่ปริมาณการเติม Co เท่ากับ 0.030 เศษส่วนโดยไมลจะเกิดรูพรุนมากทั้งบริเวณรอยต่อระหว่างเกรนและภายในเกรน จึงทำให้มีค่าความแข็งต่ำสุด แต่ในทางกลับกันจากภาพถ่าย SEM ดังรูป 4.89 (e) พบว่าผิวของเซรามิกที่ปริมาณการเติม Co เท่ากับ 0.010 เศษส่วนโดยไมลจะเกิดรูพรุนน้อย สันนิษฐานว่าปริมาณเติม Co ในอัตราส่วนนี้มีความเหมาะสมที่ทำให้เกรนมีขนาดเหมาะสมและมีค่าความแข็งสูงสุด



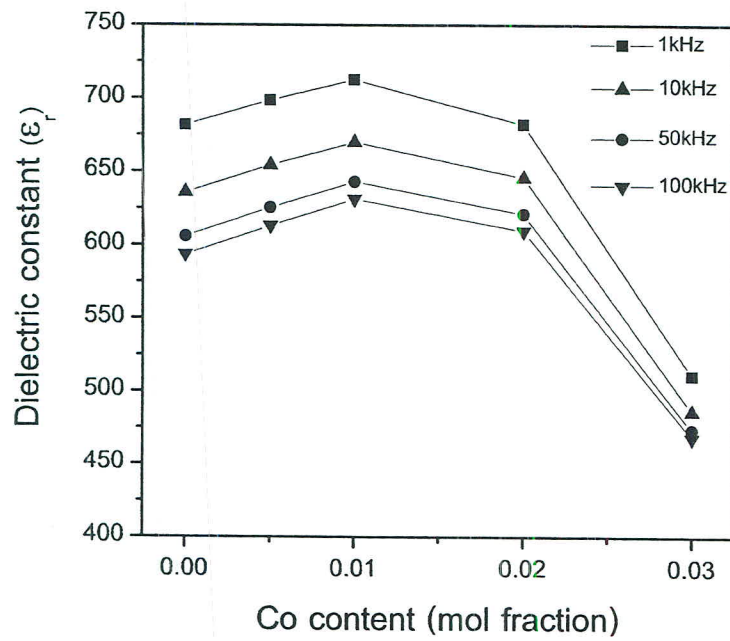
รูป 4.96 กราฟความสัมพันธ์ระหว่างค่าความแข็งแบบบิกเกอร์ส์ของเซรามิกกับปริมาณการเจือ Co

4.2.3.2 ผลการตรวจสอบสมบัติทางไฟฟ้าของเซรามิก

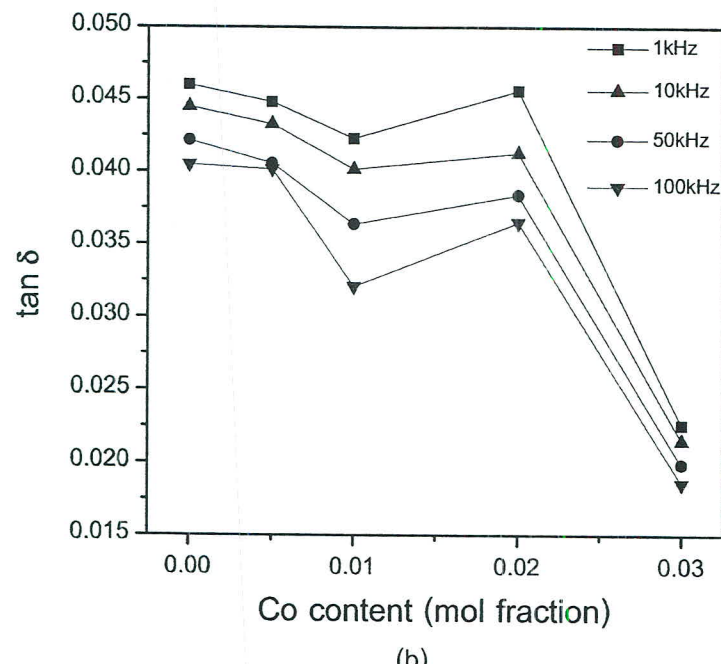
เมื่อนำเซรามิก $\text{Bi}_{0.5}\text{Na}_{0.5}\text{Ti}_{1-x}\text{Co}_x\text{O}_{3-x}$ ที่ปริมาณการเจือ Co เท่ากับ 0.005, 0.010, 0.020, และ 0.030 เศษส่วนโดยโมล ที่ผ่านการขัดเม็ดด้วยกระดาษทรายให้เป็นระนาบเรียบ และวัดเส้นผ่านศูนย์กลางและความหนาแล้วมาตรวจสอบสมบัติไดอิเล็กทริก สมบัติการนำไฟฟ้า และสมบัติเพียงพออิเล็กทริก ได้ผลการทดลองต่อไปนี้

สมบัติไดอิเล็กทริก

เมื่อทดลองหาค่าสมบัติไดอิเล็กทริกของเซรามิก $\text{Bi}_{0.5}\text{Na}_{0.5}\text{Ti}_{1-x}\text{Co}_x\text{O}_{3-x}$ ที่อุณหภูมิห้อง ด้วยความถี่ 1, 10, 50 และ 100 kHz ตามลำดับ จากผลการทดลองดังรูป 4.97 เมื่อพิจารณาความสัมพันธ์ระหว่างค่าความถี่และค่าคงที่ไดอิเล็กทริก พบร่วมกับความถี่สูงขึ้นมีผลทำให้ค่าคงที่ไดอิเล็กทริกลดลงเนื่องจากที่ความถี่สูงๆ ได้พลในสารมีการตอบสนองได้ช้าลงโดยเฉพาะสารเฟริโออิเล็กทริกที่มีเกรนขนาดใหญ่ [56] อย่างไรก็ตามค่าแฟกเตอร์การสูญเสียมีแนวโน้มลดลงเมื่อความถี่สูงขึ้น ส่วนเมื่อพิจารณาความสัมพันธ์ระหว่างค่าคงที่ไดอิเล็กทริก กับปริมาณการเติม Co พบร่วมกับค่าคงที่ไดอิเล็กทริกมีแนวโน้มขึ้นกับปริมาณ Co เช่นเดียวกับค่าความหนาแน่น โดยที่ปริมาณ Co เท่ากับ 0.003 เศษส่วนโดยโมล มีค่าคงที่ไดอิเล็กทริกต่ำสุด และค่าแฟกเตอร์การสูญเสียไดอิเล็กทริกต่ำ ส่วนที่ปริมาณ Co เท่ากับ 0.010 เศษส่วนโดยโมล มีค่าคงที่ไดอิเล็กทริกสูงสุด และค่าแฟกเตอร์การสูญเสียไดอิเล็กทริกซึ่งเช่นกัน ซึ่งค่าคงที่ไดอิเล็กทริกที่สูงนี้เป็นผลมาจากการที่เซรามิกมีเกรนขนาดเล็กซึ่งจะมีค่าคงที่ไดอิเล็กทริกสูงกว่าเซรามิกที่มีขนาดเกรนใหญ่ และเนื่องจากเซรามิกมีค่าความหนาแน่นสูงซึ่งมีปริมาณซึ่งว่างหรือวูบวนน้อย จึงทำให้ค่าคงที่ไดอิเล็กทริกของเซรามิกมีค่าสูง ทำให้ความสามารถในการเก็บประจุไฟฟ้าสูงตามไปด้วย ซึ่งสอดคล้องกับงานวิจัยของ Yanfang Qu และคณะ [57] ที่พบว่าการเจือ Ba^{2+} เข้าไปแทนที่ Bi^{3+} ในเซรามิก BNT สงผลให้ค่าคงที่ไดอิเล็กทริกสูงขึ้นที่ปริมาณการเจือ 0 - 6 atomic% และมีแนวโน้มลดลงเมื่อปริมาณการเจือสูงขึ้นกว่านี้ ทั้งนี้เนื่องมาจากความหนาแน่นที่สูงขึ้นส่งผลให้ค่าคงที่ไดอิเล็กทริกสูงขึ้นด้วย และค่าไดอิเล็กทริกที่ลดลงเป็นผลของปริมาณซึ่งว่างของออกซิเจนที่มากเกินไป



(a)



(b)

รูป 4.97 ความสัมพันธ์ระหว่าง (a) ค่าคงที่ไดอิเล็กทริก และ (b) ค่าแฟกเตอร์การสูญเสียกับปริมาณการเติม Co ของเซรามิก $\text{Bi}_{0.5}\text{Na}_{0.5}\text{Ti}_{1-x}\text{Co}_x\text{O}_{3-x}$

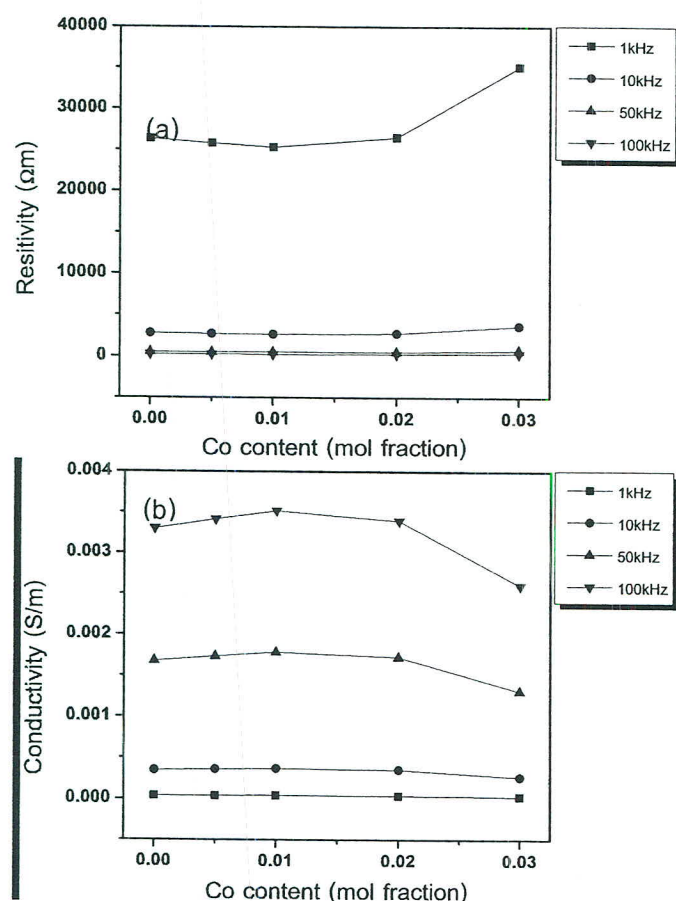
ตาราง 4.34 ค่าคงที่ไดอิเล็กทริกและค่าแฟกเตอร์การสูญเสียทางไดอิเล็กทริกของเซรามิก ที่อุณหภูมิห้อง (29°C)

Frequency (kHz)	Co content (mo fraction)	Dielectric constant (ϵ_r)	Dielectric loss ($\tan\delta$)
1	0.000	682	0.0460
	0.005	699	0.0448
	0.010	713	0.0423
	0.020	682	0.0456
	0.030	511	0.0226
10	0.000	636	0.0445
	0.005	655	0.0433
	0.010	670	0.0402
	0.020	646	0.0413
	0.030	486	0.0215
50	0.000	606	0.0422
	0.005	626	0.0406
	0.010	643	0.0364
	0.020	622	0.0384
	0.030	474	0.0199
100	0.000	594	0.0405
	0.005	614	0.0402
	0.010	632	0.0321
	0.020	610	0.0365
	0.030	468	0.0186

สมบัติการนำไฟฟ้า

เมื่อทดลองหาค่าสภาพต้านทานไฟฟ้ากระแสสลับของเซรามิก $\text{Bi}_{0.5}\text{Na}_{0.5}\text{Ti}_{1-x}\text{Co}_x\text{O}_{3-x}$ ที่อุณหภูมิห้อง ด้วยความถี่ 1, 10, 50 และ 100 kHz ตามลำดับ จากนั้นจึงมาคำนวณหาค่าสัมประสิทธิ์การนำไฟฟ้ากระแสสลับ (Electrical conductivity; σ_{AC})

จากผลการทดลอง ดังรูป 4.97 แสดงให้เห็นว่าความถี่ที่ใช้ในการวัดส่งผลต่อค่าสภาพการนำไฟฟ้าของเซรามิก กล่าวคือ ค่าสภาพการนำไฟฟ้าเพิ่มขึ้นเมื่อความถี่ในการวัดสูงขึ้น และพบว่าแนวโน้มค่าสัมประสิทธิ์การนำไฟฟ้าของเซรามิกไม่แตกต่างกันอย่างเห็นได้ชัดเมื่อปริมาณ Co เพิ่มขึ้นอย่างไรก็ตาม ที่ปริมาณ Co เท่ากับ 0.030 เศษส่วนโดยโมล มีค่าสัมประสิทธิ์การนำไฟฟ้าต่ำสุด ทั้งนี้อาจเนื่องมาจากที่ปริมาณการเจือ Co 0.030 เศษส่วนโดยโมล เซรามิกมีความหนาแน่นต่ำ และมีรูพรุนมาก จึงทำให้ค่าสัมประสิทธิ์การนำไฟฟ้าต่ำ



รูป 4.97 (a) ค่าสภาพต้านทานไฟฟ้า (b) สัมประสิทธิ์การนำไฟฟ้า

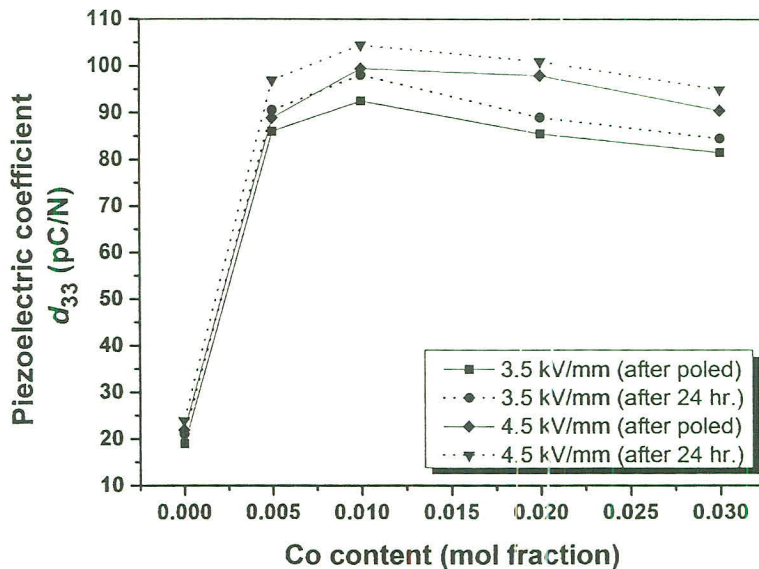
ตาราง 4.35 ค่าส่วนตัวทางไฟฟ้า และค่าสัมประสิทธิ์การนำไฟฟ้าของเซรามิก $\text{Bi}_{0.5}\text{Na}_{0.5}\text{Ti}_{1-x}\text{Co}_x\text{O}_{3-x}$

Frequency (kHz)	C content (mol fraction)	Resistivity ($\Omega \cdot \text{m}$)	Conductivity (S/m)
1	0.000	2.64×10^4	3.79×10^{-5}
	0.005	2.58×10^4	3.88×10^{-5}
	0.010	2.53×10^4	3.95×10^{-5}
	0.020	2.65×10^4	3.77×10^{-5}
	0.030	3.51×10^4	2.85×10^{-5}
10	0.000	2.82×10^3	3.54×10^{-4}
	0.005	2.75×10^3	3.64×10^{-4}
	0.010	2.68×10^3	3.73×10^{-4}
	0.020	2.78×10^3	3.59×10^{-4}
	0.030	3.70×10^3	2.70×10^{-4}
50	0.000	5.92×10^2	1.69×10^{-3}
	0.005	5.74×10^2	1.74×10^{-3}
	0.010	5.58×10^2	1.79×10^{-3}
	0.020	5.77×10^2	1.73×10^{-3}
	0.030	7.59×10^2	1.32×10^{-3}
100	0.000	3.03×10^2	3.31×10^{-3}
	0.005	2.93×10^2	3.41×10^{-3}
	0.010	2.84×10^2	3.52×10^{-3}
	0.020	2.94×10^2	3.39×10^{-3}
	0.030	3.83×10^2	2.61×10^{-3}

สมบัติเพียโซอิเล็กทริก

สำหรับสมบัติเพียโซอิเล็กทริกนั้น ในการทดลองนี้ได้วัดค่าสัมประสิทธิ์เพียโซอิเล็กทริก (d_{33}) โดยการนำชิ้นงานเซรามิก $\text{Bi}_{0.5}\text{Na}_{0.5}\text{Ti}_{1-x}\text{Co}_x\text{O}_{3-x}$ ไปทำข้าวในน้ำมันซิลิโคน แต่เนื่องจากขาดเครื่องมือในการวัดวงจรรีซีส จึงทำให้ไม่สามารถทราบค่าสนามไฟฟ้าลบลัง (E_c) ทำให้ในการทำข้าวค่าสนามไฟฟ้าที่ใช้นำมาจากการอ้างอิงจากการวิจัยอื่นๆ โดยได้ทดลองใช้สนามไฟฟ้ากระแสตรงเท่ากับ 3.5 kV/mm และ 4.5 kV/mm ซึ่งสามารถทำการทำข้าวได้โดยที่ชิ้นงานไม่เกิดการลัดวงจร โดยได้ทำการวัดค่าสัมประสิทธิ์เพียโซอิเล็กทริกของเซรามิกหลังการทำข้าวเสร็จทันที และหลังการทำข้าวเป็นเวลา 24 ชั่วโมง

จากตาราง 4.36 และรูป 4.99 พบว่าเมื่อสนามไฟฟ้าที่ใช้ในการทำข้าวมีค่ามากขึ้นค่าสัมประสิทธิ์เพียโซอิเล็กทริกของเซรามิกมีค่าสูงขึ้น ทั้งนี้เนื่องมาจากค่าสนามไฟฟ้าที่มากขึ้นทำให้เกิดการจัดเรียงตัวของไดโอลิมเมนต์ตามสนามไฟฟ้ามากขึ้น เมื่อนำสนามไฟฟ้าออกโลพลาไธเซ็นคงค้างจึงมีมากขึ้นส่งผลให้เกิดการเหนี่ยวนำความต่างศักย์มากขึ้น เมื่อให้ความเด่นจากภายนอกแก่ชิ้นงานจึงทำค่าสัมประสิทธิ์เพียโซอิเล็กทริกมีค่าสูง เมื่อพิจารณาถึงเวลาที่ใช้ในการวัดพบว่า การทิ้งเซรามิกไว้เป็นเวลา 24 ชั่วโมงหลังการทำข้าวแล้วจึงทำการวัดให้ค่าสัมประสิทธิ์เพียโซอิเล็กทริกสูงกว่าการวัดทันทีหลังการทำข้าวเล็กน้อย ทั้งนี้อาจเนื่องมาจากการจัดเรียงตัวของไดโอลิมเมนต์บางส่วนที่ยังไม่สมบูรณ์หลังจากการเอาสนามไฟฟ้าออกเมื่อเวลาผ่านไป 24 ชั่วโมง ทำให้มีโพลาไธเซ็นคงค้างสูงขึ้นอีกเล็กน้อย ค่าสัมประสิทธิ์เพียโซอิเล็กทริกจึงสูงขึ้น และเมื่อพิจารณาปัจมานการเจือ Co พบว่าค่าสัมประสิทธิ์เพียโซอิเล็กทริกมีแนวโน้มไปในทางเดียวกับค่าคงที่ไดอิเล็กทริก คือมีค่าสูงสุดและต่ำสุดที่ปัจมาน Co เท่ากับ 0.010 และ 0.030 เศษส่วนโดยไมล ตามลำดับ โดยค่าสัมประสิทธิ์เพียโซอิเล็กทริกสูงสุดที่ปัจมาน Co เท่ากับ 0.010 เศษส่วนโดยไมล อาจเนื่องมาจากการเซรามิกมีความหนาแน่นสูงสุดและมีรูพรุนน้อย โดยค่าสัมประสิทธิ์เพียโซอิเล็กทริกสูงสุดมีค่าเท่ากับ 104.5 pC/N ที่การทำข้าวด้วยสนามไฟฟ้ากระแสตรง 4.5 kV/mm วัดหลังจากการทำข้าวเป็นเวลา 24 ชั่วโมง



รูป 4.99 กราฟค่าสัมประสิทธิ์เพียโซอิเล็กทริกของเซรามิก $\text{Bi}_{0.5}\text{Na}_{0.5}\text{Ti}_{1-x}\text{Co}_x\text{O}_{3-x}$ ที่ทำข้าวด้วย
สนามไฟฟ้ากระแสต่อ 3.5 kV/mm และ 4.5 kV/mm วัดหลังการทำข้าวทันทีและหลังการทำข้าว
เป็นเวลา 24 ชั่วโมง

ตาราง 4.36 ค่าสัมประสิทธิ์เพียโซอิเล็กทริกของเซรามิก $\text{Bi}_{0.5}\text{Na}_{0.5}\text{Ti}_{1-x}\text{Co}_x\text{O}_{3-x}$ ที่ทำข้าวด้วยสนามไฟฟ้า
กระแสต่อ 3.5 kV/mm และ 4.5 kV/mm วัดหลังการทำข้าวทันที และหลังการทำข้าวเป็นเวลา 24 ชั่วโมง

Co content (mol fraction)	Piezoelectric coefficient ; d_{33} (pC/N) (3.5 kV/mm DC field poled)		Piezoelectric coefficient ; d_{33} (pC/N) (4.5 kV/mm DC field poled)	
	after poled	after 24 hr.	after poled	after 24 hr.
0.000	19.0 ± 1.41	21.0 ± 1.41	22.0 ± 1.41	24.0 ± 1.41
0.005	86.0 ± 0.00	90.5 ± 0.71	89.0 ± 0.00	97.0 ± 0.00
0.010	92.5 ± 0.71	98.0 ± 1.41	99.5 ± 3.54	104.5 ± 3.54
0.020	85.5 ± 0.71	89.0 ± 1.41	98.0 ± 4.24	101.0 ± 5.66
0.030	81.5 ± 0.71	84.5 ± 0.71	90.5 ± 0.71	95.0 ± 1.41